

Comune di Arquata del Tronto
Provincia di Ascoli Piceno

TABULATI DI CALCOLO

TOMO: 1 di 1

OGGETTO: RIPARAZIONE DANNI EVENTI METEREologici
NOVEMBRE/DICEMBRE 2013
STRADA CAPODACQUA-CHIESA

Muro Controterra

COMMITTENTE: Comune di Arquata del Tronto

Arquata del Tronto, 03/12/2014

Il Progettista
(Ing. Romeo Mariani)

Il Direttore dei Lavori
(Ing. Romeo Mariani)

INFORMAZIONI GENERALI

Comune	Comune di Arquata del Tronto
Provincia	Provincia di Ascoli Piceno
Oggetto	
Parte d'opera	Muro Controterra
Normativa di riferimento	D.M. 14/01/2008
Analisi sismica	Orizzontale e Verticale
Classe struttura	2
Vita nominale	50 anni
Periodo di riferimento	50

MATERIALI

															Materiali
N	Tipo	Descrizione	Sigla	Peso Specifico	Coeff. Dil. Termica	Modulo elastico		Rk	γ	ridFmk	n	ft	fc	τ R	N Act
				[N/m³]	[1/°C]	E	G	[N/mm²]				[N/mm²]	[N/mm²]	[N/mm²]	
1	CA	Cls C20/25-B450C	C20/25	25000	0,000010	30200	12583	25,0	1,50	85	15	1,06	2,72	0,31	Acciaio B450C
2	AcT	Acciaio B450C	B450C	78500	0,000010	210000	80769	450,0	1,15	0	1	0,00	0,00	0,00	

LEGENDA Materiali

N	Numero identificativo del materiale.
Tipo	Tipologia del materiale: [CA] = Calcestruzzo armato - [AcT] = Acciaio in tondini - [AcP] = Acciaio in profilati - [M] = Muratura - [AcA] = Acciaio armonico per trefoli - [Mlt] = Malta per tiranti.
Sigla	Sigla del materiale.
Coeff. Dil. Termica	Coefficiente di dilatazione termica.
E	Modulo elastico normale.
G	Modulo elastico tangenziale.
Rk	Resistenza caratteristica del materiale. Il valore riportato È "Rck" per il calcestruzzo, "f _{yk} " per l'acciaio, "f _{mk} " per la muratura ed "f _k " nel caso di altro materiale.
γ	Coefficiente di sicurezza allo Stato Limite Ultimo del materiale. Il valore riportato È "γ _c " per il calcestruzzo, "γ _f " per l'acciaio, "γ _m " per la muratura e "γ _g " in caso di altro materiale.
ridFmk	Percentuale di riduzione di R _{cfmk} .
n	Coefficiente di omogeneizzazione.
ft	Il valore riportato e' la "Resistenza di calcolo a trazione" per il calcestruzzo armato, la "Resistenza caratteristica a trazione" per la muratura.
fc	Il valore riportato e' la "Resistenza a rottura per flessione" per il calcestruzzo armato, la "Resistenza caratteristica a compressione orizzontale" per la muratura.
τ R	Il valore riportato e' la "Resistenza tangenziale di calcolo" per il calcestruzzo armato, la "Resistenza caratteristica a taglio in assenza di compressione - f _{vk0} " per la muratura.
N Act	Identificativo, nella tabella materiali, dell'acciaio utilizzato.

TERRENI

Terreni										
N	Descrizione	γ	γ _{saturo}	φ	Cu	C'	Ed	Costante di sottofondo		
		[N/m³]	[N/m³]	[°ssdc]	[N/mm²]	[N/mm²]	[N/mm²]	X	Y	Z
								[N/cm³]	[N/cm³]	[N/cm³]
1	Limo sabbioso argilloso poco addensato	17100	21000	24	0,00	0,00	80	30	30	90
2	Limo sabbioso mediamente addensato	18900	22000	30	0,00	0,00	80	30	30	90
3	Sabbia Ghiaiosa addensata	21400	22000	38	0,00	0,00	120	30	30	90
4	Ghiaia molto addensata	21600	22000	45	0,00	0,00	200	30	30	90

LEGENDA Terreni

N	Numero identificativo del terreno.
Descrizione	Descrizione del terreno.
γ	Peso per unit� di volume [N/m³].
γ_{saturo}	Peso per unit� di volume saturo [N/m³].
φ	Angolo di attrito [°ssdc].
Cu	Coesione [N/mm²].
C'	Coesione Efficace [N/mm²].
Ed	Modulo edometrico [N/mm²].
Costante di sottofondo	Valori della costante di sottofondo del terreno nelle direzioni degli assi del riferimento globale X, Y, e Z.

CONDIZIONI DI CARICO

Condizioni di carico							
N	Condizioni Carico Utente			Tipologia Carico Accidentale			
	Descrizione	AgS	Alt	Descrizione	ψ 0	ψ 1	ψ 2

N	Condizioni Carico Utente			Condizioni di carico			
	Descrizione	AgS	Alt	Tipologia Carico Accidentale	ψ 0	ψ 1	ψ 2
1	Carico Verticale	SI	NO	Traffico Veicolare	0,4	0,4	0,0
2	Carico permanente	SI	NO	Carico permanente	1,0	1,0	1,0

LEGENDA Condizioni di carico

- N** Numero identificativo della condizione di carico.
AgS Indica se la condizione di carico considerata È Agente con il Sisma.
Alt Indica se la condizione di carico È Alternata (cioè considerata due volte con segno opposto) o meno.
ψ 0 Coefficiente riduttivo dei carichi allo SLU e SLE (Carichi rari).
ψ 1 Coefficiente riduttivo dei carichi allo SLE (Carichi frequenti).
ψ 2 Coefficiente riduttivo dei carichi allo SLE (Carichi frequenti e quasi permanenti).

SLE: COMBINAZIONE DI AZIONI QUASI PERMANENTE - COEFFICIENTI

SLE: Combinazione di azioni Quasi permanente - Coefficienti			
COMB.	CC 01		CC 02
	Carico Verticale (Traffico Veicolare)		Carico permanente (Carico permanente)
01	0,00		1,00
02	0,00		1,00

LEGENDA SLE: Combinazione di azioni Quasi permanente - Coefficienti

- COMB.** Numero identificativo della Combinazione di Carico.
CC Condizione di carico considerata.
 CC 01= Carico Verticale (Traffico Veicolare)
 CC 02= Carico permanente (Carico permanente)

SLE: COMBINAZIONE DI AZIONI FREQUENTE - COEFFICIENTI

SLE: Combinazione di azioni Frequente - Coefficienti			
COMB.	CC 01		CC 02
	Carico Verticale (Traffico Veicolare)		Carico permanente (Carico permanente)
01	0,40		1,00
02	0,40		1,00

LEGENDA SLE: Combinazione di azioni Frequente - Coefficienti

- COMB.** Numero identificativo della Combinazione di Carico.
CC Condizione di carico considerata.
 CC 01= Carico Verticale (Traffico Veicolare)
 CC 02= Carico permanente (Carico permanente)

SLE: COMBINAZIONE DI AZIONI RARA - COEFFICIENTI

SLE: Combinazione di azioni Rara - Coefficienti			
COMB.	CC 01		CC 02
	Carico Verticale (Traffico Veicolare)		Carico permanente (Carico permanente)
01	1,00		1,00
02	1,00		1,00

LEGENDA SLE: Combinazione di azioni Rara - Coefficienti

- COMB.** Numero identificativo della Combinazione di Carico.
CC Condizione di carico considerata.
 CC 01= Carico Verticale (Traffico Veicolare)
 CC 02= Carico permanente (Carico permanente)

SLU: COMBINAZIONI DI CARICO IN ASSENZA DI SISMA - COEFFICIENTI

SLU: Combinazioni di carico in assenza di sisma - Coefficienti		
COMB.	CC 01	CC 02
	Carico Verticale (Traffico Veicolare)	Carico permanente (Carico permanente)
Stato limite di Equilibrio (EQU+M2)		
01	0	0,9
02	1,35	0,9
03	0	1,1
04	1,35	1,1
Approccio 1, Combinazione 1 - Stato limite di Resistenza della struttura (A1+M1+R1)		
01	0	1
02	1,35	1
03	0	1,3
04	1,35	1,3
Approccio 1, Combinazione 2 - Stato limite di Resistenza del terreno (A2+M2+R2)		
01	0	1
02	1,15	1
03	0	1

SLU: Combinazioni di carico in assenza di sisma - Coefficienti

	CC 01	CC 02
COMB.	Carico Verticale (Traffico Veicolare)	Carico permanente (Carico permanente)
04	1,15	1

LEGENDA SLU: Combinazioni di carico in assenza di sisma - Coefficienti

COMB. Numero identificativo della Combinazione di Carico.
CC Condizione di carico considerata.
 CC 01= Carico Verticale (Traffico Veicolare)
 CC 02= Carico permanente (Carico permanente)

SLU: COMBINAZIONI DI CARICO IN PRESENZA DI SISMA - COEFFICIENTI

SLU: Combinazioni di carico in presenza di sisma - Coefficienti

	CC 01	CC 02
COMB.	Carico Verticale (Traffico Veicolare)	Carico permanente (Carico permanente)
Stato limite di Equilibrio (EQU+M2)		
01	0	1
Approccio 1, Combinazione 1 - Stato limite di Resistenza della struttura (A1+M1+R1)		
01	0	1
Approccio 1, Combinazione 2 - Stato limite di Resistenza del terreno (A2+M2+R2)		
01	0	1

LEGENDA SLU: Combinazioni di carico in presenza di sisma - Coefficienti

COMB. Numero identificativo della Combinazione di Carico.
CC Condizione di carico considerata.
 CC 01= Carico Verticale (Traffico Veicolare)
 CC 02= Carico permanente (Carico permanente)

DATI GENERALI ANALISI SISMICA

Dati generali analisi sismica

TP	Coef Ampl Topog	β_s	β_m	K_{Stbl}	K_{Muro}	Latitudine	Longitudine	Altitudine
						[gradi]	[gradi]	[m]
B	1,20	0,28	0,31	0,09	0,10	42° 46' 24.00"	13° 17' 49.00"	777

Classe Edificio	Vita Nominale	Periodo di Riferimento
[adim]	[anni]	[anni]
2	50	50

SL	Tr	Ag	Ss	F0	T ^c
[adim]	[anni]	[adim]	[adim]	[adim]	[s]
SLO	30	0,0744	1,200	2,391	0,273
SLD	50	0,0963	1,200	2,352	0,283
SLV	475	0,2483	1,166	2,359	0,340
SLC	975	0,3186	1,094	2,399	0,352

LEGENDA Dati generali analisi sismica

TP Tipo terreno prevalente, categoria di suolo di fondazione come definito al punto 3.2.2 del DM 14 gennaio 2008 'Nuove Norme tecniche per le costruzioni: [A] = Ammassi rocciosi affioranti o terreni molto rigidi - [B] = Rocce tenere e depositi di terreni a grana grossa molto addensati o terreni a grana fina molto consistenti - [C] = Depositati di terreni a grana grossa mediamente addensati o terreni a grana fina mediamente consistenti - [D] = Depositati di terreni a grana grossa scarsamente addensati o di terreni a grana fina scarsamente consistenti - [E] = Terreni dei sottosuoli di tipo C o D per spessore non superiore a 20 m.

Coef Ampl Topog Coefficiente di amplificazione topografica.

β_s Coefficiente di riduzione di accelerazione massima per Verifica di stabilita'.

β_m Coefficiente di riduzione di accelerazione massima per Muro di sostegno.

K_{Stbl} Coefficiente per il calcolo della spinta per Verifica di stabilita'.

K_{Muro} Coefficiente per il calcolo della spinta per Muro di sostegno.

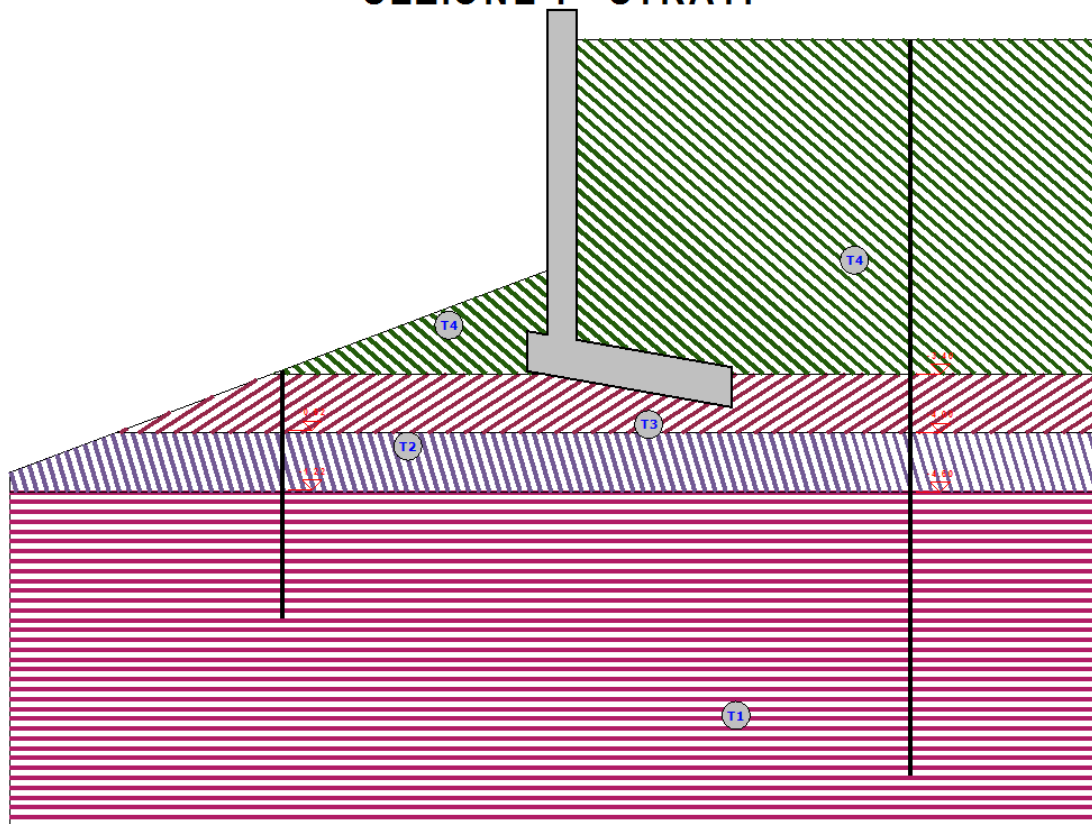
Latitudine Latitudine geografica del sito [gradi].

Longitudine Longitudine geografica del sito [gradi].

Altitudine Altitudine geografica del sito sul livello medio del mare [m].

Sezione 1

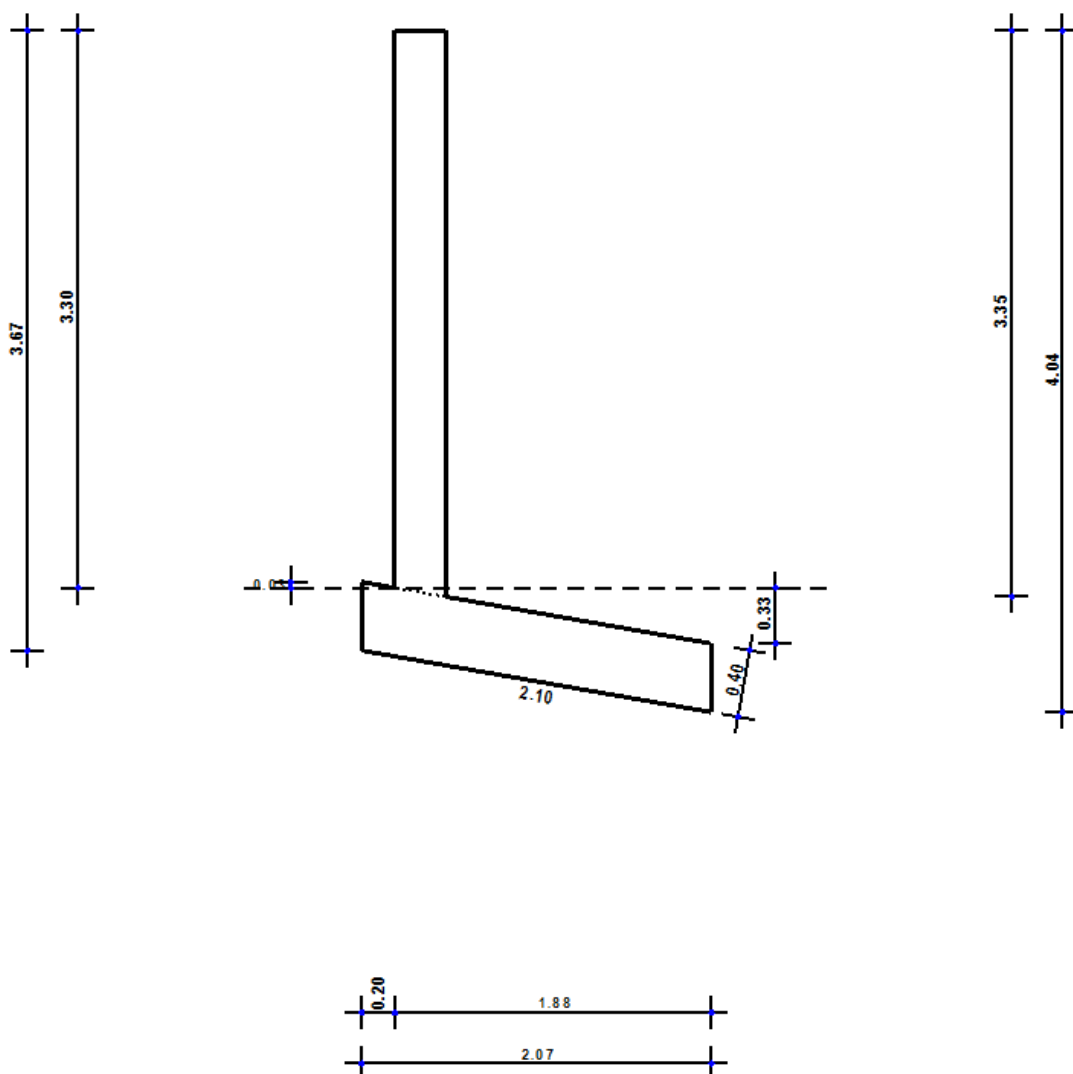
SEZIONE 1 - STRATI



Strato	Descrizione	γ	γ_{sat}	ϕ	Cu	C'
T1	Ghiaia molto addensata	21600	22000	45.0°	0.00	0.00
T2	Sabbia Ghiaiosa addensata	21400	22000	38.0°	0.00	0.00
T3	Limo sabbioso mediamente addensato	18900	22000	30.0°	0.00	0.00
T4	Limo sabbioso argilloso poco addensato	17100	21000	24.0°	0.00	0.00

Sezione 1

SEZIONE 1 - SEZIONE



CARATTERISTICHE MECCANICHE DEGLI STRATI

N	Caratt. Geotecnica	Addens. Strato	Var. Mod. Edom.	NSPT	Alfa		Res. Tang.		Kp	PrsMenar d
					IGU	IRS	IGU	IRS		
							[N/mm ²]	[N/mm ²]		[N/mm ²]
Sezione 1										
1	Sabbia limosa	Sciolto	Nulla	56	1,2	1,5	0,280	0,335	1,20	2,80
2	Sabbia limosa	Denso	Nulla	29	1,2	1,5	0,145	0,200	1,20	1,45
3	Sabbia ghiaiosa	Denso	Nulla	108	1,3	1,6	0,540	0,595	1,20	5,40
4	Sabbia media	Denso	Nulla	244	1,2	1,5	1,220	1,275	1,20	12,20

Caratteristiche meccaniche degli strati										
N	Caratt. Geotecnica	Addens. Strato	Var. Mod. Edom.	NSPT	Alfa		Res. Tang.		Kp	PrsMenar d
					IGU	IRS	IGU	IRS		
							[N/mm ²]	[N/mm ²]		[N/mm ²]

LEGENDA Caratteristiche meccaniche degli strati

N	Numero identificativo dello strato.
Caratt. Geotecnica	Caratterizzazione geotecnica per micropali.
Addens. Strato	Addensamento dello strato
Var. Mod. Edom.	Variazione del Modulo Edometrico.
NSPT	Numero di colpi dello Standard Penetration Test
Alfa	Coefficiente maggiorativo diametro perforazione per micropali.
Res. Tang.	Resistenza tangenziale tra zona iniettata e terreno per micropali.
Kp	Coefficiente di calcolo resistenza alla punta per micropali.
PrsMenard	Pressione limite terreno determinata col pressiometro Menard.

CARICHI DISTRIBUITI SUL TERRAPIENO

Carichi distribuiti sul terrapieno								
Carico	CC	SR	Dis[i]	Qx[i]	Qz[i]	Dis[f]	Qx[f]	Qz[f]
			[m]	[N] / [N/m]	[N] / [N/m]	[m]	[N/m]	[N/m]
Sezione 1								
Terreno								
	Carico Verticale (Traffico Veicolare)	G	0,30	0	20.000	5,60	0	20.000

LEGENDA Carichi distribuiti sul terrapieno

Carico	Descrizione del carico
CC	Identificativo della condizione di carico, nella relativa tabella.
SR	Identificativo del sistema di riferimento considerato: [G] = Sistema di riferimento Globale X, Y, Z - [L] = Sistema di riferimento Locale 1, 2, 3.
Dis[i]	Distanza del punto iniziale del tratto interessato dal carico distribuito.
Qx[i], Qz[i]	Valore (nel punto iniziale) della forza distribuita riferita agli assi del sistema di riferimento indicato nella colonna "SR".
Dis[f]	Distanza del punto finale del tratto interessato dal carico distribuito.
Qx[f], Qz[f]	Valore (nel punto finale) della forza distribuita riferita agli assi del sistema di riferimento indicato nella colonna "SR".

SPINTE SUL PARAMENTO ALLO SLU

SPINTE SUL PARAMENTO ALLO SLU						
Approccio	Stato limite	Sisma	Fx	Fz	Angolo	PtApp
			[N]	[N]	[gradi]	[m]
Sezione 1						
Approccio 1, Combinazione 1	Stato Limite di Resistenza della Struttura	NO	28.707	8.275	52	X: 0,30; Z: 0,97
Approccio 1, Combinazione 1	Stato Limite di Resistenza della Struttura	NO	50.135	8.275	52	X: 0,30; Z: 0,97
Approccio 1, Combinazione 1	Stato Limite di Resistenza della Struttura	NO	37.319	10.758	52	X: 0,30; Z: 0,97
Approccio 1, Combinazione 1	Stato Limite di Resistenza della Struttura	NO	58.747	10.758	52	X: 0,30; Z: 0,97
Approccio 1, Combinazione 1	Stato Limite di Resistenza della Struttura	SI	49.372	8.275	46	X: 0,30; Z: 1,98
Approccio 1, Combinazione 2	Stato Limite di Resistenza del Terreno	NO	34.501	8.051	50	X: 0,30; Z: 0,97
Approccio 1, Combinazione 2	Stato Limite di Resistenza del Terreno	NO	56.362	8.051	50	X: 0,30; Z: 0,97
Approccio 1, Combinazione 2	Stato Limite di Resistenza del Terreno	NO	34.501	8.051	50	X: 0,30; Z: 0,97
Approccio 1, Combinazione 2	Stato Limite di Resistenza del Terreno	NO	56.362	8.051	50	X: 0,30; Z: 0,97
Approccio 1, Combinazione 2	Stato Limite di Resistenza del Terreno	SI	58.109	8.051	42	X: 0,30; Z: 1,98
Approccio 1, Combinazione 2	Stato Limite di Equilibrio	NO	31.051	7.246	52	X: 0,30; Z: 0,97
Approccio 1, Combinazione 2	Stato Limite di Equilibrio	NO	52.479	7.246	52	X: 0,30; Z: 0,97
Approccio 1, Combinazione 2	Stato Limite di Equilibrio	NO	37.951	8.856	52	X: 0,30; Z: 0,97
Approccio 1, Combinazione 2	Stato Limite di Equilibrio	NO	59.379	8.856	52	X: 0,30; Z: 0,97
Approccio 1, Combinazione 2	Stato Limite di Equilibrio	SI	58.109	8.051	46	X: 0,30; Z: 1,98

LEGENDA Spinte sul paramento allo SLU

SPINTE SUL PARAMENTO ALLO SLU						
Approccio	Stato limite	Sisma	Fx	Fz	Angolo	PtApp
			[N]	[N]	[gradi]	[m]
Approccio	Tipo di Approccio seguito.					
Stato limite	Tipo di Stato Limite.					
Sisma	Sisma agente nella Combinazione.					
Fx	Spinta Orizzontale [N].					
Fz	Spinta Verticale [N].					
Angolo	Angolo della retta delimitante il cuneo di Spinta [gradi].					
PtApp	Punto di applicazione della Spinta [m].					

SPINTE SUL CUNEO ALLO SLU

SPINTE SUL CUNEO ALLO SLU						
Approccio	Stato limite	Sisma	Fx	Fz	Angolo	PtApp
			[N]	[N]	[gradi]	[m]
Sezione 1						
Approccio 1, Combinazione 1	Stato Limite di Resistenza della Struttura	NO	41.280	12.467	53	X: 1,88; Z: 0,55
Approccio 1, Combinazione 1	Stato Limite di Resistenza della Struttura	NO	60.547	12.467	53	X: 1,88; Z: 0,55
Approccio 1, Combinazione 1	Stato Limite di Resistenza della Struttura	NO	53.664	16.207	53	X: 1,88; Z: 0,55
Approccio 1, Combinazione 1	Stato Limite di Resistenza della Struttura	NO	72.931	16.207	53	X: 1,88; Z: 0,55
Approccio 1, Combinazione 1	Stato Limite di Resistenza della Struttura	SI	71.593	12.467	53	X: 1,88; Z: 0,55
Approccio 1, Combinazione 2	Stato Limite di Resistenza del Terreno	NO	49.919	12.239	50	X: 1,88; Z: 0,55
Approccio 1, Combinazione 2	Stato Limite di Resistenza del Terreno	NO	69.602	12.239	50	X: 1,88; Z: 0,55
Approccio 1, Combinazione 2	Stato Limite di Resistenza del Terreno	NO	49.919	12.239	50	X: 1,88; Z: 0,55
Approccio 1, Combinazione 2	Stato Limite di Resistenza del Terreno	NO	69.602	12.239	50	X: 1,88; Z: 0,55
Approccio 1, Combinazione 2	Stato Limite di Resistenza del Terreno	SI	81.967	12.239	50	X: 1,88; Z: 0,55
Approccio 1, Combinazione 2	Stato Limite di Equilibrio	NO	44.927	11.015	53	X: 1,88; Z: 0,55
Approccio 1, Combinazione 2	Stato Limite di Equilibrio	NO	64.194	11.015	53	X: 1,88; Z: 0,55
Approccio 1, Combinazione 2	Stato Limite di Equilibrio	NO	54.910	13.463	53	X: 1,88; Z: 0,55
Approccio 1, Combinazione 2	Stato Limite di Equilibrio	NO	74.177	13.463	53	X: 1,88; Z: 0,55
Approccio 1, Combinazione 2	Stato Limite di Equilibrio	SI	81.967	12.239	53	X: 1,88; Z: 0,55

LEGENDA Spinte sul cuneo allo SLU

Approccio	Tipo di Approccio seguito.
Stato limite	Tipo di Stato Limite.
Sisma	Sisma agente nella Combinazione.
Fx	Spinta Orizzontale [N].
Fz	Spinta Verticale [N].
Angolo	Angolo della retta delimitante il cuneo di Spinta [gradi].
PtApp	Punto di applicazione della Spinta [m].

SPINTE SUL PARAMENTO ALLO SLE

SPINTE SUL PARAMENTO ALLO SLE						
Combinazione	Sisma	Fx	Fz	Angolo	PtApp	
		[N]	[N]	[gradi]	[m]	
Sezione 1						
RARA	NO	44.580	8.275	52	X: 0,30; Z: 0,97	
RARA	NO	44.580	8.275	52	X: 0,30; Z: 0,97	
FREQUENTE	NO	35.056	8.275	52	X: 0,30; Z: 0,97	
FREQUENTE	NO	35.056	8.275	52	X: 0,30; Z: 0,97	
QUASI PERMANENTE	NO	28.707	8.275	52	X: 0,30; Z: 0,97	
QUASI PERMANENTE	NO	28.707	8.275	52	X: 0,30; Z: 0,97	

LEGENDA Spinte sul paramento allo SLE

Combinazione	Combinazione di Carico allo SLE.
Sisma	Sisma agente nella Combinazione.
Fx	Spinta Orizzontale [N].
Fz	Spinta Verticale [N].
Angolo	Angolo della retta delimitante il cuneo di Spinta [gradi].
PtApp	Punto di applicazione della Spinta [m].

SPINTE SUL CUNEO ALLO SLE

SPINTE SUL CUNEO ALLO SLE						
Combinazione	Sisma	Fx	Fz	Angolo	PtApp	
		[N]	[N]	[gradi]	[m]	
Sezione 1						
RARA	NO	55.552	12.467	53	X: 1,88; Z: 0,55	
RARA	NO	55.552	12.467	53	X: 1,88; Z: 0,55	
FREQUENTE	NO	46.989	12.467	53	X: 1,88; Z: 0,55	
FREQUENTE	NO	46.989	12.467	53	X: 1,88; Z: 0,55	
QUASI PERMANENTE	NO	41.280	12.467	53	X: 1,88; Z: 0,55	
QUASI PERMANENTE	NO	41.280	12.467	53	X: 1,88; Z: 0,55	

LEGENDA Spinte sul cuneo allo SLE

Combinazione	Combinazione di Carico allo SLE.
Sisma	Sisma agente nella Combinazione.
Fx	Spinta Orizzontale [N].
Fz	Spinta Verticale [N].
Angolo	Angolo della retta delimitante il cuneo di Spinta [gradi].
PtApp	Punto di applicazione della Spinta [m].

SOLLECITAZIONI SUL PARAMENTO

SOLLECITAZIONI SUL PARAMENTO					
Approccio	Stato limite	Sisma	N	My	Tx
			[N]	[Nm]	[N]
Sezione 1					
Sez. calcolo n.1 - Dis: 0.00					
Approccio 1, Combinazione 1	Stato Limite di Resistenza della Struttura	NO	32258	-25357,00	-24269,00
Approccio 1, Combinazione 1	Stato Limite di Resistenza della Struttura	NO	32258	-61350,00	-45270,00
Approccio 1, Combinazione 1	Stato Limite di Resistenza della Struttura	NO	41935	-32962,00	-31551,00
Approccio 1, Combinazione 1	Stato Limite di Resistenza della Struttura	NO	41935	-68956,00	-52552,00
Approccio 1, Combinazione 1	Stato Limite di Resistenza della Struttura	SI	32258	-49560,00	-36656,00
Approccio 1, Combinazione 2	Stato Limite di Resistenza della Struttura	NO	32049	-30901,00	-30227,00
Approccio 1, Combinazione 2	Stato Limite di Resistenza della Struttura	NO	32049	-67634,00	-51657,00
Approccio 1, Combinazione 2	Stato Limite di Resistenza della Struttura	NO	32049	-30901,00	-30227,00
Approccio 1, Combinazione 2	Stato Limite di Resistenza della Struttura	NO	32049	-67634,00	-51657,00
Approccio 1, Combinazione 2	Stato Limite di Resistenza della Struttura	SI	32049	-58547,00	-44372,00
-	SLE: Combinazione RARA	NO	32258	-52018,00	-39825,00
-	SLE: Combinazione RARA	NO	32258	-52018,00	-39825,00
-	SLE: Combinazione FREQUENTE	NO	32258	-36022,00	-30492,00
-	SLE: Combinazione FREQUENTE	NO	32258	-36022,00	-30492,00
-	SLE: Combinazione QUASI PERMANENTE	NO	32258	-33425,00	-28398,00
-	SLE: Combinazione QUASI PERMANENTE	NO	32258	-25357,00	-24269,00
Sez. calcolo n.2 - Dis: 0.41					
Approccio 1, Combinazione 1	Stato Limite di Resistenza della Struttura	NO	27234	-16468,00	-19935,00
Approccio 1, Combinazione 1	Stato Limite di Resistenza della Struttura	NO	27234	-44287,00	-39075,00
Approccio 1, Combinazione 1	Stato Limite di Resistenza della Struttura	NO	35405	-21406,00	-25915,00
Approccio 1, Combinazione 1	Stato Limite di Resistenza della Struttura	NO	35405	-49226,00	-45055,00
Approccio 1, Combinazione 1	Stato Limite di Resistenza della Struttura	SI	27234	-35701,00	-31991,00

SOLLECITAZIONI SUL PARAMENTO					
Approccio	Stato limite	Sisma	N	My	Tx
			[N]	[Nm]	[N]
Approccio 1, Combinazione 2	Stato Limite di Resistenza della Struttura	NO	27079	-19990,00	-23958,00
Approccio 1, Combinazione 2	Stato Limite di Resistenza della Struttura	NO	27079	-48382,00	-43489,00
Approccio 1, Combinazione 2	Stato Limite di Resistenza della Struttura	NO	27079	-19990,00	-23958,00
Approccio 1, Combinazione 2	Stato Limite di Resistenza della Struttura	NO	27079	-48382,00	-43489,00
Approccio 1, Combinazione 2	Stato Limite di Resistenza della Struttura	SI	27079	-41960,00	-37727,00
-	SLE: Combinazione RARA	NO	27234	-37074,00	-34113,00
-	SLE: Combinazione RARA	NO	27234	-37074,00	-34113,00
-	SLE: Combinazione FREQUENTE	NO	27234	-24711,00	-25607,00
-	SLE: Combinazione FREQUENTE	NO	27234	-24711,00	-25607,00
-	SLE: Combinazione QUASI PERMANENTE	NO	27234	-22879,00	-23954,00
-	SLE: Combinazione QUASI PERMANENTE	NO	27234	-16468,00	-19935,00
Sez. calcolo n.3 - Dis: 0.81					
Approccio 1, Combinazione 1	Stato Limite di Resistenza della Struttura	NO	22505	-9742,00	-14066,00
Approccio 1, Combinazione 1	Stato Limite di Resistenza della Struttura	NO	22505	-30186,00	-31069,00
Approccio 1, Combinazione 1	Stato Limite di Resistenza della Struttura	NO	29256	-12663,00	-18285,00
Approccio 1, Combinazione 1	Stato Limite di Resistenza della Struttura	NO	29256	-33107,00	-35288,00
Approccio 1, Combinazione 1	Stato Limite di Resistenza della Struttura	SI	22505	-24217,00	-25350,00
Approccio 1, Combinazione 2	Stato Limite di Resistenza della Struttura	NO	22396	-11848,00	-16905,00
Approccio 1, Combinazione 2	Stato Limite di Resistenza della Struttura	NO	22396	-32714,00	-34255,00
Approccio 1, Combinazione 2	Stato Limite di Resistenza della Struttura	NO	22396	-11848,00	-16905,00
Approccio 1, Combinazione 2	Stato Limite di Resistenza della Struttura	NO	22396	-32714,00	-34255,00
Approccio 1, Combinazione 2	Stato Limite di Resistenza della Struttura	SI	22396	-28384,00	-29794,00
-	SLE: Combinazione RARA	NO	22505	-24885,00	-26660,00
-	SLE: Combinazione RARA	NO	22505	-24885,00	-26660,00
-	SLE: Combinazione FREQUENTE	NO	22505	-15799,00	-19104,00
-	SLE: Combinazione FREQUENTE	NO	22505	-15799,00	-19104,00
-	SLE: Combinazione QUASI PERMANENTE	NO	22505	-14567,00	-17827,00
-	SLE: Combinazione QUASI PERMANENTE	NO	22505	-9742,00	-14066,00
Sez. calcolo n.4 - Dis: 1.22					
Approccio 1, Combinazione 1	Stato Limite di Resistenza della Struttura	NO	18069	-5154,00	-9218,00
Approccio 1, Combinazione 1	Stato Limite di Resistenza della Struttura	NO	18069	-19139,00	-23772,00
Approccio 1, Combinazione 1	Stato Limite di Resistenza della Struttura	NO	23491	-6699,00	-11983,00
Approccio 1, Combinazione 1	Stato Limite di Resistenza della Struttura	NO	23491	-20684,00	-26537,00
Approccio 1, Combinazione 1	Stato Limite di Resistenza della Struttura	SI	18069	-15262,00	-19289,00

SOLLECITAZIONI SUL PARAMENTO					
Approccio	Stato limite	Sisma	N	My	Tx
			[N]	[Nm]	[N]
Approccio 1, Combinazione 2	Resistenza della Struttura Stato Limite di Resistenza della Struttura	NO	17998	-6286,00	-11078,00
Approccio 1, Combinazione 2	Stato Limite di Resistenza della Struttura	NO	17998	-20560,00	-25930,00
Approccio 1, Combinazione 2	Stato Limite di Resistenza della Struttura	NO	17998	-6286,00	-11078,00
Approccio 1, Combinazione 2	Stato Limite di Resistenza della Struttura	NO	17998	-20560,00	-25930,00
Approccio 1, Combinazione 2	Stato Limite di Resistenza della Struttura	SI	17998	-17833,00	-22583,00
-	SLE: Combinazione RARA	NO	18069	-15512,00	-19998,00
-	SLE: Combinazione RARA	NO	18069	-15512,00	-19998,00
-	SLE: Combinazione FREQUENTE	NO	18069	-9298,00	-13531,00
-	SLE: Combinazione FREQUENTE	NO	18069	-9298,00	-13531,00
-	SLE: Combinazione QUASI PERMANENTE	NO	18069	-8523,00	-12575,00
-	SLE: Combinazione QUASI PERMANENTE	NO	18069	-5154,00	-9218,00
Sez. calcolo n.5 - Dis: 1.62					
Approccio 1, Combinazione 1	Stato Limite di Resistenza della Struttura	NO	13929	-2295,00	-5390,00
Approccio 1, Combinazione 1	Stato Limite di Resistenza della Struttura	NO	13929	-10867,00	-17153,00
Approccio 1, Combinazione 1	Stato Limite di Resistenza della Struttura	NO	18108	-2982,00	-7007,00
Approccio 1, Combinazione 1	Stato Limite di Resistenza della Struttura	NO	18108	-11554,00	-18770,00
Approccio 1, Combinazione 1	Stato Limite di Resistenza della Struttura	SI	13929	-8602,00	-13808,00
Approccio 1, Combinazione 2	Stato Limite di Resistenza della Struttura	NO	13888	-2812,00	-6478,00
Approccio 1, Combinazione 2	Stato Limite di Resistenza della Struttura	NO	13888	-11562,00	-18483,00
Approccio 1, Combinazione 2	Stato Limite di Resistenza della Struttura	NO	13888	-2812,00	-6478,00
Approccio 1, Combinazione 2	Stato Limite di Resistenza della Struttura	NO	13888	-11562,00	-18483,00
Approccio 1, Combinazione 2	Stato Limite di Resistenza della Struttura	SI	13888	-10017,00	-16095,00
-	SLE: Combinazione RARA	NO	13929	-8644,00	-14103,00
-	SLE: Combinazione RARA	NO	13929	-8644,00	-14103,00
-	SLE: Combinazione FREQUENTE	NO	13929	-4835,00	-8876,00
-	SLE: Combinazione FREQUENTE	NO	13929	-4835,00	-8876,00
-	SLE: Combinazione QUASI PERMANENTE	NO	13929	-4397,00	-8196,00
-	SLE: Combinazione QUASI PERMANENTE	NO	13929	-2295,00	-5390,00
Sez. calcolo n.6 - Dis: 2.03					
Approccio 1, Combinazione 1	Stato Limite di Resistenza della Struttura	NO	10082	-756,00	-2583,00
Approccio 1, Combinazione 1	Stato Limite di Resistenza della Struttura	NO	10082	-5103,00	-11182,00
Approccio 1, Combinazione 1	Stato Limite di Resistenza della Struttura	NO	13107	-982,00	-3357,00
Approccio 1, Combinazione 1	Stato Limite di Resistenza della Struttura	NO	13107	-5329,00	-11956,00

SOLLECITAZIONI SUL PARAMENTO					
Approccio	Stato limite	Sisma	N	My	Tx
			[N]	[Nm]	[N]
Approccio 1, Combinazione 1	Struttura Stato Limite di Resistenza della	SI	10082	-4005,00	-8907,00
Approccio 1, Combinazione 2	Struttura Stato Limite di Resistenza della	NO	10062	-935,00	-3105,00
Approccio 1, Combinazione 2	Struttura Stato Limite di Resistenza della	NO	10062	-5373,00	-11882,00
Approccio 1, Combinazione 2	Struttura Stato Limite di Resistenza della	NO	10062	-935,00	-3105,00
Approccio 1, Combinazione 2	Struttura Stato Limite di Resistenza della	NO	10062	-5373,00	-11882,00
Approccio 1, Combinazione 2	Struttura Stato Limite di Resistenza della	SI	10062	-4646,00	-10330,00
-	SLE: Combinazione RARA	NO	10082	-3976,00	-8952,00
-	SLE: Combinazione RARA	NO	10082	-3976,00	-8952,00
-	SLE: Combinazione FREQUENTE	NO	10082	-2044,00	-5131,00
-	SLE: Combinazione FREQUENTE	NO	10082	-2044,00	-5131,00
-	SLE: Combinazione QUASI PERMANENTE	NO	10082	-1839,00	-4691,00
-	SLE: Combinazione QUASI PERMANENTE	NO	10082	-756,00	-2583,00
Sez. calcolo n.7 - Dis: 2.43					
Approccio 1, Combinazione 1	Stato Limite di Resistenza della Struttura	NO	6530	-128,00	-797,00
Approccio 1, Combinazione 1	Stato Limite di Resistenza della Struttura	NO	6530	-1593,00	-5834,00
Approccio 1, Combinazione 1	Stato Limite di Resistenza della Struttura	NO	8490	-166,00	-1035,00
Approccio 1, Combinazione 1	Stato Limite di Resistenza della Struttura	NO	8490	-1631,00	-6072,00
Approccio 1, Combinazione 1	Stato Limite di Resistenza della Struttura	SI	6530	-1238,00	-4586,00
Approccio 1, Combinazione 2	Stato Limite di Resistenza della Struttura	NO	6525	-162,00	-958,00
Approccio 1, Combinazione 2	Stato Limite di Resistenza della Struttura	NO	6525	-1659,00	-6101,00
Approccio 1, Combinazione 2	Stato Limite di Resistenza della Struttura	NO	6525	-162,00	-958,00
Approccio 1, Combinazione 2	Stato Limite di Resistenza della Struttura	NO	6525	-1659,00	-6101,00
Approccio 1, Combinazione 2	Stato Limite di Resistenza della Struttura	SI	6525	-1430,00	-5287,00
-	SLE: Combinazione RARA	NO	6530	-1213,00	-4528,00
-	SLE: Combinazione RARA	NO	6530	-1213,00	-4528,00
-	SLE: Combinazione FREQUENTE	NO	6530	-562,00	-2289,00
-	SLE: Combinazione FREQUENTE	NO	6530	-562,00	-2289,00
-	SLE: Combinazione QUASI PERMANENTE	NO	6530	-498,00	-2060,00
-	SLE: Combinazione QUASI PERMANENTE	NO	6530	-128,00	-797,00
Sez. calcolo n.8 - Dis: 2.84					
Approccio 1, Combinazione 1	Stato Limite di Resistenza della Struttura	NO	3271	-1,00	-32,00
Approccio 1, Combinazione 1	Stato Limite di Resistenza della Struttura	NO	3271	-90,00	-1092,00
Approccio 1, Combinazione 1	Stato Limite di Resistenza della Struttura	NO	4253	-2,00	-41,00

SOLLECITAZIONI SUL PARAMENTO					
Approccio	Stato limite	Sisma	N	My	Tx
			[N]	[Nm]	[N]
Approccio 1, Combinazione 1	Stato Limite di Resistenza della Struttura	NO	4253	-91,00	-1101,00
Approccio 1, Combinazione 1	Stato Limite di Resistenza della Struttura	SI	3271	-70,00	-845,00
Approccio 1, Combinazione 2	Stato Limite di Resistenza della Struttura	NO	3271	-2,00	-38,00
Approccio 1, Combinazione 2	Stato Limite di Resistenza della Struttura	NO	3271	-93,00	-1123,00
Approccio 1, Combinazione 2	Stato Limite di Resistenza della Struttura	NO	3271	-2,00	-38,00
Approccio 1, Combinazione 2	Stato Limite di Resistenza della Struttura	NO	3271	-93,00	-1123,00
Approccio 1, Combinazione 2	Stato Limite di Resistenza della Struttura	SI	3271	-80,00	-967,00
-	SLE: Combinazione RARA	NO	3271	-67,00	-817,00
-	SLE: Combinazione RARA	NO	3271	-67,00	-817,00
-	SLE: Combinazione FREQUENTE	NO	3271	-28,00	-346,00
-	SLE: Combinazione FREQUENTE	NO	3271	-28,00	-346,00
-	SLE: Combinazione QUASI PERMANENTE	NO	3271	-24,00	-303,00
-	SLE: Combinazione QUASI PERMANENTE	NO	3271	-1,00	-32,00
Sez. calcolo n.9 - Dis: 3.24					
Approccio 1, Combinazione 1	Stato Limite di Resistenza della Struttura	NO	225	0,00	0,00
Approccio 1, Combinazione 1	Stato Limite di Resistenza della Struttura	NO	225	0,00	0,00
Approccio 1, Combinazione 1	Stato Limite di Resistenza della Struttura	NO	293	0,00	0,00
Approccio 1, Combinazione 1	Stato Limite di Resistenza della Struttura	NO	293	0,00	0,00
Approccio 1, Combinazione 1	Stato Limite di Resistenza della Struttura	SI	225	0,00	0,00
Approccio 1, Combinazione 2	Stato Limite di Resistenza della Struttura	NO	225	0,00	0,00
Approccio 1, Combinazione 2	Stato Limite di Resistenza della Struttura	NO	225	0,00	0,00
Approccio 1, Combinazione 2	Stato Limite di Resistenza della Struttura	NO	225	0,00	0,00
Approccio 1, Combinazione 2	Stato Limite di Resistenza della Struttura	NO	225	0,00	0,00
Approccio 1, Combinazione 2	Stato Limite di Resistenza della Struttura	SI	225	0,00	0,00
-	SLE: Combinazione RARA	NO	225	0,00	0,00
-	SLE: Combinazione RARA	NO	225	0,00	0,00
-	SLE: Combinazione FREQUENTE	NO	225	0,00	0,00
-	SLE: Combinazione FREQUENTE	NO	225	0,00	0,00
-	SLE: Combinazione QUASI PERMANENTE	NO	225	0,00	0,00
-	SLE: Combinazione QUASI PERMANENTE	NO	225	0,00	0,00

LEGENDA Sollecitazioni sul Paramento

Approccio	Tipo di Approccio seguito.
Stato limite	Tipo di Stato Limite.
Sisma	Sisma agente nella Combinazione.
N	Sforzo Normale [N].
My	Vettore Momento ortogonale al piano dell'elemento [Nm].
Tx	Taglio orizzontale nel piano dell'elemento [N].

SOLLECITAZIONI SULLA FONDAZIONE

SOLLECITAZIONI SULLA FONDAZIONE					
Approccio	Stato limite	Sisma	N	My	Tx
			[N]	[Nm]	[N]
Sezione 1					
Sez. calcolo n.10 - Dis: 0.00(Valle)					
Approccio 1, Combinazione 1	Stato Limite di Resistenza della Struttura	NO	0	-53,00	-3549,00
Approccio 1, Combinazione 1	Stato Limite di Resistenza della Struttura	NO	0	-88,00	-5827,00
Approccio 1, Combinazione 1	Stato Limite di Resistenza della Struttura	NO	0	-69,00	-4613,00
Approccio 1, Combinazione 1	Stato Limite di Resistenza della Struttura	NO	0	-103,00	-6852,00
Approccio 1, Combinazione 1	Stato Limite di Resistenza della Struttura	SI	0	-78,00	-5182,00
Approccio 1, Combinazione 2	Stato Limite di Resistenza della Struttura	NO	0	-59,00	-3954,00
Approccio 1, Combinazione 2	Stato Limite di Resistenza della Struttura	NO	0	-99,00	-6563,00
Approccio 1, Combinazione 2	Stato Limite di Resistenza della Struttura	NO	0	-59,00	-3954,00
Approccio 1, Combinazione 2	Stato Limite di Resistenza della Struttura	NO	0	-99,00	-6563,00
Approccio 1, Combinazione 2	Stato Limite di Resistenza della Struttura	SI	0	-97,00	-6460,00
-	SLE: Combinazione RARA	NO	0	-78,00	-5204,00
-	SLE: Combinazione RARA	NO	0	-78,00	-5204,00
-	SLE: Combinazione FREQUENTE	NO	0	-63,00	-4196,00
-	SLE: Combinazione FREQUENTE	NO	0	-63,00	-4196,00
-	SLE: Combinazione QUASI PERMANENTE	NO	0	-60,00	-3989,00
-	SLE: Combinazione QUASI PERMANENTE	NO	0	-53,00	-3549,00
Sez. calcolo n.11 - Dis: 0.02(Valle)					
Approccio 1, Combinazione 1	Stato Limite di Resistenza della Struttura	NO	0	-132,00	-5562,00
Approccio 1, Combinazione 1	Stato Limite di Resistenza della Struttura	NO	0	-216,00	-9126,00
Approccio 1, Combinazione 1	Stato Limite di Resistenza della Struttura	NO	0	-171,00	-7231,00
Approccio 1, Combinazione 1	Stato Limite di Resistenza della Struttura	NO	0	-254,00	-10733,00
Approccio 1, Combinazione 1	Stato Limite di Resistenza della Struttura	SI	0	-192,00	-8109,00
Approccio 1, Combinazione 2	Stato Limite di Resistenza della Struttura	NO	0	-147,00	-6195,00
Approccio 1, Combinazione 2	Stato Limite di Resistenza della Struttura	NO	0	-243,00	-10270,00
Approccio 1, Combinazione 2	Stato Limite di Resistenza della Struttura	NO	0	-147,00	-6195,00
Approccio 1, Combinazione 2	Stato Limite di Resistenza della Struttura	NO	0	-243,00	-10270,00
Approccio 1, Combinazione 2	Stato Limite di Resistenza della Struttura	SI	0	-240,00	-10094,00
-	SLE: Combinazione RARA	NO	0	-193,00	-8151,00
-	SLE: Combinazione RARA	NO	0	-193,00	-8151,00
-	SLE: Combinazione FREQUENTE	NO	0	-156,00	-6574,00

SOLLECITAZIONI SULLA FONDAZIONE					
Approccio	Stato limite	Sisma	N	My	Tx
			[N]	[Nm]	[N]
-	SLE: Combinazione FREQUENTE	NO	0	-156,00	-6574,00
-	SLE: Combinazione QUASI PERMANENTE	NO	0	-148,00	-6249,00
-	SLE: Combinazione QUASI PERMANENTE	NO	0	-132,00	-5562,00
Sez. calcolo n.12 - Dis: 0.03(Valle)					
Approccio 1, Combinazione 1	Stato Limite di Resistenza della Struttura	NO	0	-230,00	-6604,00
Approccio 1, Combinazione 1	Stato Limite di Resistenza della Struttura	NO	0	-387,00	-11429,00
Approccio 1, Combinazione 1	Stato Limite di Resistenza della Struttura	NO	0	-299,00	-8587,00
Approccio 1, Combinazione 1	Stato Limite di Resistenza della Struttura	NO	0	-453,00	-13330,00
Approccio 1, Combinazione 1	Stato Limite di Resistenza della Struttura	SI	0	-342,00	-10040,00
Approccio 1, Combinazione 2	Stato Limite di Resistenza della Struttura	NO	0	-258,00	-7458,00
Approccio 1, Combinazione 2	Stato Limite di Resistenza della Struttura	NO	0	-437,00	-12970,00
Approccio 1, Combinazione 2	Stato Limite di Resistenza della Struttura	NO	0	-258,00	-7458,00
Approccio 1, Combinazione 2	Stato Limite di Resistenza della Struttura	NO	0	-437,00	-12970,00
Approccio 1, Combinazione 2	Stato Limite di Resistenza della Struttura	SI	0	-429,00	-12711,00
-	SLE: Combinazione RARA	NO	0	-344,00	-10110,00
-	SLE: Combinazione RARA	NO	0	-344,00	-10110,00
-	SLE: Combinazione FREQUENTE	NO	0	-275,00	-7975,00
-	SLE: Combinazione FREQUENTE	NO	0	-275,00	-7975,00
-	SLE: Combinazione QUASI PERMANENTE	NO	0	-260,00	-7532,00
-	SLE: Combinazione QUASI PERMANENTE	NO	0	-230,00	-6604,00
Sez. calcolo n.13 - Dis: 0.05(Valle)					
Approccio 1, Combinazione 1	Stato Limite di Resistenza della Struttura	NO	0	-360,00	-8573,00
Approccio 1, Combinazione 1	Stato Limite di Resistenza della Struttura	NO	0	-610,00	-14643,00
Approccio 1, Combinazione 1	Stato Limite di Resistenza della Struttura	NO	0	-468,00	-11146,00
Approccio 1, Combinazione 1	Stato Limite di Resistenza della Struttura	NO	0	-713,00	-17112,00
Approccio 1, Combinazione 1	Stato Limite di Resistenza della Struttura	SI	0	-538,00	-12881,00
Approccio 1, Combinazione 2	Stato Limite di Resistenza della Struttura	NO	0	-404,00	-9645,00
Approccio 1, Combinazione 2	Stato Limite di Resistenza della Struttura	NO	0	-690,00	-16569,00
Approccio 1, Combinazione 2	Stato Limite di Resistenza della Struttura	NO	0	-404,00	-9645,00
Approccio 1, Combinazione 2	Stato Limite di Resistenza della Struttura	NO	0	-690,00	-16569,00
Approccio 1, Combinazione 2	Stato Limite di Resistenza della Struttura	SI	0	-677,00	-16219,00
-	SLE: Combinazione RARA	NO	0	-541,00	-12984,00
-	SLE: Combinazione RARA	NO	0	-541,00	-12984,00

SOLLECITAZIONI SULLA FONDAZIONE					
Approccio	Stato limite	Sisma	N	My	Tx
			[N]	[Nm]	[N]
-	SLE: Combinazione FREQUENTE	NO	0	-431,00	-10298,00
-	SLE: Combinazione FREQUENTE	NO	0	-431,00	-10298,00
-	SLE: Combinazione QUASI PERMANENTE	NO	0	-408,00	-9738,00
-	SLE: Combinazione QUASI PERMANENTE	NO	0	-360,00	-8573,00
Sez. calcolo n.14 - Dis: 0.07(Valle)					
Approccio 1, Combinazione 1	Stato Limite di Resistenza della Struttura	NO	0	-523,00	-10524,00
Approccio 1, Combinazione 1	Stato Limite di Resistenza della Struttura	NO	0	-887,00	-17822,00
Approccio 1, Combinazione 1	Stato Limite di Resistenza della Struttura	NO	0	-681,00	-13682,00
Approccio 1, Combinazione 1	Stato Limite di Resistenza della Struttura	NO	0	-1038,00	-20858,00
Approccio 1, Combinazione 1	Stato Limite di Resistenza della Struttura	SI	0	-782,00	-15687,00
Approccio 1, Combinazione 2	Stato Limite di Resistenza della Struttura	NO	0	-588,00	-11810,00
Approccio 1, Combinazione 2	Stato Limite di Resistenza della Struttura	NO	0	-1003,00	-20124,00
Approccio 1, Combinazione 2	Stato Limite di Resistenza della Struttura	NO	0	-588,00	-11810,00
Approccio 1, Combinazione 2	Stato Limite di Resistenza della Struttura	NO	0	-1003,00	-20124,00
Approccio 1, Combinazione 2	Stato Limite di Resistenza della Struttura	SI	0	-984,00	-19674,00
-	SLE: Combinazione RARA	NO	0	-788,00	-15829,00
-	SLE: Combinazione RARA	NO	0	-788,00	-15829,00
-	SLE: Combinazione FREQUENTE	NO	0	-627,00	-12599,00
-	SLE: Combinazione FREQUENTE	NO	0	-627,00	-12599,00
-	SLE: Combinazione QUASI PERMANENTE	NO	0	-593,00	-11922,00
-	SLE: Combinazione QUASI PERMANENTE	NO	0	-523,00	-10524,00
Sez. calcolo n.15 - Dis: 0.09(Valle)					
Approccio 1, Combinazione 1	Stato Limite di Resistenza della Struttura	NO	0	-720,00	-12459,00
Approccio 1, Combinazione 1	Stato Limite di Resistenza della Struttura	NO	0	-1219,00	-20969,00
Approccio 1, Combinazione 1	Stato Limite di Resistenza della Struttura	NO	0	-936,00	-16198,00
Approccio 1, Combinazione 1	Stato Limite di Resistenza della Struttura	NO	0	-1427,00	-24566,00
Approccio 1, Combinazione 1	Stato Limite di Resistenza della Struttura	SI	0	-1074,00	-18459,00
Approccio 1, Combinazione 2	Stato Limite di Resistenza della Struttura	NO	0	-808,00	-13956,00
Approccio 1, Combinazione 2	Stato Limite di Resistenza della Struttura	NO	0	-1378,00	-23637,00
Approccio 1, Combinazione 2	Stato Limite di Resistenza della Struttura	NO	0	-808,00	-13956,00
Approccio 1, Combinazione 2	Stato Limite di Resistenza della Struttura	NO	0	-1378,00	-23637,00
Approccio 1, Combinazione 2	Stato Limite di Resistenza della Struttura	SI	0	-1349,00	-23076,00
-	SLE: Combinazione RARA	NO	0	-1083,00	-18646,00

SOLLECITAZIONI SULLA FONDAZIONE					
Approccio	Stato limite	Sisma	N	My	Tx
			[N]	[Nm]	[N]
-	SLE: Combinazione RARA	NO	0	-1083,00	-18646,00
-	SLE: Combinazione FREQUENTE	NO	0	-862,00	-14879,00
-	SLE: Combinazione FREQUENTE	NO	0	-862,00	-14879,00
-	SLE: Combinazione QUASI PERMANENTE	NO	0	-816,00	-14086,00
-	SLE: Combinazione QUASI PERMANENTE	NO	0	-720,00	-12459,00
Sez. calcolo n.16 - Dis: 0.10(Valle)					
Approccio 1, Combinazione 1	Stato Limite di Resistenza della Struttura	NO	0	-951,00	-14388,00
Approccio 1, Combinazione 1	Stato Limite di Resistenza della Struttura	NO	0	-1607,00	-24100,00
Approccio 1, Combinazione 1	Stato Limite di Resistenza della Struttura	NO	0	-1236,00	-18704,00
Approccio 1, Combinazione 1	Stato Limite di Resistenza della Struttura	NO	0	-1881,00	-28256,00
Approccio 1, Combinazione 1	Stato Limite di Resistenza della Struttura	SI	0	-1416,00	-21211,00
Approccio 1, Combinazione 2	Stato Limite di Resistenza della Struttura	NO	0	-1067,00	-16091,00
Approccio 1, Combinazione 2	Stato Limite di Resistenza della Struttura	NO	0	-1814,00	-27126,00
Approccio 1, Combinazione 2	Stato Limite di Resistenza della Struttura	NO	0	-1067,00	-16091,00
Approccio 1, Combinazione 2	Stato Limite di Resistenza della Struttura	NO	0	-1814,00	-27126,00
Approccio 1, Combinazione 2	Stato Limite di Resistenza della Struttura	SI	0	-1775,00	-26444,00
-	SLE: Combinazione RARA	NO	0	-1427,00	-21449,00
-	SLE: Combinazione RARA	NO	0	-1427,00	-21449,00
-	SLE: Combinazione FREQUENTE	NO	0	-1137,00	-17150,00
-	SLE: Combinazione FREQUENTE	NO	0	-1137,00	-17150,00
-	SLE: Combinazione QUASI PERMANENTE	NO	0	-1077,00	-16240,00
-	SLE: Combinazione QUASI PERMANENTE	NO	0	-951,00	-14388,00
Sez. calcolo n.17 - Dis: 0.12(Valle)					
Approccio 1, Combinazione 1	Stato Limite di Resistenza della Struttura	NO	0	-1212,00	-15256,00
Approccio 1, Combinazione 1	Stato Limite di Resistenza della Struttura	NO	0	-2044,00	-26146,00
Approccio 1, Combinazione 1	Stato Limite di Resistenza della Struttura	NO	0	-1575,00	-19833,00
Approccio 1, Combinazione 1	Stato Limite di Resistenza della Struttura	NO	0	-2393,00	-30546,00
Approccio 1, Combinazione 1	Stato Limite di Resistenza della Struttura	SI	0	-1800,00	-22880,00
Approccio 1, Combinazione 2	Stato Limite di Resistenza della Struttura	NO	0	-1358,00	-17161,00
Approccio 1, Combinazione 2	Stato Limite di Resistenza della Struttura	NO	0	-2306,00	-29518,00
Approccio 1, Combinazione 2	Stato Limite di Resistenza della Struttura	NO	0	-1358,00	-17161,00
Approccio 1, Combinazione 2	Stato Limite di Resistenza della Struttura	NO	0	-2306,00	-29518,00
Approccio 1, Combinazione 2	Stato Limite di Resistenza della Struttura	SI	0	-2254,00	-28706,00

SOLLECITAZIONI SULLA FONDAZIONE					
Approccio	Stato limite	Sisma	N	My	Tx
			[N]	[Nm]	[N]
-	SLE: Combinazione RARA	NO	0	-1816,00	-23175,00
-	SLE: Combinazione RARA	NO	0	-1816,00	-23175,00
-	SLE: Combinazione FREQUENTE	NO	0	-1448,00	-18354,00
-	SLE: Combinazione FREQUENTE	NO	0	-1448,00	-18354,00
-	SLE: Combinazione QUASI PERMANENTE	NO	0	-1371,00	-17327,00
-	SLE: Combinazione QUASI PERMANENTE	NO	0	-1212,00	-15256,00
Sez. calcolo n.18 - Dis: 0.14(Valle)					
Approccio 1, Combinazione 1	Stato Limite di Resistenza della Struttura	NO	0	-1489,00	-17140,00
Approccio 1, Combinazione 1	Stato Limite di Resistenza della Struttura	NO	0	-2517,00	-29193,00
Approccio 1, Combinazione 1	Stato Limite di Resistenza della Struttura	NO	0	-1935,00	-22281,00
Approccio 1, Combinazione 1	Stato Limite di Resistenza della Struttura	NO	0	-2946,00	-34140,00
Approccio 1, Combinazione 1	Stato Limite di Resistenza della Struttura	SI	0	-2214,00	-25547,00
Approccio 1, Combinazione 2	Stato Limite di Resistenza della Struttura	NO	0	-1670,00	-19244,00
Approccio 1, Combinazione 2	Stato Limite di Resistenza della Struttura	NO	0	-2840,00	-32900,00
Approccio 1, Combinazione 2	Stato Limite di Resistenza della Struttura	NO	0	-1670,00	-19244,00
Approccio 1, Combinazione 2	Stato Limite di Resistenza della Struttura	NO	0	-2840,00	-32900,00
Approccio 1, Combinazione 2	Stato Limite di Resistenza della Struttura	SI	0	-2773,00	-31949,00
-	SLE: Combinazione RARA	NO	0	-2236,00	-25906,00
-	SLE: Combinazione RARA	NO	0	-2236,00	-25906,00
-	SLE: Combinazione FREQUENTE	NO	0	-1781,00	-20570,00
-	SLE: Combinazione FREQUENTE	NO	0	-1781,00	-20570,00
-	SLE: Combinazione QUASI PERMANENTE	NO	0	-1685,00	-19427,00
-	SLE: Combinazione QUASI PERMANENTE	NO	0	-1489,00	-17140,00
Sez. calcolo n.19 - Dis: 0.00(Monte)					
Approccio 1, Combinazione 1	Stato Limite di Resistenza della Struttura	NO	0	38751,00	20625,00
Approccio 1, Combinazione 1	Stato Limite di Resistenza della Struttura	NO	0	78206,00	53339,00
Approccio 1, Combinazione 1	Stato Limite di Resistenza della Struttura	NO	0	50374,00	26812,00
Approccio 1, Combinazione 1	Stato Limite di Resistenza della Struttura	NO	0	89965,00	59107,00
Approccio 1, Combinazione 1	Stato Limite di Resistenza della Struttura	SI	0	64230,00	41407,00
Approccio 1, Combinazione 2	Stato Limite di Resistenza della Struttura	NO	0	47566,00	26204,00
Approccio 1, Combinazione 2	Stato Limite di Resistenza della Struttura	NO	0	86967,00	61969,00
Approccio 1, Combinazione 2	Stato Limite di Resistenza della Struttura	NO	0	47566,00	26204,00
Approccio 1, Combinazione 2	Stato Limite di Resistenza della Struttura	NO	0	86967,00	61969,00
Approccio 1, Combinazione 2	Stato Limite di Resistenza della Struttura	SI	0	74585,00	55881,00

SOLLECITAZIONI SULLA FONDAZIONE					
Approccio	Stato limite	Sisma	N	My	Tx
			[N]	[Nm]	[N]
-	Resistenza della Struttura SLE: Combinazione RARA	NO	0	68088,00	44510,00
-	SLE: Combinazione RARA	NO	0	68088,00	44510,00
-	SLE: Combinazione FREQUENTE	NO	0	50540,00	30013,00
-	SLE: Combinazione FREQUENTE	NO	0	50540,00	30013,00
-	SLE: Combinazione QUASI PERMANENTE	NO	0	47598,00	26472,00
-	SLE: Combinazione QUASI PERMANENTE	NO	0	38751,00	20625,00
Sez. calcolo n.20 - Dis: 0.19(Monte)					
Approccio 1, Combinazione 1	Stato Limite di Resistenza della Struttura	NO	0	34298,00	26253,00
Approccio 1, Combinazione 1	Stato Limite di Resistenza della Struttura	NO	0	66746,00	66917,00
Approccio 1, Combinazione 1	Stato Limite di Resistenza della Struttura	NO	0	44586,00	34127,00
Approccio 1, Combinazione 1	Stato Limite di Resistenza della Struttura	NO	0	77251,00	74363,00
Approccio 1, Combinazione 1	Stato Limite di Resistenza della Struttura	SI	0	55479,00	50391,00
Approccio 1, Combinazione 2	Stato Limite di Resistenza della Struttura	NO	0	41892,00	32854,00
Approccio 1, Combinazione 2	Stato Limite di Resistenza della Struttura	NO	0	73727,00	76231,00
Approccio 1, Combinazione 2	Stato Limite di Resistenza della Struttura	NO	0	41892,00	32854,00
Approccio 1, Combinazione 2	Stato Limite di Resistenza della Struttura	NO	0	73727,00	76231,00
Approccio 1, Combinazione 2	Stato Limite di Resistenza della Struttura	SI	0	62913,00	65742,00
-	SLE: Combinazione RARA	NO	0	58513,00	56019,00
-	SLE: Combinazione RARA	NO	0	58513,00	56019,00
-	SLE: Combinazione FREQUENTE	NO	0	44071,00	37986,00
-	SLE: Combinazione FREQUENTE	NO	0	44071,00	37986,00
-	SLE: Combinazione QUASI PERMANENTE	NO	0	41920,00	33220,00
-	SLE: Combinazione QUASI PERMANENTE	NO	0	34298,00	26253,00
Sez. calcolo n.21 - Dis: 0.38(Monte)					
Approccio 1, Combinazione 1	Stato Limite di Resistenza della Struttura	NO	0	28915,00	29687,00
Approccio 1, Combinazione 1	Stato Limite di Resistenza della Struttura	NO	0	53045,00	76281,00
Approccio 1, Combinazione 1	Stato Limite di Resistenza della Struttura	NO	0	37588,00	38591,00
Approccio 1, Combinazione 1	Stato Limite di Resistenza della Struttura	NO	0	62013,00	84821,00
Approccio 1, Combinazione 1	Stato Limite di Resistenza della Struttura	SI	0	45371,00	55001,00
Approccio 1, Combinazione 2	Stato Limite di Resistenza della Struttura	NO	0	35141,00	36827,00
Approccio 1, Combinazione 2	Stato Limite di Resistenza della Struttura	NO	0	58235,00	85037,00
Approccio 1, Combinazione 2	Stato Limite di Resistenza della Struttura	NO	0	35141,00	36827,00
Approccio 1, Combinazione 2	Stato Limite di Resistenza della Struttura	NO	0	58235,00	85037,00

SOLLECITAZIONI SULLA FONDAZIONE					
Approccio	Stato limite	Sisma	N	My	Tx
			[N]	[Nm]	[N]
Approccio 1, Combinazione 2	Struttura Stato Limite di Resistenza della Struttura	SI	0	49932,00	68981,00
-	SLE: Combinazione RARA	NO	0	47032,00	63898,00
-	SLE: Combinazione RARA	NO	0	47032,00	63898,00
-	SLE: Combinazione FREQUENTE	NO	0	36280,00	43219,00
-	SLE: Combinazione FREQUENTE	NO	0	36280,00	43219,00
-	SLE: Combinazione QUASI PERMANENTE	NO	0	35150,00	37253,00
-	SLE: Combinazione QUASI PERMANENTE	NO	0	28915,00	29687,00
Sez. calcolo n.22 - Dis: 0.58(Monte)					
Approccio 1, Combinazione 1	Stato Limite di Resistenza della Struttura	NO	0	23009,00	30941,00
Approccio 1, Combinazione 1	Stato Limite di Resistenza della Struttura	NO	0	37885,00	81451,00
Approccio 1, Combinazione 1	Stato Limite di Resistenza della Struttura	NO	0	29911,00	40222,00
Approccio 1, Combinazione 1	Stato Limite di Resistenza della Struttura	NO	0	45137,00	90508,00
Approccio 1, Combinazione 1	Stato Limite di Resistenza della Struttura	SI	0	34720,00	55255,00
Approccio 1, Combinazione 2	Stato Limite di Resistenza della Struttura	NO	0	27809,00	38141,00
Approccio 1, Combinazione 2	Stato Limite di Resistenza della Struttura	NO	0	41505,00	88410,00
Approccio 1, Combinazione 2	Stato Limite di Resistenza della Struttura	NO	0	27809,00	38141,00
Approccio 1, Combinazione 2	Stato Limite di Resistenza della Struttura	NO	0	41505,00	88410,00
Approccio 1, Combinazione 2	Stato Limite di Resistenza della Struttura	SI	0	36879,00	65615,00
-	SLE: Combinazione RARA	NO	0	34318,00	68169,00
-	SLE: Combinazione RARA	NO	0	34318,00	68169,00
-	SLE: Combinazione FREQUENTE	NO	0	27676,00	45728,00
-	SLE: Combinazione FREQUENTE	NO	0	27676,00	45728,00
-	SLE: Combinazione QUASI PERMANENTE	NO	0	27792,00	38588,00
-	SLE: Combinazione QUASI PERMANENTE	NO	0	23009,00	30941,00
Sez. calcolo n.23 - Dis: 0.77(Monte)					
Approccio 1, Combinazione 1	Stato Limite di Resistenza della Struttura	NO	0	16998,00	30004,00
Approccio 1, Combinazione 1	Stato Limite di Resistenza della Struttura	NO	0	22073,00	82412,00
Approccio 1, Combinazione 1	Stato Limite di Resistenza della Struttura	NO	0	22097,00	39003,00
Approccio 1, Combinazione 1	Stato Limite di Resistenza della Struttura	NO	0	27546,00	91403,00
Approccio 1, Combinazione 1	Stato Limite di Resistenza della Struttura	SI	0	24362,00	51141,00
Approccio 1, Combinazione 2	Stato Limite di Resistenza della Struttura	NO	0	20408,00	36782,00
Approccio 1, Combinazione 2	Stato Limite di Resistenza della Struttura	NO	0	24583,00	86334,00
Approccio 1, Combinazione 2	Stato Limite di Resistenza della Struttura	NO	0	20408,00	36782,00

SOLLECITAZIONI SULLA FONDAZIONE					
Approccio	Stato limite	Sisma	N	My	Tx
			[N]	[Nm]	[N]
Approccio 1, Combinazione 2	Stato Limite di Resistenza della Struttura	NO	0	24583,00	86334,00
Approccio 1, Combinazione 2	Stato Limite di Resistenza della Struttura	SI	0	25020,00	55681,00
-	SLE: Combinazione RARA	NO	0	21067,00	68814,00
-	SLE: Combinazione RARA	NO	0	21067,00	68814,00
-	SLE: Combinazione FREQUENTE	NO	0	18782,00	45501,00
-	SLE: Combinazione FREQUENTE	NO	0	18782,00	45501,00
-	SLE: Combinazione QUASI PERMANENTE	NO	0	20364,00	37212,00
-	SLE: Combinazione QUASI PERMANENTE	NO	0	16998,00	30004,00
Sez. calcolo n.24 - Dis: 0.96(Monte)					
Approccio 1, Combinazione 1	Stato Limite di Resistenza della Struttura	NO	0	11289,00	26884,00
Approccio 1, Combinazione 1	Stato Limite di Resistenza della Struttura	NO	0	14450,00	36630,00
Approccio 1, Combinazione 1	Stato Limite di Resistenza della Struttura	NO	0	14676,00	34949,00
Approccio 1, Combinazione 1	Stato Limite di Resistenza della Struttura	NO	0	18186,00	44976,00
Approccio 1, Combinazione 1	Stato Limite di Resistenza della Struttura	SI	0	15113,00	42666,00
Approccio 1, Combinazione 2	Stato Limite di Resistenza della Struttura	NO	0	13433,00	32760,00
Approccio 1, Combinazione 2	Stato Limite di Resistenza della Struttura	NO	0	15347,00	42577,00
Approccio 1, Combinazione 2	Stato Limite di Resistenza della Struttura	NO	0	13433,00	32760,00
Approccio 1, Combinazione 2	Stato Limite di Resistenza della Struttura	NO	0	15347,00	42577,00
Approccio 1, Combinazione 2	Stato Limite di Resistenza della Struttura	SI	0	15305,00	43112,00
-	SLE: Combinazione RARA	NO	0	13921,00	34333,00
-	SLE: Combinazione RARA	NO	0	13921,00	34333,00
-	SLE: Combinazione FREQUENTE	NO	0	12493,00	29941,00
-	SLE: Combinazione FREQUENTE	NO	0	12493,00	29941,00
-	SLE: Combinazione QUASI PERMANENTE	NO	0	13369,00	33134,00
-	SLE: Combinazione QUASI PERMANENTE	NO	0	11289,00	26884,00
Sez. calcolo n.25 - Dis: 1.15(Monte)					
Approccio 1, Combinazione 1	Stato Limite di Resistenza della Struttura	NO	0	6298,00	21579,00
Approccio 1, Combinazione 1	Stato Limite di Resistenza della Struttura	NO	0	7760,00	29189,00
Approccio 1, Combinazione 1	Stato Limite di Resistenza della Struttura	NO	0	8187,00	28052,00
Approccio 1, Combinazione 1	Stato Limite di Resistenza della Struttura	NO	0	9912,00	36308,00
Approccio 1, Combinazione 1	Stato Limite di Resistenza della Struttura	SI	0	7782,00	30439,00
Approccio 1, Combinazione 2	Stato Limite di Resistenza della Struttura	NO	0	7392,00	26071,00
Approccio 1, Combinazione 2	Stato Limite di Resistenza della Struttura	NO	0	7944,00	30429,00
Approccio 1, Combinazione 2	Stato Limite di Resistenza della Struttura	NO	0	7392,00	26071,00

SOLLECITAZIONI SULLA FONDAZIONE					
Approccio	Stato limite	Sisma	N	My	Tx
			[N]	[Nm]	[N]
Approccio 1, Combinazione 2	Resistenza della Struttura Stato Limite di Resistenza della Struttura	NO	0	7944,00	30429,00
Approccio 1, Combinazione 2	Stato Limite di Resistenza della Struttura	SI	0	7902,00	30429,00
-	SLE: Combinazione RARA	NO	0	7600,00	27746,00
-	SLE: Combinazione RARA	NO	0	7600,00	27746,00
-	SLE: Combinazione FREQUENTE	NO	0	6944,00	24255,00
-	SLE: Combinazione FREQUENTE	NO	0	6944,00	24255,00
-	SLE: Combinazione QUASI PERMANENTE	NO	0	7322,00	26350,00
-	SLE: Combinazione QUASI PERMANENTE	NO	0	6298,00	21579,00
Sez. calcolo n.26 - Dis: 1.35(Monte)					
Approccio 1, Combinazione 1	Stato Limite di Resistenza della Struttura	NO	0	2438,00	14084,00
Approccio 1, Combinazione 1	Stato Limite di Resistenza della Struttura	NO	0	2796,00	17641,00
Approccio 1, Combinazione 1	Stato Limite di Resistenza della Struttura	NO	0	3170,00	18310,00
Approccio 1, Combinazione 1	Stato Limite di Resistenza della Struttura	NO	0	3629,00	22854,00
Approccio 1, Combinazione 1	Stato Limite di Resistenza della Struttura	SI	0	2771,00	17641,00
Approccio 1, Combinazione 2	Stato Limite di Resistenza della Struttura	NO	0	2791,00	16712,00
Approccio 1, Combinazione 2	Stato Limite di Resistenza della Struttura	NO	0	2860,00	17631,00
Approccio 1, Combinazione 2	Stato Limite di Resistenza della Struttura	NO	0	2791,00	16712,00
Approccio 1, Combinazione 2	Stato Limite di Resistenza della Struttura	NO	0	2860,00	17631,00
Approccio 1, Combinazione 2	Stato Limite di Resistenza della Struttura	SI	0	2833,00	17631,00
-	SLE: Combinazione RARA	NO	0	2790,00	17540,00
-	SLE: Combinazione RARA	NO	0	2790,00	17540,00
-	SLE: Combinazione FREQUENTE	NO	0	2649,00	15837,00
-	SLE: Combinazione FREQUENTE	NO	0	2649,00	15837,00
-	SLE: Combinazione QUASI PERMANENTE	NO	0	2737,00	16859,00
-	SLE: Combinazione QUASI PERMANENTE	NO	0	2438,00	14084,00
Sez. calcolo n.27 - Dis: 1.54(Monte)					
Approccio 1, Combinazione 1	Stato Limite di Resistenza della Struttura	NO	0	119,00	4405,00
Approccio 1, Combinazione 1	Stato Limite di Resistenza della Struttura	NO	0	120,00	4727,00
Approccio 1, Combinazione 1	Stato Limite di Resistenza della Struttura	NO	0	155,00	5728,00
Approccio 1, Combinazione 1	Stato Limite di Resistenza della Struttura	NO	0	157,00	6147,00
Approccio 1, Combinazione 1	Stato Limite di Resistenza della Struttura	SI	0	109,00	4727,00
Approccio 1, Combinazione 2	Stato Limite di Resistenza della Struttura	NO	0	129,00	4717,00
Approccio 1, Combinazione 2	Stato Limite di Resistenza della Struttura	NO	0	125,00	4717,00

SOLLECITAZIONI SULLA FONDAZIONE					
Approccio	Stato limite	Sisma	N	My	Tx
			[N]	[Nm]	[N]
Approccio 1, Combinazione 2	Struttura Stato Limite di Resistenza della	NO	0	129,00	4717,00
Approccio 1, Combinazione 2	Struttura Stato Limite di Resistenza della	NO	0	125,00	4717,00
Approccio 1, Combinazione 2	Struttura Stato Limite di Resistenza della	SI	0	114,00	4717,00
-	SLE: Combinazione RARA	NO	0	121,00	4727,00
-	SLE: Combinazione RARA	NO	0	121,00	4727,00
-	SLE: Combinazione FREQUENTE	NO	0	122,00	4688,00
-	SLE: Combinazione FREQUENTE	NO	0	122,00	4688,00
-	SLE: Combinazione QUASI PERMANENTE	NO	0	119,00	4727,00
-	SLE: Combinazione QUASI PERMANENTE	NO	0	119,00	4405,00

LEGENDA Sollecitazioni sulla fondazione

Approccio	Tipo di Approccio seguito.
Stato limite	Tipo di Stato Limite.
Sisma	Sisma agente nella Combinazione.
N	Sforzo Normale [N].
My	Vettore Momento ortogonale al piano dell'elemento [Nm].
Tx	Taglio orizzontale nel piano dell'elemento [N].

TENSIONI SUL TERRENO

TENSIONI SUL TERRENO						
Approccio	Combinazione	Sisma	Pt[i]	Pr[i]	Pt[f]	Pr[f]
			[m]	[N/mm ²]	[m]	[N/mm ²]
Sezione 1						
Approccio 1, Combinazione 1	Combinazione 1	NO	X: -0,20; Y: -0,37	0,129	X: 1,88; Y: -0,74	0,010
Approccio 1, Combinazione 1	Combinazione 2	NO	X: -0,20; Y: -0,37	0,206	X: 1,61; Y: -0,74	0,000
Approccio 1, Combinazione 1	Combinazione 3	NO	X: -0,20; Y: -0,37	0,168	X: 1,88; Y: -0,74	0,013
Approccio 1, Combinazione 1	Combinazione 4	NO	X: -0,20; Y: -0,37	0,244	X: 1,69; Y: -0,74	0,000
Approccio 1, Combinazione 1	Combinazione 1	SI	X: -0,20; Y: -0,37	0,185	X: 1,37; Y: -0,74	0,000
Approccio 1, Combinazione 2	Combinazione 1	NO	X: -0,20; Y: -0,37	0,143	X: 1,82; Y: -0,74	0,000
Approccio 1, Combinazione 2	Combinazione 2	NO	X: -0,20; Y: -0,37	0,231	X: 1,36; Y: -0,74	0,000
Approccio 1, Combinazione 2	Combinazione 3	NO	X: -0,20; Y: -0,37	0,143	X: 1,82; Y: -0,74	0,000
Approccio 1, Combinazione 2	Combinazione 4	NO	X: -0,20; Y: -0,37	0,231	X: 1,36; Y: -0,74	0,000
Approccio 1, Combinazione 2	Combinazione 1	SI	X: -0,20; Y: -0,37	0,228	X: 1,07; Y: -0,74	0,000

LEGENDA Tensioni sul terreno

Approccio	Tipo di Approccio seguito.
Combinazione	Combinazione considerata.
Sisma	Sisma agente nella Combinazione.
Pt[i]/Pt[f]	Coordinate del punto iniziale e finale del tratto di terreno di fondazione su cui sono esercitate le tensioni sul terreno [m].
Pr[i]/Pr[f]	Pressione iniziale e finale in corrispondenza dei relativi punti [N/mm ²].

VERIFICHE DI STABILITA'

VERIFICHE DI STABILITA'									
Bishop					Fellenius				
CS	FrzRblt	FrzRes	Centro	Raggio	CS	FrzRblt	FrzRes	Centro	Raggio
	[N]	[N]	[m]	[m]		[N]	[N]	[m]	[m]
Sezione 1									
Verifica 1									
Approccio 1, Combinazione 2 Stato Limite di Resistenza del Terreno senza sisma									
1,32	88.246	116.333	X: 0,30; Y: 4,00	4,99	1,29	88.246	113.566	X: 0,30; Y: 4,00	4,99
3,98	269.958	1.075.145	X: 0,30; Y: 4,00	8,99	3,69	269.958	996.133	X: 0,30; Y: 4,00	8,99
1,40	97.869	137.479	X: -0,20; Y: 4,00	5,17	1,38	97.869	134.724	X: -0,20; Y: 4,00	5,17
3,85	286.886	1.103.779	X: -0,20; Y: 4,00	9,17	3,56	286.886	1.021.442	X: -0,20; Y: 4,00	9,17
1,35	108.635	146.777	X: -0,70; Y: 4,00	5,39	1,33	108.635	144.945	X: -0,70; Y: 4,00	5,39
3,85	298.420	1.149.154	X: -0,70; Y: 4,00	9,39	3,55	298.420	1.060.124	X: -0,70; Y: 4,00	9,39
1,40	119.935	167.510	X: -1,20; Y: 4,00	5,65	1,38	119.935	165.554	X: -1,20; Y: 4,00	5,65
3,90	310.745	1.213.084	X: -1,20; Y: 4,00	9,65	3,58	310.745	1.114.011	X: -1,20; Y: 4,00	9,65
1,53	131.142	201.066	X: -1,70; Y: 4,00	5,93	1,51	131.142	198.350	X: -1,70; Y: 4,00	5,93
4,02	322.104	1.293.985	X: -1,70; Y: 4,00	9,93	3,67	322.104	1.182.015	X: -1,70; Y: 4,00	9,93
1,63	142.638	232.688	X: -2,20; Y: 4,00	6,25	1,60	142.638	228.835	X: -2,20; Y: 4,00	6,25

VERIFICHE DI STABILITA'

Bishop					Fellenius				
CS	FrzRblt	FrzRes	Centro	Raggio	CS	FrzRblt	FrzRes	Centro	Raggio
	[N]	[N]	[m]	[m]		[N]	[N]	[m]	[m]
4,23	329.685	1.392.969	X: -2,20; Y: 4,00	10,25	3,84	329.685	1.265.137	X: -2,20; Y: 4,00	10,25
1,69	157.207	265.300	X: -2,70; Y: 4,00	6,59	1,66	157.207	260.851	X: -2,70; Y: 4,00	6,59
4,50	334.990	1.508.465	X: -2,70; Y: 4,00	10,59	4,07	334.990	1.362.484	X: -2,70; Y: 4,00	10,59
1,84	168.354	309.383	X: -3,20; Y: 4,00	6,94	1,79	168.354	301.302	X: -3,20; Y: 4,00	6,94
4,83	339.428	1.640.710	X: -3,20; Y: 4,00	10,94	4,34	339.428	1.474.375	X: -3,20; Y: 4,00	10,94
2,02	181.613	367.302	X: -3,70; Y: 4,00	7,32	1,94	181.613	352.415	X: -3,70; Y: 4,00	7,32
5,26	340.517	1.789.468	X: -3,70; Y: 4,00	11,32	4,70	340.517	1.600.951	X: -3,70; Y: 4,00	11,32
2,33	188.288	439.466	X: -4,20; Y: 4,00	7,70	2,20	188.288	415.139	X: -4,20; Y: 4,00	7,70
5,66	345.509	1.956.247	X: -4,20; Y: 4,00	11,70	5,05	345.509	1.743.251	X: -4,20; Y: 4,00	11,70
1,34	90.257	120.567	X: 0,30; Y: 4,50	5,47	1,31	90.257	118.081	X: 0,30; Y: 4,50	5,47
3,95	278.512	1.101.096	X: 0,30; Y: 4,50	9,47	3,68	278.512	1.024.778	X: 0,30; Y: 4,50	9,47
1,39	100.840	140.255	X: -0,20; Y: 4,50	5,63	1,37	100.840	137.874	X: -0,20; Y: 4,50	5,63
3,83	294.228	1.126.070	X: -0,20; Y: 4,50	9,63	3,56	294.228	1.046.873	X: -0,20; Y: 4,50	9,63
1,34	109.968	147.842	X: -0,70; Y: 4,50	5,84	1,33	109.968	146.591	X: -0,70; Y: 4,50	5,84
3,82	305.618	1.166.590	X: -0,70; Y: 4,50	9,84	3,54	305.618	1.081.445	X: -0,70; Y: 4,50	9,84
1,29	122.520	158.521	X: -1,20; Y: 4,50	6,07	1,29	122.520	158.281	X: -1,20; Y: 4,50	6,07
3,86	317.656	1.224.810	X: -1,20; Y: 4,50	10,07	3,56	317.656	1.130.730	X: -1,20; Y: 4,50	10,07
1,48	133.375	197.057	X: -1,70; Y: 4,50	6,34	1,47	133.375	195.574	X: -1,70; Y: 4,50	6,34
3,95	328.755	1.299.707	X: -1,70; Y: 4,50	10,34	3,63	328.755	1.193.971	X: -1,70; Y: 4,50	10,34
1,55	144.706	224.441	X: -2,20; Y: 4,50	6,64	1,54	144.706	222.491	X: -2,20; Y: 4,50	6,64
4,13	336.647	1.391.596	X: -2,20; Y: 4,50	10,64	3,78	336.647	1.271.513	X: -2,20; Y: 4,50	10,64
1,60	158.970	254.969	X: -2,70; Y: 4,50	6,95	1,59	158.970	252.835	X: -2,70; Y: 4,50	6,95
4,38	342.689	1.499.612	X: -2,70; Y: 4,50	10,95	3,98	342.689	1.362.983	X: -2,70; Y: 4,50	10,95
1,73	170.709	294.871	X: -3,20; Y: 4,50	7,29	1,70	170.709	290.157	X: -3,20; Y: 4,50	7,29
4,67	348.138	1.624.162	X: -3,20; Y: 4,50	11,29	4,22	348.138	1.468.870	X: -3,20; Y: 4,50	11,29
1,93	180.264	347.292	X: -3,70; Y: 4,50	7,65	1,87	180.264	336.982	X: -3,70; Y: 4,50	7,65
5,03	350.654	1.764.979	X: -3,70; Y: 4,50	11,65	4,53	350.654	1.589.163	X: -3,70; Y: 4,50	11,65
2,18	189.571	413.043	X: -4,20; Y: 4,50	8,02	2,08	189.571	394.530	X: -4,20; Y: 4,50	8,02
5,45	352.676	1.921.667	X: -4,20; Y: 4,50	12,02	4,89	352.676	1.723.480	X: -4,20; Y: 4,50	12,02
1,35	93.123	125.328	X: 0,30; Y: 5,00	5,95	1,32	93.123	123.185	X: 0,30; Y: 5,00	5,95
3,94	286.172	1.126.977	X: 0,30; Y: 5,00	9,95	3,68	286.172	1.053.192	X: 0,30; Y: 5,00	9,95
1,38	102.198	140.749	X: -0,20; Y: 5,00	6,10	1,36	102.198	139.011	X: -0,20; Y: 5,00	6,10
3,82	300.883	1.148.405	X: -0,20; Y: 5,00	10,10	3,56	300.883	1.072.095	X: -0,20; Y: 5,00	10,10
1,34	112.165	149.915	X: -0,70; Y: 5,00	6,29	1,33	112.165	149.168	X: -0,70; Y: 5,00	6,29
3,80	312.177	1.185.243	X: -0,70; Y: 5,00	10,29	3,54	312.177	1.103.663	X: -0,70; Y: 5,00	10,29
1,28	124.101	159.244	X: -1,20; Y: 5,00	6,51	1,29	124.101	159.594	X: -1,20; Y: 5,00	6,51
3,81	324.895	1.238.335	X: -1,20; Y: 5,00	10,51	3,54	324.895	1.148.901	X: -1,20; Y: 5,00	10,51
1,42	133.600	189.645	X: -1,70; Y: 5,00	6,76	1,41	133.600	188.639	X: -1,70; Y: 5,00	6,76
3,91	334.483	1.307.894	X: -1,70; Y: 5,00	10,76	3,61	334.483	1.207.762	X: -1,70; Y: 5,00	10,76
1,51	144.679	218.073	X: -2,20; Y: 5,00	7,04	1,50	144.679	217.367	X: -2,20; Y: 5,00	7,04
4,09	340.441	1.392.698	X: -2,20; Y: 5,00	11,04	3,76	340.441	1.279.642	X: -2,20; Y: 5,00	11,04
1,57	156.660	246.552	X: -2,70; Y: 5,00	7,34	1,57	156.660	245.819	X: -2,70; Y: 5,00	7,34
4,31	346.959	1.493.876	X: -2,70; Y: 5,00	11,34	3,94	346.959	1.365.747	X: -2,70; Y: 5,00	11,34
1,66	170.129	281.611	X: -3,20; Y: 5,00	7,66	1,64	170.129	279.442	X: -3,20; Y: 5,00	7,66
4,57	352.934	1.611.211	X: -3,20; Y: 5,00	11,66	4,15	352.934	1.465.962	X: -3,20; Y: 5,00	11,66
1,83	179.993	329.798	X: -3,70; Y: 5,00	8,00	1,80	179.993	323.089	X: -3,70; Y: 5,00	8,00
4,90	356.222	1.744.297	X: -3,70; Y: 5,00	12,00	4,44	356.222	1.580.126	X: -3,70; Y: 5,00	12,00
2,04	191.408	390.507	X: -4,20; Y: 5,00	8,36	1,97	191.408	377.015	X: -4,20; Y: 5,00	8,36
5,23	362.000	1.893.931	X: -4,20; Y: 5,00	12,36	4,72	362.000	1.708.928	X: -4,20; Y: 5,00	12,36
1,33	97.376	129.433	X: 0,30; Y: 5,50	6,43	1,32	97.376	128.065	X: 0,30; Y: 5,50	6,43
3,93	293.400	1.152.254	X: 0,30; Y: 5,50	10,43	3,68	293.400	1.080.916	X: 0,30; Y: 5,50	10,43
1,37	104.252	143.346	X: -0,20; Y: 5,50	6,57	1,36	104.252	141.873	X: -0,20; Y: 5,50	6,57
3,81	307.139	1.171.097	X: -0,20; Y: 5,50	10,57	3,57	307.139	1.097.519	X: -0,20; Y: 5,50	10,57
1,34	113.698	152.007	X: -0,70; Y: 5,50	6,75	1,33	113.698	151.576	X: -0,70; Y: 5,50	6,75
3,77	319.211	1.204.319	X: -0,70; Y: 5,50	10,75	3,53	319.211	1.126.163	X: -0,70; Y: 5,50	10,75
1,28	124.520	159.983	X: -1,20; Y: 5,50	6,95	1,29	124.520	160.738	X: -1,20; Y: 5,50	6,95
3,80	330.115	1.253.497	X: -1,20; Y: 5,50	10,95	3,54	330.115	1.168.029	X: -1,20; Y: 5,50	10,95
1,37	134.569	184.672	X: -1,70; Y: 5,50	7,19	1,37	134.569	184.872	X: -1,70; Y: 5,50	7,19
3,90	338.138	1.317.547	X: -1,70; Y: 5,50	11,19	3,62	338.138	1.222.488	X: -1,70; Y: 5,50	11,19
1,47	145.346	213.590	X: -2,20; Y: 5,50	7,45	1,47	145.346	213.861	X: -2,20; Y: 5,50	7,45
4,04	346.297	1.397.347	X: -2,20; Y: 5,50	11,45	3,73	346.297	1.290.512	X: -2,20; Y: 5,50	11,45
1,53	155.955	238.649	X: -2,70; Y: 5,50	7,74	1,53	155.955	238.990	X: -2,70; Y: 5,50	7,74
4,22	353.221	1.492.216	X: -2,70; Y: 5,50	11,74	3,88	353.221	1.371.617	X: -2,70; Y: 5,50	11,74
1,60	169.250	270.325	X: -3,20; Y: 5,50	8,04	1,60	169.250	270.185	X: -3,20; Y: 5,50	8,04
4,46	359.749	1.602.935	X: -3,20; Y: 5,50	12,04	4,08	359.749	1.466.617	X: -3,20; Y: 5,50	12,04
1,74	180.542	314.869	X: -3,70; Y: 5,50	8,37	1,72	180.542	311.192	X: -3,70; Y: 5,50	8,37
4,75	363.922	1.729.000	X: -3,70; Y: 5,50	12,37	4,33	363.922	1.575.235	X: -3,70; Y: 5,50	12,37
1,95	189.583	370.561	X: -4,20; Y: 5,50	8,71	1,91	189.583	361.172	X: -4,20; Y: 5,50	8,71
5,08	367.991	1.870.266	X: -4,20; Y: 5,50	12,71	4,61	367.991	1.697.358	X: -4,20; Y: 5,50	12,71
1,35	99.119	133.831	X: 0,30; Y: 6,00	6,92	1,34	99.119	132.682	X: 0,30; Y: 6,00	6,92
3,92	300.766	1.177.633	X: 0,30; Y: 6,00	10,92	3,69	300.766	1.108.620	X: 0,30; Y: 6,00	10,92
1,38	105.840	145.722	X: -0,20; Y: 6,00	7,05	1,37	105.840	144.474	X: -0,20; Y: 6,00	7,05
3,81	313.666	1.194.203	X: -0,20; Y: 6,00	11,05	3,58	313.666	1.123.205	X: -0,20; Y: 6,00	11,05
1,34	114.404	153.425	X: -0,70; Y: 6,00	7,21	1,34	114.404	153.346	X: -0,70; Y: 6,00	7,21
3,78	324.363	1.224.502	X: -0,70; Y: 6,00	11,21	3,54	324.363	1.149.211	X: -0,70; Y: 6,00	11,21
1,29	125.366	161.235	X: -1,20; Y: 6,00	7,41	1,29	125.366	162.332	X: -1,20; Y: 6,00	7,41
3,80	333.638	1.269.435	X: -1,20; Y: 6,00	11,41	3,56	333.638	1.187.611	X: -1,20; Y: 6,00	11,41
1,33	134.476	178.737	X: -1,70; Y: 6,00	7,63	1,34	134.476	179.871	X: -1,70; Y: 6,00	7,63
3,87	343.143	1.329.224	X: -1,70; Y: 6,00	11,63	3,61	343.143	1.238.708	X: -1,70; Y: 6,00	11,63
1,42	144.906	205.652	X: -2,20; Y: 6,00	7,87	1,42	144.906	206.375	X: -2,20; Y: 6,00	7,87
4,00	351.372	1.403.745	X: -2,20; Y: 6,00	11,87	3,71	351.372	1.302.525	X: -2,20; Y: 6,00	11,87
1,49	156.039	232.936	X: -2,70; Y: 6,00	8,14	1,50	156.039	234.251	X: -2,70; Y: 6,00	8,14
4,15	359.515	1.492.854	X: -2,70; Y: 6,00	12,14	3,84	359.515	1.379.080	X: -2,70; Y: 6,00	12,14

VERIFICHE DI STABILITA'

Bishop					Fellenius				
CS	FrzRblt	FrzRes	Centro	Raggio	CS	FrzRblt	FrzRes	Centro	Raggio
	[N]	[N]	[m]	[m]		[N]	[N]	[m]	[m]
1,56	167.611	261.855	X: -3,20; Y: 6,00	8,43	1,57	167.611	262.979	X: -3,20; Y: 6,00	8,43
4,37	365.427	1.597.634	X: -3,20; Y: 6,00	12,43	4,02	365.427	1.469.395	X: -3,20; Y: 6,00	12,43
1,68	179.551	301.185	X: -3,70; Y: 6,00	8,74	1,67	179.551	299.995	X: -3,70; Y: 6,00	8,74
4,64	370.246	1.717.167	X: -3,70; Y: 6,00	12,74	4,25	370.246	1.572.837	X: -3,70; Y: 6,00	12,74
1,87	188.808	353.018	X: -4,20; Y: 6,00	9,07	1,84	188.808	346.939	X: -4,20; Y: 6,00	9,07
4,94	375.165	1.851.578	X: -4,20; Y: 6,00	13,07	4,50	375.165	1.689.529	X: -4,20; Y: 6,00	13,07
1,37	100.243	137.799	X: 0,30; Y: 6,50	7,41	1,36	100.243	136.812	X: 0,30; Y: 6,50	7,41
3,92	306.505	1.203.000	X: 0,30; Y: 6,50	11,41	3,71	306.505	1.135.955	X: 0,30; Y: 6,50	11,41
1,34	108.365	145.093	X: -0,20; Y: 6,50	7,53	1,34	108.365	144.858	X: -0,20; Y: 6,50	7,53
3,83	317.733	1.216.864	X: -0,20; Y: 6,50	11,53	3,61	317.733	1.148.068	X: -0,20; Y: 6,50	11,53
1,35	115.415	155.482	X: -0,70; Y: 6,50	7,68	1,35	115.415	155.597	X: -0,70; Y: 6,50	7,68
3,78	329.111	1.245.011	X: -0,70; Y: 6,50	11,68	3,56	329.111	1.172.393	X: -0,70; Y: 6,50	11,68
1,31	123.944	162.958	X: -1,20; Y: 6,50	7,86	1,32	123.944	163.899	X: -1,20; Y: 6,50	7,86
3,80	338.333	1.286.263	X: -1,20; Y: 6,50	11,86	3,57	338.333	1.207.743	X: -1,20; Y: 6,50	11,86
1,27	134.818	170.881	X: -1,70; Y: 6,50	8,07	1,29	134.818	173.277	X: -1,70; Y: 6,50	8,07
3,86	347.628	1.342.161	X: -1,70; Y: 6,50	12,07	3,61	347.628	1.255.780	X: -1,70; Y: 6,50	12,07
1,40	144.316	201.368	X: -2,20; Y: 6,50	8,31	1,41	144.316	202.895	X: -2,20; Y: 6,50	8,31
3,97	355.852	1.412.017	X: -2,20; Y: 6,50	12,31	3,70	355.852	1.315.895	X: -2,20; Y: 6,50	12,31
1,47	155.176	227.781	X: -2,70; Y: 6,50	8,56	1,48	155.176	230.004	X: -2,70; Y: 6,50	8,56
4,12	363.092	1.495.712	X: -2,70; Y: 6,50	12,56	3,82	363.092	1.388.104	X: -2,70; Y: 6,50	12,56
1,52	166.357	253.624	X: -3,20; Y: 6,50	8,84	1,54	166.357	255.883	X: -3,20; Y: 6,50	8,84
4,32	369.451	1.594.776	X: -3,20; Y: 6,50	12,84	3,99	369.451	1.473.885	X: -3,20; Y: 6,50	12,84
1,62	178.294	289.564	X: -3,70; Y: 6,50	9,14	1,63	178.294	290.178	X: -3,70; Y: 6,50	9,14
4,56	374.777	1.708.238	X: -3,70; Y: 6,50	13,14	4,20	374.777	1.572.505	X: -3,70; Y: 6,50	13,14
1,80	187.868	337.282	X: -4,20; Y: 6,50	9,45	1,78	187.868	333.955	X: -4,20; Y: 6,50	9,45
4,83	380.285	1.836.066	X: -4,20; Y: 6,50	13,45	4,43	380.285	1.683.938	X: -4,20; Y: 6,50	13,45
1,40	101.601	141.827	X: 0,30; Y: 7,00	7,90	1,39	101.601	141.060	X: 0,30; Y: 7,00	7,90
3,94	311.745	1.227.772	X: 0,30; Y: 7,00	11,90	3,73	311.745	1.162.587	X: 0,30; Y: 7,00	11,90
1,34	109.437	146.867	X: -0,20; Y: 7,00	8,01	1,34	109.437	146.825	X: -0,20; Y: 7,00	8,01
3,84	322.547	1.240.027	X: -0,20; Y: 7,00	12,01	3,64	322.547	1.173.312	X: -0,20; Y: 7,00	12,01
1,36	115.881	157.296	X: -0,70; Y: 7,00	8,15	1,36	115.881	157.545	X: -0,70; Y: 7,00	8,15
3,80	333.398	1.265.339	X: -0,70; Y: 7,00	12,15	3,58	333.398	1.195.185	X: -0,70; Y: 7,00	12,15
1,32	124.474	164.388	X: -1,20; Y: 7,00	8,33	1,33	124.474	165.633	X: -1,20; Y: 7,00	8,33
3,81	342.607	1.303.876	X: -1,20; Y: 7,00	12,33	3,59	342.607	1.228.417	X: -1,20; Y: 7,00	12,33
1,27	134.583	171.307	X: -1,70; Y: 7,00	8,52	1,29	134.583	173.961	X: -1,70; Y: 7,00	8,52
3,85	351.707	1.355.718	X: -1,70; Y: 7,00	12,52	3,62	351.707	1.273.111	X: -1,70; Y: 7,00	12,52
1,38	144.178	198.573	X: -2,20; Y: 7,00	8,74	1,39	144.178	200.542	X: -2,20; Y: 7,00	8,74
3,96	359.218	1.421.003	X: -2,20; Y: 7,00	12,74	3,70	359.218	1.329.517	X: -2,20; Y: 7,00	12,74
1,43	154.632	220.425	X: -2,70; Y: 7,00	8,99	1,44	154.632	222.799	X: -2,70; Y: 7,00	8,99
4,08	367.602	1.500.720	X: -2,70; Y: 7,00	12,99	3,80	367.602	1.398.684	X: -2,70; Y: 7,00	12,99
1,50	165.101	247.201	X: -3,20; Y: 7,00	9,25	1,52	165.101	250.364	X: -3,20; Y: 7,00	9,25
4,26	374.243	1.594.545	X: -3,20; Y: 7,00	13,25	3,96	374.243	1.480.291	X: -3,20; Y: 7,00	13,25
1,59	175.605	279.762	X: -3,70; Y: 7,00	9,54	1,60	175.605	281.729	X: -3,70; Y: 7,00	9,54
4,48	379.991	1.702.289	X: -3,70; Y: 7,00	13,54	4,14	379.991	1.574.327	X: -3,70; Y: 7,00	13,54
1,73	186.616	323.141	X: -4,20; Y: 7,00	9,84	1,73	186.616	322.159	X: -4,20; Y: 7,00	9,84
4,72	386.066	1.824.026	X: -4,20; Y: 7,00	13,84	4,35	386.066	1.680.885	X: -4,20; Y: 7,00	13,84
1,42	102.729	145.757	X: 0,30; Y: 7,50	8,39	1,41	102.729	145.133	X: 0,30; Y: 7,50	8,39
3,95	316.735	1.251.901	X: 0,30; Y: 7,50	12,39	3,75	316.735	1.188.527	X: 0,30; Y: 7,50	12,39
1,29	110.276	141.819	X: -0,20; Y: 7,50	8,49	1,29	110.276	142.385	X: -0,20; Y: 7,50	8,49
3,86	327.102	1.262.576	X: -0,20; Y: 7,50	12,49	3,66	327.102	1.197.831	X: -0,20; Y: 7,50	12,49
1,37	116.572	159.317	X: -0,70; Y: 7,50	8,63	1,37	116.572	159.704	X: -0,70; Y: 7,50	8,63
3,81	337.445	1.285.901	X: -0,70; Y: 7,50	12,63	3,61	337.445	1.218.079	X: -0,70; Y: 7,50	12,63
1,33	124.585	165.515	X: -1,20; Y: 7,50	8,79	1,34	124.585	167.011	X: -1,20; Y: 7,50	8,79
3,81	346.575	1.321.388	X: -1,20; Y: 7,50	12,79	3,60	346.575	1.248.746	X: -1,20; Y: 7,50	12,79
1,30	133.212	172.633	X: -1,70; Y: 7,50	8,98	1,31	133.212	175.157	X: -1,70; Y: 7,50	8,98
3,86	354.859	1.369.934	X: -1,70; Y: 7,50	12,98	3,64	354.859	1.290.805	X: -1,70; Y: 7,50	12,98
1,35	143.545	194.035	X: -2,20; Y: 7,50	9,19	1,37	143.545	196.721	X: -2,20; Y: 7,50	9,19
3,93	364.107	1.431.644	X: -2,20; Y: 7,50	13,19	3,69	364.107	1.344.451	X: -2,20; Y: 7,50	13,19
1,41	153.596	216.725	X: -2,70; Y: 7,50	9,42	1,43	153.596	219.548	X: -2,70; Y: 7,50	9,42
4,06	371.585	1.507.053	X: -2,70; Y: 7,50	13,42	3,79	371.585	1.410.092	X: -2,70; Y: 7,50	13,42
1,47	164.282	241.885	X: -3,20; Y: 7,50	9,68	1,50	164.282	245.819	X: -3,20; Y: 7,50	9,68
4,22	377.706	1.595.703	X: -3,20; Y: 7,50	13,68	3,94	377.706	1.487.499	X: -3,20; Y: 7,50	13,68
1,55	174.567	271.130	X: -3,70; Y: 7,50	9,95	1,57	174.567	274.234	X: -3,70; Y: 7,50	9,95
4,42	383.916	1.698.241	X: -3,70; Y: 7,50	13,95	4,11	383.916	1.577.377	X: -3,70; Y: 7,50	13,95
1,68	185.611	311.048	X: -4,20; Y: 7,50	10,24	1,68	185.611	311.859	X: -4,20; Y: 7,50	10,24
4,65	390.483	1.814.392	X: -4,20; Y: 7,50	14,24	4,30	390.483	1.679.471	X: -4,20; Y: 7,50	14,24
1,44	103.559	149.481	X: 0,30; Y: 8,00	8,88	1,44	103.559	148.968	X: 0,30; Y: 8,00	8,88
3,96	322.118	1.276.051	X: 0,30; Y: 8,00	12,88	3,77	322.118	1.214.515	X: 0,30; Y: 8,00	12,88
1,31	110.810	145.218	X: -0,20; Y: 8,00	8,98	1,32	110.810	145.862	X: -0,20; Y: 8,00	8,98
3,87	332.267	1.284.929	X: -0,20; Y: 8,00	12,98	3,68	332.267	1.222.240	X: -0,20; Y: 8,00	12,98
1,36	118.265	160.729	X: -0,70; Y: 8,00	9,11	1,37	118.265	161.575	X: -0,70; Y: 8,00	9,11
3,83	340.813	1.305.965	X: -0,70; Y: 8,00	13,11	3,64	340.813	1.240.306	X: -0,70; Y: 8,00	13,11
1,34	124.863	167.091	X: -1,20; Y: 8,00	9,26	1,35	124.863	168.716	X: -1,20; Y: 8,00	9,26
3,82	350.254	1.339.432	X: -1,20; Y: 8,00	13,26	3,62	350.254	1.269.419	X: -1,20; Y: 8,00	13,26
1,30	132.989	173.475	X: -1,70; Y: 8,00	9,44	1,32	132.989	176.152	X: -1,70; Y: 8,00	9,44
3,85	359.459	1.384.733	X: -1,70; Y: 8,00	13,44	3,64	359.459	1.308.882	X: -1,70; Y: 8,00	13,44
1,35	141.868	191.742	X: -2,20; Y: 8,00	9,64	1,37	141.868	194.436	X: -2,20; Y: 8,00	9,64
3,93	367.630	1.443.337	X: -2,20; Y: 8,00	13,64	3,70	367.630	1.359.992	X: -2,20; Y: 8,00	13,64
1,40	152.566	213.073	X: -2,70; Y: 8,00	9,86	1,42	152.566	216.362	X: -2,70; Y: 8,00	9,86
4,04	374.700	1.514.612	X: -2,70; Y: 8,00	13,86	3,80	374.700	1.422.302	X: -2,70; Y: 8,00	13,86
1,44	162.955	233.908	X: -3,20; Y: 8,00	10,10	1,46	162.955	237.895	X: -3,20; Y: 8,00	10,10
4,19	381.802	1.598.997	X: -3,20; Y: 8,00	14,10	3,92	381.802	1.496.319	X: -3,20; Y: 8,00	14,10
1,52	173.152	263.996	X: -3,70; Y: 8,00	10,36	1,55	173.152	268.085	X: -3,70; Y: 8,00	10,36

VERIFICHE DI STABILITA'

Bishop					Fellenius				
CS	FrzRblt	FrzRes	Centro	Raggio	CS	FrzRblt	FrzRes	Centro	Raggio
	[N]	[N]	[m]	[m]		[N]	[N]	[m]	[m]
4,37	388.326	1.696.607	X: -3,70; Y: 8,00	14,36	4,07	388.326	1.582.218	X: -3,70; Y: 8,00	14,36
1,64	182.883	300.478	X: -4,20; Y: 8,00	10,64	1,65	182.883	302.657	X: -4,20; Y: 8,00	10,64
4,57	395.282	1.807.515	X: -4,20; Y: 8,00	14,64	4,25	395.282	1.680.092	X: -4,20; Y: 8,00	14,64
1,47	104.423	153.246	X: 0,30; Y: 8,50	9,37	1,46	104.423	152.841	X: 0,30; Y: 8,50	9,37
3,99	326.195	1.299.900	X: 0,30; Y: 8,50	13,37	3,80	326.195	1.239.868	X: 0,30; Y: 8,50	13,37
1,33	111.453	148.656	X: -0,20; Y: 8,50	9,47	1,34	111.453	149.382	X: -0,20; Y: 8,50	9,47
3,89	335.995	1.307.565	X: -0,20; Y: 8,50	13,47	3,71	335.995	1.246.535	X: -0,20; Y: 8,50	13,47
1,36	118.678	161.428	X: -0,70; Y: 8,50	9,59	1,37	118.678	162.638	X: -0,70; Y: 8,50	9,59
3,84	345.290	1.326.647	X: -0,70; Y: 8,50	13,59	3,66	345.290	1.263.128	X: -0,70; Y: 8,50	13,59
1,35	124.889	168.561	X: -1,20; Y: 8,50	9,74	1,36	124.889	170.273	X: -1,20; Y: 8,50	9,74
3,83	354.008	1.357.360	X: -1,20; Y: 8,50	13,74	3,64	354.008	1.289.847	X: -1,20; Y: 8,50	13,74
1,31	132.720	174.448	X: -1,70; Y: 8,50	9,90	1,34	132.720	177.230	X: -1,70; Y: 8,50	9,90
3,86	362.756	1.400.498	X: -1,70; Y: 8,50	13,90	3,66	362.756	1.327.558	X: -1,70; Y: 8,50	13,90
1,29	141.312	181.809	X: -2,20; Y: 8,50	10,10	1,31	141.312	185.638	X: -2,20; Y: 8,50	10,10
3,93	370.460	1.455.438	X: -2,20; Y: 8,50	14,10	3,71	370.460	1.375.618	X: -2,20; Y: 8,50	14,10
1,39	151.791	210.350	X: -2,70; Y: 8,50	10,31	1,41	151.791	213.910	X: -2,70; Y: 8,50	10,31
4,03	378.253	1.523.155	X: -2,70; Y: 8,50	14,31	3,79	378.253	1.435.103	X: -2,70; Y: 8,50	14,31
1,42	161.609	229.701	X: -3,20; Y: 8,50	10,54	1,45	161.609	234.094	X: -3,20; Y: 8,50	10,54
4,16	385.443	1.603.554	X: -3,20; Y: 8,50	14,54	3,91	385.443	1.505.940	X: -3,20; Y: 8,50	14,54
1,50	171.745	257.635	X: -3,70; Y: 8,50	10,79	1,53	171.745	262.516	X: -3,70; Y: 8,50	10,79
4,33	391.762	1.696.524	X: -3,70; Y: 8,50	14,79	4,05	391.762	1.588.069	X: -3,70; Y: 8,50	14,79
1,60	181.337	290.944	X: -4,20; Y: 8,50	11,06	1,62	181.337	294.292	X: -4,20; Y: 8,50	11,06
4,52	399.124	1.802.565	X: -4,20; Y: 8,50	15,06	4,21	399.124	1.682.024	X: -4,20; Y: 8,50	15,06

Verifica 2

Approccio 1, Combinazione 2 Stato Limite di Resistenza del Terreno senza sisma

					1,03	143.474	147.597	X: 0,30; Y: 4,00	4,99
1,04	143.474	148.524	X: 0,30; Y: 4,00	4,99	1,03	143.474	147.597	X: 0,30; Y: 4,00	4,99
3,78	305.904	1.157.506	X: 0,30; Y: 4,00	8,99	3,53	305.904	1.079.317	X: 0,30; Y: 4,00	8,99
1,09	154.814	168.875	X: -0,20; Y: 4,00	5,17	1,09	154.814	168.364	X: -0,20; Y: 4,00	5,17
3,60	328.805	1.184.516	X: -0,20; Y: 4,00	9,17	3,35	328.805	1.103.139	X: -0,20; Y: 4,00	9,17
1,05	166.474	175.367	X: -0,70; Y: 4,00	5,39	1,06	166.474	176.441	X: -0,70; Y: 4,00	5,39
3,55	345.883	1.228.471	X: -0,70; Y: 4,00	9,39	3,30	345.883	1.140.221	X: -0,70; Y: 4,00	9,39
1,08	178.668	193.771	X: -1,20; Y: 4,00	5,65	1,09	178.668	194.813	X: -1,20; Y: 4,00	5,65
3,56	363.176	1.291.242	X: -1,20; Y: 4,00	9,65	3,28	363.176	1.192.469	X: -1,20; Y: 4,00	9,65
1,19	190.136	225.394	X: -1,70; Y: 4,00	5,93	1,19	190.136	225.555	X: -1,70; Y: 4,00	5,93
3,62	379.164	1.371.219	X: -1,70; Y: 4,00	9,93	3,32	379.164	1.258.755	X: -1,70; Y: 4,00	9,93
1,27	201.470	256.311	X: -2,20; Y: 4,00	6,25	1,27	201.470	255.098	X: -2,20; Y: 4,00	6,25
3,76	391.029	1.469.537	X: -2,20; Y: 4,00	10,25	3,43	391.029	1.340.140	X: -2,20; Y: 4,00	10,25
1,33	215.860	287.569	X: -2,70; Y: 4,00	6,59	1,32	215.860	285.924	X: -2,70; Y: 4,00	6,59
3,96	400.016	1.584.668	X: -2,70; Y: 4,00	10,59	3,59	400.016	1.435.868	X: -2,70; Y: 4,00	10,59
1,46	226.688	331.065	X: -3,20; Y: 4,00	6,94	1,43	226.688	325.234	X: -3,20; Y: 4,00	6,94
4,21	408.004	1.716.666	X: -3,20; Y: 4,00	10,94	3,79	408.004	1.546.038	X: -3,20; Y: 4,00	10,94
1,63	239.182	389.027	X: -3,70; Y: 4,00	7,32	1,57	239.182	375.312	X: -3,70; Y: 4,00	7,32
4,53	412.134	1.865.410	X: -3,70; Y: 4,00	11,32	4,05	412.134	1.671.075	X: -3,70; Y: 4,00	11,32
1,88	245.396	461.540	X: -4,20; Y: 4,00	7,70	1,78	245.396	436.990	X: -4,20; Y: 4,00	7,70
4,84	420.046	2.032.190	X: -4,20; Y: 4,00	11,70	4,31	420.046	1.811.760	X: -4,20; Y: 4,00	11,70
1,05	148.725	155.445	X: 0,30; Y: 4,50	5,47	1,04	148.725	154.806	X: 0,30; Y: 4,50	5,47
3,79	312.712	1.183.868	X: 0,30; Y: 4,50	9,47	3,54	312.712	1.108.529	X: 0,30; Y: 4,50	9,47
1,08	160.610	174.028	X: -0,20; Y: 4,50	5,63	1,08	160.610	173.916	X: -0,20; Y: 4,50	5,63
3,61	334.147	1.207.306	X: -0,20; Y: 4,50	9,63	3,38	334.147	1.129.274	X: -0,20; Y: 4,50	9,63
1,05	170.919	178.641	X: -0,70; Y: 4,50	5,84	1,06	170.919	180.458	X: -0,70; Y: 4,50	5,84
3,55	350.860	1.246.456	X: -0,70; Y: 4,50	9,84	3,31	350.860	1.162.383	X: -0,70; Y: 4,50	9,84
1,01	183.989	186.680	X: -1,20; Y: 4,50	6,07	1,03	183.989	190.008	X: -1,20; Y: 4,50	6,07
3,54	367.840	1.303.488	X: -1,20; Y: 4,50	10,07	3,29	367.840	1.210.126	X: -1,20; Y: 4,50	10,07
1,15	195.133	223.609	X: -1,70; Y: 4,50	6,34	1,15	195.133	225.212	X: -1,70; Y: 4,50	6,34
3,59	383.597	1.377.404	X: -1,70; Y: 4,50	10,34	3,32	383.597	1.271.719	X: -1,70; Y: 4,50	10,34
1,21	206.386	249.297	X: -2,20; Y: 4,50	6,64	1,21	206.386	250.506	X: -2,20; Y: 4,50	6,64
3,71	395.741	1.468.569	X: -2,20; Y: 4,50	10,64	3,41	395.741	1.347.624	X: -2,20; Y: 4,50	10,64
1,26	220.424	278.581	X: -2,70; Y: 4,50	6,95	1,27	220.424	279.815	X: -2,70; Y: 4,50	6,95
3,89	405.534	1.576.124	X: -2,70; Y: 4,50	10,95	3,54	405.534	1.437.514	X: -2,70; Y: 4,50	10,95
1,37	231.889	317.743	X: -3,20; Y: 4,50	7,29	1,36	231.889	315.964	X: -3,20; Y: 4,50	7,29
4,10	414.584	1.700.346	X: -3,20; Y: 4,50	11,29	3,72	414.584	1.541.737	X: -3,20; Y: 4,50	11,29
1,54	240.939	370.008	X: -3,70; Y: 4,50	7,65	1,50	240.939	361.613	X: -3,70; Y: 4,50	7,65
4,38	420.230	1.841.057	X: -3,70; Y: 4,50	11,65	3,95	420.230	1.660.506	X: -3,70; Y: 4,50	11,65
1,74	249.848	435.890	X: -4,20; Y: 4,50	8,02	1,67	249.848	417.945	X: -4,20; Y: 4,50	8,02
4,70	425.231	1.997.718	X: -4,20; Y: 4,50	12,02	4,22	425.231	1.793.246	X: -4,20; Y: 4,50	12,02
1,10	147.816	162.047	X: 0,30; Y: 5,00	5,95	1,09	147.816	161.581	X: 0,30; Y: 5,00	5,95
3,80	318.622	1.210.169	X: 0,30; Y: 5,00	9,95	3,57	318.622	1.137.449	X: 0,30; Y: 5,00	9,95
1,07	164.575	176.651	X: -0,20; Y: 5,00	6,10	1,08	164.575	177.205	X: -0,20; Y: 5,00	6,10
3,63	338.869	1.230.132	X: -0,20; Y: 5,00	10,10	3,41	338.869	1.155.121	X: -0,20; Y: 5,00	10,10
1,04	175.420	183.009	X: -0,70; Y: 5,00	6,29	1,06	175.420	185.448	X: -0,70; Y: 5,00	6,29
3,56	355.380	1.265.620	X: -0,70; Y: 5,00	10,29	3,34	355.380	1.185.331	X: -0,70; Y: 5,00	10,29
1,01	187.947	189.541	X: -1,20; Y: 5,00	6,51	1,03	187.947	193.669	X: -1,20; Y: 5,00	6,51
3,53	373.032	1.317.501	X: -1,20; Y: 5,00	10,51	3,29	373.032	1.229.093	X: -1,20; Y: 5,00	10,51
1,10	197.945	218.344	X: -1,70; Y: 5,00	6,76	1,11	197.945	220.537	X: -1,70; Y: 5,00	6,76
3,58	387.216	1.386.061	X: -1,70; Y: 5,00	10,76	3,32	387.216	1.286.420	X: -1,70; Y: 5,00	10,76
1,17	209.033	244.653	X: -2,20; Y: 5,00	7,04	1,18	209.033	247.212	X: -2,20; Y: 5,00	7,04
3,70	397.356	1.470.124	X: -2,20; Y: 5,00	11,04	3,41	397.356	1.356.761	X: -2,20; Y: 5,00	11,04
1,23	220.790	271.763	X: -2,70; Y: 5,00	7,34	1,24	220.790	274.511	X: -2,70; Y: 5,00	7,34
3,85	407.684	1.570.755	X: -2,70; Y: 5,00	11,34	3,54	407.684	1.441.329	X: -2,70; Y: 5,00	11,34
1,31	234.000	305.583	X: -3,20; Y: 5,00	7,66	1,31	234.000	306.914	X: -3,20; Y: 5,00	7,66
4,04	417.288	1.687.695	X: -3,20; Y: 5,00	11,66	3,69	417.288	1.539.949	X: -3,20; Y: 5,00	11,66
1,45	243.414	353.565	X: -3,70; Y: 5,00	8,00	1,44	243.414	349.412	X: -3,70; Y: 5,00	8,00
4,30	423.770	1.820.596	X: -3,70; Y: 5,00	12,00	3,90	423.770	1.652.620	X: -3,70; Y: 5,00	12,00

VERIFICHE DI STABILITA'

Bishop					Fellenius				
CS	FrzRblt	FrzRes	Centro	Raggio	CS	FrzRblt	FrzRes	Centro	Raggio
	[N]	[N]	[m]	[m]		[N]	[N]	[m]	[m]
1,63	254.181	414.330	X: -4,20; Y: 5,00	8,36	1,58	254.181	402.225	X: -4,20; Y: 5,00	8,36
4,55	432.573	1.970.113	X: -4,20; Y: 5,00	12,36	4,11	432.573	1.779.886	X: -4,20; Y: 5,00	12,36
1,14	147.671	167.625	X: 0,30; Y: 5,50	6,43	1,14	147.671	167.865	X: 0,30; Y: 5,50	6,43
3,81	324.342	1.235.806	X: 0,30; Y: 5,50	10,43	3,59	324.342	1.165.585	X: 0,30; Y: 5,50	10,43
1,11	162.982	180.293	X: -0,20; Y: 5,50	6,57	1,11	162.982	181.160	X: -0,20; Y: 5,50	6,57
3,65	343.439	1.253.248	X: -0,20; Y: 5,50	10,57	3,44	343.439	1.181.054	X: -0,20; Y: 5,50	10,57
1,05	178.946	187.316	X: -0,70; Y: 5,50	6,75	1,06	178.946	190.133	X: -0,70; Y: 5,50	6,75
3,56	360.611	1.285.155	X: -0,70; Y: 5,50	10,75	3,35	360.611	1.208.433	X: -0,70; Y: 5,50	10,75
1,01	190.515	192.390	X: -1,20; Y: 5,50	6,95	1,03	190.515	197.032	X: -1,20; Y: 5,50	6,95
3,54	376.331	1.333.146	X: -1,20; Y: 5,50	10,95	3,32	376.331	1.248.935	X: -1,20; Y: 5,50	10,95
1,07	200.910	215.097	X: -1,70; Y: 5,50	7,19	1,09	200.910	219.023	X: -1,70; Y: 5,50	7,19
3,59	388.874	1.396.195	X: -1,70; Y: 5,50	11,19	3,35	388.874	1.301.964	X: -1,70; Y: 5,50	11,19
1,14	211.825	242.031	X: -2,20; Y: 5,50	7,45	1,16	211.825	245.898	X: -2,20; Y: 5,50	7,45
3,68	401.128	1.475.208	X: -2,20; Y: 5,50	11,45	3,41	401.128	1.368.545	X: -2,20; Y: 5,50	11,45
1,19	222.403	265.192	X: -2,70; Y: 5,50	7,74	1,21	222.403	269.246	X: -2,70; Y: 5,50	7,74
3,81	411.900	1.569.462	X: -2,70; Y: 5,50	11,74	3,52	411.900	1.448.161	X: -2,70; Y: 5,50	11,74
1,26	235.432	295.822	X: -3,20; Y: 5,50	8,04	1,27	235.432	299.347	X: -3,20; Y: 5,50	8,04
3,98	422.067	1.679.728	X: -3,20; Y: 5,50	12,04	3,65	422.067	1.541.636	X: -3,20; Y: 5,50	12,04
1,38	246.230	339.737	X: -3,70; Y: 5,50	8,37	1,38	246.230	339.229	X: -3,70; Y: 5,50	8,37
4,20	429.473	1.805.535	X: -3,70; Y: 5,50	12,37	3,84	429.473	1.648.805	X: -3,70; Y: 5,50	12,37
1,55	254.740	395.327	X: -4,20; Y: 5,50	8,71	1,52	254.740	388.013	X: -4,20; Y: 5,50	8,71
4,46	436.606	1.946.645	X: -4,20; Y: 5,50	12,71	4,05	436.606	1.769.437	X: -4,20; Y: 5,50	12,71
1,19	145.852	173.113	X: 0,30; Y: 6,00	6,92	1,19	145.852	173.478	X: 0,30; Y: 6,00	6,92
3,82	330.384	1.261.511	X: 0,30; Y: 6,00	10,92	3,61	330.384	1.193.638	X: 0,30; Y: 6,00	10,92
1,14	160.357	183.601	X: -0,20; Y: 6,00	7,05	1,15	160.357	184.600	X: -0,20; Y: 6,00	7,05
3,66	348.448	1.276.746	X: -0,20; Y: 6,00	11,05	3,46	348.448	1.207.181	X: -0,20; Y: 6,00	11,05
1,08	176.352	189.995	X: -0,70; Y: 6,00	7,21	1,09	176.352	193.055	X: -0,70; Y: 6,00	7,21
3,59	364.086	1.305.775	X: -0,70; Y: 6,00	11,21	3,38	364.086	1.232.022	X: -0,70; Y: 6,00	11,21
1,01	193.064	195.743	X: -1,20; Y: 6,00	7,41	1,04	193.064	200.805	X: -1,20; Y: 6,00	7,41
3,57	378.056	1.349.552	X: -1,20; Y: 6,00	11,41	3,36	378.056	1.269.156	X: -1,20; Y: 6,00	11,41
1,04	202.676	210.841	X: -1,70; Y: 6,00	7,63	1,07	202.676	216.125	X: -1,70; Y: 6,00	7,63
3,59	391.933	1.408.342	X: -1,70; Y: 6,00	11,63	3,37	391.933	1.318.927	X: -1,70; Y: 6,00	11,63
1,11	213.284	235.831	X: -2,20; Y: 6,00	7,87	1,13	213.284	240.515	X: -2,20; Y: 6,00	7,87
3,67	404.218	1.482.046	X: -2,20; Y: 6,00	11,87	3,42	404.218	1.381.383	X: -2,20; Y: 6,00	11,87
1,16	224.326	261.016	X: -2,70; Y: 6,00	8,14	1,19	224.326	266.388	X: -2,70; Y: 6,00	8,14
3,77	416.230	1.570.484	X: -2,70; Y: 6,00	12,14	3,50	416.230	1.456.502	X: -2,70; Y: 6,00	12,14
1,22	235.655	288.548	X: -3,20; Y: 6,00	8,43	1,25	235.655	293.815	X: -3,20; Y: 6,00	8,43
3,93	425.776	1.674.759	X: -3,20; Y: 6,00	12,43	3,63	425.776	1.545.362	X: -3,20; Y: 6,00	12,43
1,32	247.310	327.180	X: -3,70; Y: 6,00	8,74	1,33	247.310	329.602	X: -3,70; Y: 6,00	8,74
4,14	433.846	1.793.975	X: -3,70; Y: 6,00	12,74	3,80	433.846	1.647.405	X: -3,70; Y: 6,00	12,74
1,48	256.099	378.792	X: -4,20; Y: 6,00	9,07	1,47	256.099	375.389	X: -4,20; Y: 6,00	9,07
4,36	441.857	1.928.167	X: -4,20; Y: 6,00	13,07	3,99	441.857	1.762.655	X: -4,20; Y: 6,00	13,07
1,24	143.914	177.940	X: 0,30; Y: 6,50	7,41	1,24	143.914	178.365	X: 0,30; Y: 6,50	7,41
3,84	334.877	1.287.185	X: 0,30; Y: 6,50	11,41	3,65	334.877	1.221.293	X: 0,30; Y: 6,50	11,41
1,15	159.482	183.324	X: -0,20; Y: 6,50	7,53	1,16	159.482	185.319	X: -0,20; Y: 6,50	7,53
3,70	351.105	1.299.777	X: -0,20; Y: 6,50	11,53	3,51	351.105	1.232.443	X: -0,20; Y: 6,50	11,53
1,11	173.366	193.153	X: -0,70; Y: 6,50	7,68	1,13	173.366	196.246	X: -0,70; Y: 6,50	7,68
3,61	367.259	1.326.697	X: -0,70; Y: 6,50	11,68	3,42	367.259	1.255.688	X: -0,70; Y: 6,50	11,68
1,05	188.498	198.760	X: -1,20; Y: 6,50	7,86	1,08	188.498	203.493	X: -1,20; Y: 6,50	7,86
3,59	381.012	1.366.828	X: -1,20; Y: 6,50	11,86	3,39	381.012	1.289.868	X: -1,20; Y: 6,50	11,86
1,00	204.501	204.724	X: -1,70; Y: 6,50	8,07	1,03	204.501	211.610	X: -1,70; Y: 6,50	8,07
3,60	394.580	1.421.733	X: -1,70; Y: 6,50	12,07	3,39	394.580	1.336.667	X: -1,70; Y: 6,50	12,07
1,09	214.322	233.313	X: -2,20; Y: 6,50	8,31	1,12	214.322	239.083	X: -2,20; Y: 6,50	8,31
3,66	406.834	1.490.745	X: -2,20; Y: 6,50	12,31	3,43	406.834	1.395.487	X: -2,20; Y: 6,50	12,31
1,14	225.202	257.549	X: -2,70; Y: 6,50	8,56	1,17	225.202	264.127	X: -2,70; Y: 6,50	8,56
3,77	417.930	1.573.740	X: -2,70; Y: 6,50	12,56	3,51	417.930	1.466.325	X: -2,70; Y: 6,50	12,56
1,19	236.172	281.535	X: -3,20; Y: 6,50	8,84	1,22	236.172	288.216	X: -3,20; Y: 6,50	8,84
3,91	427.903	1.672.256	X: -3,20; Y: 6,50	12,84	3,62	427.903	1.550.723	X: -3,20; Y: 6,50	12,84
1,28	247.833	316.817	X: -3,70; Y: 6,50	9,14	1,30	247.833	321.391	X: -3,70; Y: 6,50	9,14
4,09	436.483	1.785.348	X: -3,70; Y: 6,50	13,14	3,78	436.483	1.647.996	X: -3,70; Y: 6,50	13,14
1,42	257.069	363.874	X: -4,20; Y: 6,50	9,45	1,42	257.069	363.945	X: -4,20; Y: 6,50	9,45
4,30	445.100	1.912.905	X: -4,20; Y: 6,50	13,45	3,95	445.100	1.758.039	X: -4,20; Y: 6,50	13,45
1,28	142.582	182.690	X: 0,30; Y: 7,00	7,90	1,29	142.582	183.236	X: 0,30; Y: 7,00	7,90
3,87	338.880	1.312.258	X: 0,30; Y: 7,00	11,90	3,68	338.880	1.248.212	X: 0,30; Y: 7,00	11,90
1,18	157.398	185.515	X: -0,20; Y: 7,00	8,01	1,19	157.398	187.619	X: -0,20; Y: 7,00	8,01
3,73	354.518	1.323.300	X: -0,20; Y: 7,00	12,01	3,55	354.518	1.258.047	X: -0,20; Y: 7,00	12,01
1,15	170.506	195.738	X: -0,70; Y: 7,00	8,15	1,17	170.506	198.785	X: -0,70; Y: 7,00	8,15
3,64	370.008	1.347.429	X: -0,70; Y: 7,00	12,15	3,46	370.008	1.278.920	X: -0,70; Y: 7,00	12,15
1,09	185.254	201.474	X: -1,20; Y: 7,00	8,33	1,11	185.254	206.208	X: -1,20; Y: 7,00	8,33
3,61	383.639	1.384.870	X: -1,20; Y: 7,00	12,33	3,42	383.639	1.311.064	X: -1,20; Y: 7,00	12,33
1,03	201.280	206.435	X: -1,70; Y: 7,00	8,52	1,06	201.280	213.366	X: -1,70; Y: 7,00	8,52
3,62	396.931	1.435.724	X: -1,70; Y: 7,00	12,52	3,41	396.931	1.354.598	X: -1,70; Y: 7,00	12,52
1,08	215.495	232.363	X: -2,20; Y: 7,00	8,74	1,11	215.495	238.714	X: -2,20; Y: 7,00	8,74
3,67	408.460	1.500.144	X: -2,20; Y: 7,00	12,74	3,45	408.460	1.409.759	X: -2,20; Y: 7,00	12,74
1,12	226.062	252.079	X: -2,70; Y: 7,00	8,99	1,15	226.062	258.899	X: -2,70; Y: 7,00	8,99
3,75	420.650	1.579.134	X: -2,70; Y: 7,00	12,99	3,51	420.650	1.477.632	X: -2,70; Y: 7,00	12,99
1,17	236.478	276.740	X: -3,20; Y: 7,00	9,25	1,20	236.478	284.485	X: -3,20; Y: 7,00	9,25
3,88	430.874	1.672.375	X: -3,20; Y: 7,00	13,25	3,62	430.874	1.557.925	X: -3,20; Y: 7,00	13,25
1,25	246.728	308.088	X: -3,70; Y: 7,00	9,54	1,27	246.728	314.444	X: -3,70; Y: 7,00	9,54
4,05	439.863	1.779.705	X: -3,70; Y: 7,00	13,54	3,75	439.863	1.650.671	X: -3,70; Y: 7,00	13,54
1,36	257.449	351.025	X: -4,20; Y: 7,00	9,84	1,37	257.449	353.655	X: -4,20; Y: 7,00	9,84
4,23	449.058	1.901.123	X: -4,20; Y: 7,00	13,84	3,91	449.058	1.755.888	X: -4,20; Y: 7,00	13,84
1,32	141.328	187.250	X: 0,30; Y: 7,50	8,39	1,33	141.328	187.845	X: 0,30; Y: 7,50	8,39

VERIFICHE DI STABILITA'

Bishop					Fellenius				
CS	FrzRblt	FrzRes	Centro	Raggio	CS	FrzRblt	FrzRes	Centro	Raggio
	[N]	[N]	[m]	[m]		[N]	[N]	[m]	[m]
3,90	342.787	1.336.651	X: 0,30; Y: 7,50	12,39	3,72	342.787	1.274.394	X: 0,30; Y: 7,50	12,39
1,17	155.510	181.231	X: -0,20; Y: 7,50	8,49	1,18	155.510	183.829	X: -0,20; Y: 7,50	8,49
3,76	357.792	1.346.175	X: -0,20; Y: 7,50	12,49	3,59	357.792	1.282.885	X: -0,20; Y: 7,50	12,49
1,18	168.130	198.401	X: -0,70; Y: 7,50	8,63	1,20	168.130	201.420	X: -0,70; Y: 7,50	8,63
3,67	372.627	1.368.365	X: -0,70; Y: 7,50	12,63	3,49	372.627	1.302.209	X: -0,70; Y: 7,50	12,63
1,12	182.151	203.494	X: -1,20; Y: 7,50	8,79	1,14	182.151	208.290	X: -1,20; Y: 7,50	8,79
3,63	386.081	1.402.778	X: -1,20; Y: 7,50	12,79	3,45	386.081	1.331.854	X: -1,20; Y: 7,50	12,79
1,06	196.352	208.934	X: -1,70; Y: 7,50	8,98	1,10	196.352	215.512	X: -1,70; Y: 7,50	8,98
3,64	398.507	1.450.342	X: -1,70; Y: 7,50	12,98	3,44	398.507	1.372.807	X: -1,70; Y: 7,50	12,98
1,08	212.029	228.924	X: -2,20; Y: 7,50	9,19	1,11	212.029	235.913	X: -2,20; Y: 7,50	9,19
3,67	411.703	1.511.180	X: -2,20; Y: 7,50	13,19	3,46	411.703	1.425.281	X: -2,20; Y: 7,50	13,19
1,11	226.278	250.182	X: -2,70; Y: 7,50	9,42	1,14	226.278	257.555	X: -2,70; Y: 7,50	9,42
3,75	422.930	1.585.846	X: -2,70; Y: 7,50	13,42	3,52	422.930	1.489.703	X: -2,70; Y: 7,50	13,42
1,15	236.961	273.086	X: -3,20; Y: 7,50	9,68	1,19	236.961	281.813	X: -3,20; Y: 7,50	9,68
3,87	432.577	1.673.897	X: -3,20; Y: 7,50	13,68	3,62	432.577	1.565.866	X: -3,20; Y: 7,50	13,68
1,22	247.031	300.729	X: -3,70; Y: 7,50	9,95	1,25	247.031	308.400	X: -3,70; Y: 7,50	9,95
4,02	442.024	1.775.980	X: -3,70; Y: 7,50	13,95	3,74	442.024	1.654.506	X: -3,70; Y: 7,50	13,95
1,32	257.799	340.080	X: -4,20; Y: 7,50	10,24	1,34	257.799	344.902	X: -4,20; Y: 7,50	10,24
4,19	451.711	1.891.767	X: -4,20; Y: 7,50	14,24	3,89	451.711	1.755.311	X: -4,20; Y: 7,50	14,24
1,37	140.035	191.535	X: 0,30; Y: 8,00	8,88	1,37	140.035	192.150	X: 0,30; Y: 8,00	8,88
3,92	347.213	1.361.033	X: 0,30; Y: 8,00	12,88	3,75	347.213	1.300.587	X: 0,30; Y: 8,00	12,88
1,21	153.605	185.327	X: -0,20; Y: 8,00	8,98	1,22	153.605	187.848	X: -0,20; Y: 8,00	8,98
3,78	361.843	1.368.810	X: -0,20; Y: 8,00	12,98	3,61	361.843	1.307.555	X: -0,20; Y: 8,00	12,98
1,20	167.114	200.315	X: -0,70; Y: 8,00	9,11	1,22	167.114	203.628	X: -0,70; Y: 8,00	9,11
3,71	374.740	1.388.758	X: -0,70; Y: 8,00	13,11	3,54	374.740	1.324.761	X: -0,70; Y: 8,00	13,11
1,15	179.465	205.824	X: -1,20; Y: 8,00	9,26	1,17	179.465	210.545	X: -1,20; Y: 8,00	9,26
3,66	388.386	1.421.179	X: -1,20; Y: 8,00	13,26	3,48	388.386	1.352.919	X: -1,20; Y: 8,00	13,26
1,09	193.044	210.724	X: -1,70; Y: 8,00	9,44	1,13	193.044	217.222	X: -1,70; Y: 8,00	9,44
3,65	401.632	1.465.517	X: -1,70; Y: 8,00	13,44	3,46	401.632	1.391.348	X: -1,70; Y: 8,00	13,44
1,10	206.999	227.682	X: -2,20; Y: 8,00	9,64	1,13	206.999	234.541	X: -2,20; Y: 8,00	9,64
3,68	413.670	1.523.255	X: -2,20; Y: 8,00	13,64	3,48	413.670	1.441.358	X: -2,20; Y: 8,00	13,64
1,11	222.560	247.561	X: -2,70; Y: 8,00	9,86	1,15	222.560	255.337	X: -2,70; Y: 8,00	9,86
3,76	424.427	1.593.781	X: -2,70; Y: 8,00	13,86	3,54	424.427	1.502.517	X: -2,70; Y: 8,00	13,86
1,13	236.795	266.801	X: -3,20; Y: 8,00	10,10	1,16	236.795	275.718	X: -3,20; Y: 8,00	10,10
3,86	434.991	1.677.545	X: -3,20; Y: 8,00	14,10	3,62	434.991	1.575.356	X: -3,20; Y: 8,00	14,10
1,20	246.870	295.070	X: -3,70; Y: 8,00	10,36	1,23	246.870	303.991	X: -3,70; Y: 8,00	10,36
3,99	444.737	1.774.664	X: -3,70; Y: 8,00	14,36	3,73	444.737	1.660.071	X: -3,70; Y: 8,00	14,36
1,29	256.348	330.483	X: -4,20; Y: 8,00	10,64	1,31	256.348	337.083	X: -4,20; Y: 8,00	10,64
4,14	454.808	1.885.170	X: -4,20; Y: 8,00	14,64	3,86	454.808	1.756.705	X: -4,20; Y: 8,00	14,64
1,41	138.974	195.808	X: 0,30; Y: 8,50	9,37	1,41	138.974	196.443	X: 0,30; Y: 8,50	9,37
3,95	350.401	1.385.097	X: 0,30; Y: 8,50	13,37	3,78	350.401	1.326.131	X: 0,30; Y: 8,50	13,37
1,25	152.051	189.373	X: -0,20; Y: 8,50	9,47	1,26	152.051	191.833	X: -0,20; Y: 8,50	9,47
3,82	364.533	1.391.711	X: -0,20; Y: 8,50	13,47	3,65	364.533	1.332.089	X: -0,20; Y: 8,50	13,47
1,22	165.077	201.466	X: -0,70; Y: 8,50	9,59	1,24	165.077	204.940	X: -0,70; Y: 8,50	9,59
3,73	378.047	1.409.745	X: -0,70; Y: 8,50	13,59	3,57	378.047	1.347.878	X: -0,70; Y: 8,50	13,59
1,18	176.831	207.906	X: -1,20; Y: 8,50	9,74	1,20	176.831	212.516	X: -1,20; Y: 8,50	9,74
3,68	390.851	1.439.449	X: -1,20; Y: 8,50	13,74	3,51	390.851	1.373.705	X: -1,20; Y: 8,50	13,74
1,12	189.945	212.521	X: -1,70; Y: 8,50	9,90	1,15	189.945	218.897	X: -1,70; Y: 8,50	9,90
3,67	403.540	1.481.640	X: -1,70; Y: 8,50	13,90	3,50	403.540	1.410.446	X: -1,70; Y: 8,50	13,90
1,07	203.494	218.337	X: -2,20; Y: 8,50	10,10	1,11	203.494	226.455	X: -2,20; Y: 8,50	10,10
3,70	415.028	1.535.725	X: -2,20; Y: 8,50	14,10	3,51	415.028	1.457.471	X: -2,20; Y: 8,50	14,10
1,12	218.621	245.849	X: -2,70; Y: 8,50	10,31	1,16	218.621	253.760	X: -2,70; Y: 8,50	10,31
3,76	426.443	1.602.683	X: -2,70; Y: 8,50	14,31	3,55	426.443	1.515.869	X: -2,70; Y: 8,50	14,31
1,13	232.892	263.632	X: -3,20; Y: 8,50	10,54	1,17	232.892	272.859	X: -3,20; Y: 8,50	10,54
3,85	437.026	1.682.448	X: -3,20; Y: 8,50	14,54	3,63	437.026	1.585.592	X: -3,20; Y: 8,50	14,54
1,18	246.578	290.228	X: -3,70; Y: 8,50	10,79	1,22	246.578	300.158	X: -3,70; Y: 8,50	10,79
3,97	446.546	1.774.904	X: -3,70; Y: 8,50	14,79	3,73	446.546	1.666.588	X: -3,70; Y: 8,50	14,79
1,26	255.956	322.162	X: -4,20; Y: 8,50	11,06	1,29	255.956	330.118	X: -4,20; Y: 8,50	11,06
4,11	457.013	1.880.509	X: -4,20; Y: 8,50	15,06	3,85	457.013	1.759.353	X: -4,20; Y: 8,50	15,06

Verifica 3

Approccio 1, Combinazione 2 Stato Limite di Resistenza del Terreno senza sisma

1,32	88.246	116.333	X: 0,30; Y: 4,00	4,99	1,29	88.246	113.566	X: 0,30; Y: 4,00	4,99
3,98	269.958	1.075.145	X: 0,30; Y: 4,00	8,99	3,69	269.958	996.133	X: 0,30; Y: 4,00	8,99
1,40	97.869	137.479	X: -0,20; Y: 4,00	5,17	1,38	97.869	134.724	X: -0,20; Y: 4,00	5,17
3,85	286.886	1.103.779	X: -0,20; Y: 4,00	9,17	3,56	286.886	1.021.442	X: -0,20; Y: 4,00	9,17
1,35	108.635	146.777	X: -0,70; Y: 4,00	5,39	1,33	108.635	144.945	X: -0,70; Y: 4,00	5,39
3,85	298.420	1.149.154	X: -0,70; Y: 4,00	9,39	3,55	298.420	1.060.124	X: -0,70; Y: 4,00	9,39
1,40	119.935	167.510	X: -1,20; Y: 4,00	5,65	1,38	119.935	165.554	X: -1,20; Y: 4,00	5,65
3,90	310.745	1.213.084	X: -1,20; Y: 4,00	9,65	3,58	310.745	1.114.011	X: -1,20; Y: 4,00	9,65
1,53	131.142	201.066	X: -1,70; Y: 4,00	5,93	1,51	131.142	198.350	X: -1,70; Y: 4,00	5,93
4,02	322.104	1.293.985	X: -1,70; Y: 4,00	9,93	3,67	322.104	1.182.015	X: -1,70; Y: 4,00	9,93
1,63	142.638	232.688	X: -2,20; Y: 4,00	6,25	1,60	142.638	228.835	X: -2,20; Y: 4,00	6,25
4,23	329.685	1.392.969	X: -2,20; Y: 4,00	10,25	3,84	329.685	1.265.137	X: -2,20; Y: 4,00	10,25
1,69	157.207	265.300	X: -2,70; Y: 4,00	6,59	1,66	157.207	260.851	X: -2,70; Y: 4,00	6,59
4,50	334.990	1.508.465	X: -2,70; Y: 4,00	10,59	4,07	334.990	1.362.484	X: -2,70; Y: 4,00	10,59
1,84	168.354	309.383	X: -3,20; Y: 4,00	6,94	1,79	168.354	301.302	X: -3,20; Y: 4,00	6,94
4,83	339.428	1.640.710	X: -3,20; Y: 4,00	10,94	4,34	339.428	1.474.375	X: -3,20; Y: 4,00	10,94
2,02	181.613	367.302	X: -3,70; Y: 4,00	7,32	1,94	181.613	352.415	X: -3,70; Y: 4,00	7,32
5,26	340.517	1.789.468	X: -3,70; Y: 4,00	11,32	4,70	340.517	1.600.951	X: -3,70; Y: 4,00	11,32
2,33	188.288	439.466	X: -4,20; Y: 4,00	7,70	2,20	188.288	415.139	X: -4,20; Y: 4,00	7,70
5,66	345.509	1.956.247	X: -4,20; Y: 4,00	11,70	5,05	345.509	1.743.251	X: -4,20; Y: 4,00	11,70
1,34	90.257	120.567	X: 0,30; Y: 4,50	5,47	1,31	90.257	118.081	X: 0,30; Y: 4,50	5,47
3,95	278.512	1.101.096	X: 0,30; Y: 4,50	9,47	3,68	278.512	1.024.778	X: 0,30; Y: 4,50	9,47

VERIFICHE DI STABILITA'

Bishop					Fellenius				
CS	FrzRblt	FrzRes	Centro	Raggio	CS	FrzRblt	FrzRes	Centro	Raggio
	[N]	[N]	[m]	[m]		[N]	[N]	[m]	[m]
1,39	100.840	140.255	X: -0,20; Y: 4,50	5,63	1,37	100.840	137.874	X: -0,20; Y: 4,50	5,63
3,83	294.228	1.126.070	X: -0,20; Y: 4,50	9,63	3,56	294.228	1.046.873	X: -0,20; Y: 4,50	9,63
1,34	109.968	147.842	X: -0,70; Y: 4,50	5,84	1,33	109.968	146.591	X: -0,70; Y: 4,50	5,84
3,82	305.618	1.166.590	X: -0,70; Y: 4,50	9,84	3,54	305.618	1.081.445	X: -0,70; Y: 4,50	9,84
1,29	122.520	158.521	X: -1,20; Y: 4,50	6,07	1,29	122.520	158.281	X: -1,20; Y: 4,50	6,07
3,86	317.656	1.224.810	X: -1,20; Y: 4,50	10,07	3,56	317.656	1.130.730	X: -1,20; Y: 4,50	10,07
1,48	133.375	197.057	X: -1,70; Y: 4,50	6,34	1,47	133.375	195.574	X: -1,70; Y: 4,50	6,34
3,95	328.755	1.299.707	X: -1,70; Y: 4,50	10,34	3,63	328.755	1.193.971	X: -1,70; Y: 4,50	10,34
1,55	144.706	224.441	X: -2,20; Y: 4,50	6,64	1,54	144.706	222.491	X: -2,20; Y: 4,50	6,64
4,13	336.647	1.391.596	X: -2,20; Y: 4,50	10,64	3,78	336.647	1.271.513	X: -2,20; Y: 4,50	10,64
1,60	158.970	254.969	X: -2,70; Y: 4,50	6,95	1,59	158.970	252.835	X: -2,70; Y: 4,50	6,95
4,38	342.689	1.499.612	X: -2,70; Y: 4,50	10,95	3,98	342.689	1.362.983	X: -2,70; Y: 4,50	10,95
1,73	170.709	294.871	X: -3,20; Y: 4,50	7,29	1,70	170.709	290.157	X: -3,20; Y: 4,50	7,29
4,67	348.138	1.624.162	X: -3,20; Y: 4,50	11,29	4,22	348.138	1.468.870	X: -3,20; Y: 4,50	11,29
1,93	180.264	347.292	X: -3,70; Y: 4,50	7,65	1,87	180.264	336.982	X: -3,70; Y: 4,50	7,65
5,03	350.654	1.764.979	X: -3,70; Y: 4,50	11,65	4,53	350.654	1.589.163	X: -3,70; Y: 4,50	11,65
2,18	189.571	413.043	X: -4,20; Y: 4,50	8,02	2,08	189.571	394.530	X: -4,20; Y: 4,50	8,02
5,45	352.676	1.921.667	X: -4,20; Y: 4,50	12,02	4,89	352.676	1.723.480	X: -4,20; Y: 4,50	12,02
1,35	93.123	125.328	X: 0,30; Y: 5,00	5,95	1,32	93.123	123.185	X: 0,30; Y: 5,00	5,95
3,94	286.172	1.126.977	X: 0,30; Y: 5,00	9,95	3,68	286.172	1.053.192	X: 0,30; Y: 5,00	9,95
1,38	102.198	140.749	X: -0,20; Y: 5,00	6,10	1,36	102.198	139.011	X: -0,20; Y: 5,00	6,10
3,82	300.883	1.148.405	X: -0,20; Y: 5,00	10,10	3,56	300.883	1.072.095	X: -0,20; Y: 5,00	10,10
1,34	112.165	149.915	X: -0,70; Y: 5,00	6,29	1,33	112.165	149.168	X: -0,70; Y: 5,00	6,29
3,80	312.177	1.185.243	X: -0,70; Y: 5,00	10,29	3,54	312.177	1.103.663	X: -0,70; Y: 5,00	10,29
1,28	124.101	159.244	X: -1,20; Y: 5,00	6,51	1,29	124.101	159.594	X: -1,20; Y: 5,00	6,51
3,81	324.895	1.238.335	X: -1,20; Y: 5,00	10,51	3,54	324.895	1.148.901	X: -1,20; Y: 5,00	10,51
1,42	133.600	189.645	X: -1,70; Y: 5,00	6,76	1,41	133.600	188.639	X: -1,70; Y: 5,00	6,76
3,91	334.483	1.307.894	X: -1,70; Y: 5,00	10,76	3,61	334.483	1.207.762	X: -1,70; Y: 5,00	10,76
1,51	144.679	218.073	X: -2,20; Y: 5,00	7,04	1,50	144.679	217.367	X: -2,20; Y: 5,00	7,04
4,09	340.441	1.392.698	X: -2,20; Y: 5,00	11,04	3,76	340.441	1.279.642	X: -2,20; Y: 5,00	11,04
1,57	156.660	246.552	X: -2,70; Y: 5,00	7,34	1,57	156.660	245.819	X: -2,70; Y: 5,00	7,34
4,31	346.959	1.493.876	X: -2,70; Y: 5,00	11,34	3,94	346.959	1.365.747	X: -2,70; Y: 5,00	11,34
1,66	170.129	281.611	X: -3,20; Y: 5,00	7,66	1,64	170.129	279.442	X: -3,20; Y: 5,00	7,66
4,57	352.934	1.611.211	X: -3,20; Y: 5,00	11,66	4,15	352.934	1.465.962	X: -3,20; Y: 5,00	11,66
1,83	179.993	329.798	X: -3,70; Y: 5,00	8,00	1,80	179.993	323.089	X: -3,70; Y: 5,00	8,00
4,90	356.222	1.744.297	X: -3,70; Y: 5,00	12,00	4,44	356.222	1.580.126	X: -3,70; Y: 5,00	12,00
2,04	191.408	390.507	X: -4,20; Y: 5,00	8,36	1,97	191.408	377.015	X: -4,20; Y: 5,00	8,36
5,23	362.000	1.893.931	X: -4,20; Y: 5,00	12,36	4,72	362.000	1.708.928	X: -4,20; Y: 5,00	12,36
1,33	97.376	129.433	X: 0,30; Y: 5,50	6,43	1,32	97.376	128.065	X: 0,30; Y: 5,50	6,43
3,93	293.400	1.152.254	X: 0,30; Y: 5,50	10,43	3,68	293.400	1.080.916	X: 0,30; Y: 5,50	10,43
1,37	104.252	143.346	X: -0,20; Y: 5,50	6,57	1,36	104.252	141.873	X: -0,20; Y: 5,50	6,57
3,81	307.139	1.171.097	X: -0,20; Y: 5,50	10,57	3,57	307.139	1.097.519	X: -0,20; Y: 5,50	10,57
1,34	113.698	152.007	X: -0,70; Y: 5,50	6,75	1,33	113.698	151.576	X: -0,70; Y: 5,50	6,75
3,77	319.211	1.204.319	X: -0,70; Y: 5,50	10,75	3,53	319.211	1.126.163	X: -0,70; Y: 5,50	10,75
1,28	124.520	159.983	X: -1,20; Y: 5,50	6,95	1,29	124.520	160.738	X: -1,20; Y: 5,50	6,95
3,80	330.115	1.253.497	X: -1,20; Y: 5,50	10,95	3,54	330.115	1.168.029	X: -1,20; Y: 5,50	10,95
1,37	134.569	184.672	X: -1,70; Y: 5,50	7,19	1,37	134.569	184.872	X: -1,70; Y: 5,50	7,19
3,90	338.138	1.317.547	X: -1,70; Y: 5,50	11,19	3,62	338.138	1.222.488	X: -1,70; Y: 5,50	11,19
1,47	145.346	213.590	X: -2,20; Y: 5,50	7,45	1,47	145.346	213.861	X: -2,20; Y: 5,50	7,45
4,04	346.297	1.397.347	X: -2,20; Y: 5,50	11,45	3,73	346.297	1.290.512	X: -2,20; Y: 5,50	11,45
1,53	155.955	238.649	X: -2,70; Y: 5,50	7,74	1,53	155.955	238.990	X: -2,70; Y: 5,50	7,74
4,22	353.221	1.492.216	X: -2,70; Y: 5,50	11,74	3,88	353.221	1.371.617	X: -2,70; Y: 5,50	11,74
1,60	169.250	270.325	X: -3,20; Y: 5,50	8,04	1,60	169.250	270.185	X: -3,20; Y: 5,50	8,04
4,46	359.749	1.602.935	X: -3,20; Y: 5,50	12,04	4,08	359.749	1.466.617	X: -3,20; Y: 5,50	12,04
1,74	180.542	314.869	X: -3,70; Y: 5,50	8,37	1,72	180.542	311.192	X: -3,70; Y: 5,50	8,37
4,75	363.922	1.729.000	X: -3,70; Y: 5,50	12,37	4,33	363.922	1.575.235	X: -3,70; Y: 5,50	12,37
1,95	189.583	370.561	X: -4,20; Y: 5,50	8,71	1,91	189.583	361.172	X: -4,20; Y: 5,50	8,71
5,08	367.991	1.870.266	X: -4,20; Y: 5,50	12,71	4,61	367.991	1.697.358	X: -4,20; Y: 5,50	12,71
1,35	99.119	133.831	X: 0,30; Y: 6,00	6,92	1,34	99.119	132.682	X: 0,30; Y: 6,00	6,92
3,92	300.766	1.177.633	X: 0,30; Y: 6,00	10,92	3,69	300.766	1.108.620	X: 0,30; Y: 6,00	10,92
1,38	105.840	145.722	X: -0,20; Y: 6,00	7,05	1,37	105.840	144.474	X: -0,20; Y: 6,00	7,05
3,81	313.666	1.194.203	X: -0,20; Y: 6,00	11,05	3,58	313.666	1.123.205	X: -0,20; Y: 6,00	11,05
1,34	114.404	153.425	X: -0,70; Y: 6,00	7,21	1,34	114.404	153.346	X: -0,70; Y: 6,00	7,21
3,78	324.363	1.224.502	X: -0,70; Y: 6,00	11,21	3,54	324.363	1.149.211	X: -0,70; Y: 6,00	11,21
1,29	125.366	161.235	X: -1,20; Y: 6,00	7,41	1,29	125.366	162.332	X: -1,20; Y: 6,00	7,41
3,80	333.638	1.269.435	X: -1,20; Y: 6,00	11,41	3,56	333.638	1.187.611	X: -1,20; Y: 6,00	11,41
1,33	134.476	178.737	X: -1,70; Y: 6,00	7,63	1,34	134.476	179.871	X: -1,70; Y: 6,00	7,63
3,87	343.143	1.329.224	X: -1,70; Y: 6,00	11,63	3,61	343.143	1.238.708	X: -1,70; Y: 6,00	11,63
1,42	144.906	205.652	X: -2,20; Y: 6,00	7,87	1,42	144.906	206.375	X: -2,20; Y: 6,00	7,87
4,00	351.372	1.403.745	X: -2,20; Y: 6,00	11,87	3,71	351.372	1.302.525	X: -2,20; Y: 6,00	11,87
1,49	156.039	232.936	X: -2,70; Y: 6,00	8,14	1,50	156.039	234.251	X: -2,70; Y: 6,00	8,14
4,15	359.515	1.492.854	X: -2,70; Y: 6,00	12,14	3,84	359.515	1.379.080	X: -2,70; Y: 6,00	12,14
1,56	167.611	261.855	X: -3,20; Y: 6,00	8,43	1,57	167.611	262.979	X: -3,20; Y: 6,00	8,43
4,37	365.427	1.597.634	X: -3,20; Y: 6,00	12,43	4,02	365.427	1.469.395	X: -3,20; Y: 6,00	12,43
1,68	179.551	301.185	X: -3,70; Y: 6,00	8,74	1,67	179.551	299.995	X: -3,70; Y: 6,00	8,74
4,64	370.246	1.717.167	X: -3,70; Y: 6,00	12,74	4,25	370.246	1.572.837	X: -3,70; Y: 6,00	12,74
1,87	188.808	353.018	X: -4,20; Y: 6,00	9,07	1,84	188.808	346.939	X: -4,20; Y: 6,00	9,07
4,94	375.165	1.851.578	X: -4,20; Y: 6,00	13,07	4,50	375.165	1.689.529	X: -4,20; Y: 6,00	13,07
1,37	100.243	137.799	X: 0,30; Y: 6,50	7,41	1,36	100.243	136.812	X: 0,30; Y: 6,50	7,41
3,92	306.505	1.203.000	X: 0,30; Y: 6,50	11,41	3,71	306.505	1.135.955	X: 0,30; Y: 6,50	11,41
1,34	108.365	145.093	X: -0,20; Y: 6,50	7,53	1,34	108.365	144.858	X: -0,20; Y: 6,50	7,53
3,83	317.733	1.216.864	X: -0,20; Y: 6,50	11,53	3,61	317.733	1.148.068	X: -0,20; Y: 6,50	11,53
1,35	115.415	155.482	X: -0,70; Y: 6,50	7,68	1,35	115.415	155.597	X: -0,70; Y: 6,50	7,68

VERIFICHE DI STABILITA'

Bishop					Fellenius				
CS	FrzRblt	FrzRes	Centro	Raggio	CS	FrzRblt	FrzRes	Centro	Raggio
	[N]	[N]	[m]	[m]		[N]	[N]	[m]	[m]
3,78	329.111	1.245.011	X: -0,70; Y: 6,50	11,68	3,56	329.111	1.172.393	X: -0,70; Y: 6,50	11,68
1,31	123.944	162.958	X: -1,20; Y: 6,50	7,86	1,32	123.944	163.899	X: -1,20; Y: 6,50	7,86
3,80	338.333	1.286.263	X: -1,20; Y: 6,50	11,86	3,57	338.333	1.207.743	X: -1,20; Y: 6,50	11,86
1,27	134.818	170.881	X: -1,70; Y: 6,50	8,07	1,29	134.818	173.277	X: -1,70; Y: 6,50	8,07
3,86	347.628	1.342.161	X: -1,70; Y: 6,50	12,07	3,61	347.628	1.255.780	X: -1,70; Y: 6,50	12,07
1,40	144.316	201.368	X: -2,20; Y: 6,50	8,31	1,41	144.316	202.895	X: -2,20; Y: 6,50	8,31
3,97	355.852	1.412.017	X: -2,20; Y: 6,50	12,31	3,70	355.852	1.315.895	X: -2,20; Y: 6,50	12,31
1,47	155.176	227.781	X: -2,70; Y: 6,50	8,56	1,48	155.176	230.004	X: -2,70; Y: 6,50	8,56
4,12	363.092	1.495.712	X: -2,70; Y: 6,50	12,56	3,82	363.092	1.388.104	X: -2,70; Y: 6,50	12,56
1,52	166.357	253.624	X: -3,20; Y: 6,50	8,84	1,54	166.357	255.883	X: -3,20; Y: 6,50	8,84
4,32	369.451	1.594.776	X: -3,20; Y: 6,50	12,84	3,99	369.451	1.473.885	X: -3,20; Y: 6,50	12,84
1,62	178.294	289.564	X: -3,70; Y: 6,50	9,14	1,63	178.294	290.178	X: -3,70; Y: 6,50	9,14
4,56	374.777	1.708.238	X: -3,70; Y: 6,50	13,14	4,20	374.777	1.572.505	X: -3,70; Y: 6,50	13,14
1,80	187.868	337.282	X: -4,20; Y: 6,50	9,45	1,78	187.868	333.955	X: -4,20; Y: 6,50	9,45
4,83	380.285	1.836.066	X: -4,20; Y: 6,50	13,45	4,43	380.285	1.683.938	X: -4,20; Y: 6,50	13,45
1,40	101.601	141.827	X: 0,30; Y: 7,00	7,90	1,39	101.601	141.060	X: 0,30; Y: 7,00	7,90
3,94	311.745	1.227.772	X: 0,30; Y: 7,00	11,90	3,73	311.745	1.162.587	X: 0,30; Y: 7,00	11,90
1,34	109.437	146.867	X: -0,20; Y: 7,00	8,01	1,34	109.437	146.825	X: -0,20; Y: 7,00	8,01
3,84	322.547	1.240.027	X: -0,20; Y: 7,00	12,01	3,64	322.547	1.173.312	X: -0,20; Y: 7,00	12,01
1,36	115.881	157.296	X: -0,70; Y: 7,00	8,15	1,36	115.881	157.545	X: -0,70; Y: 7,00	8,15
3,80	333.398	1.265.339	X: -0,70; Y: 7,00	12,15	3,58	333.398	1.195.185	X: -0,70; Y: 7,00	12,15
1,32	124.474	164.388	X: -1,20; Y: 7,00	8,33	1,33	124.474	165.633	X: -1,20; Y: 7,00	8,33
3,81	342.607	1.303.876	X: -1,20; Y: 7,00	12,33	3,59	342.607	1.228.417	X: -1,20; Y: 7,00	12,33
1,27	134.583	171.307	X: -1,70; Y: 7,00	8,52	1,29	134.583	173.961	X: -1,70; Y: 7,00	8,52
3,85	351.707	1.355.718	X: -1,70; Y: 7,00	12,52	3,62	351.707	1.273.111	X: -1,70; Y: 7,00	12,52
1,38	144.178	198.573	X: -2,20; Y: 7,00	8,74	1,39	144.178	200.542	X: -2,20; Y: 7,00	8,74
3,96	359.218	1.421.003	X: -2,20; Y: 7,00	12,74	3,70	359.218	1.329.517	X: -2,20; Y: 7,00	12,74
1,43	154.632	220.425	X: -2,70; Y: 7,00	8,99	1,44	154.632	222.799	X: -2,70; Y: 7,00	8,99
4,08	367.602	1.500.720	X: -2,70; Y: 7,00	12,99	3,80	367.602	1.398.684	X: -2,70; Y: 7,00	12,99
1,50	165.101	247.201	X: -3,20; Y: 7,00	9,25	1,52	165.101	250.364	X: -3,20; Y: 7,00	9,25
4,26	374.243	1.594.545	X: -3,20; Y: 7,00	13,25	3,96	374.243	1.480.291	X: -3,20; Y: 7,00	13,25
1,59	175.605	279.762	X: -3,70; Y: 7,00	9,54	1,60	175.605	281.729	X: -3,70; Y: 7,00	9,54
4,48	379.991	1.702.289	X: -3,70; Y: 7,00	13,54	4,14	379.991	1.574.327	X: -3,70; Y: 7,00	13,54
1,73	186.616	323.141	X: -4,20; Y: 7,00	9,84	1,73	186.616	322.159	X: -4,20; Y: 7,00	9,84
4,72	386.066	1.824.026	X: -4,20; Y: 7,00	13,84	4,35	386.066	1.680.885	X: -4,20; Y: 7,00	13,84
1,42	102.729	145.757	X: 0,30; Y: 7,50	8,39	1,41	102.729	145.133	X: 0,30; Y: 7,50	8,39
3,95	316.735	1.251.901	X: 0,30; Y: 7,50	12,39	3,75	316.735	1.188.527	X: 0,30; Y: 7,50	12,39
1,29	110.276	141.819	X: -0,20; Y: 7,50	8,49	1,29	110.276	142.385	X: -0,20; Y: 7,50	8,49
3,86	327.102	1.262.576	X: -0,20; Y: 7,50	12,49	3,66	327.102	1.197.831	X: -0,20; Y: 7,50	12,49
1,37	116.572	159.317	X: -0,70; Y: 7,50	8,63	1,37	116.572	159.704	X: -0,70; Y: 7,50	8,63
3,81	337.445	1.285.901	X: -0,70; Y: 7,50	12,63	3,61	337.445	1.218.079	X: -0,70; Y: 7,50	12,63
1,33	124.585	165.515	X: -1,20; Y: 7,50	8,79	1,34	124.585	167.011	X: -1,20; Y: 7,50	8,79
3,81	346.575	1.321.388	X: -1,20; Y: 7,50	12,79	3,60	346.575	1.248.746	X: -1,20; Y: 7,50	12,79
1,30	133.212	172.633	X: -1,70; Y: 7,50	8,98	1,31	133.212	175.157	X: -1,70; Y: 7,50	8,98
3,86	354.859	1.369.934	X: -1,70; Y: 7,50	12,98	3,64	354.859	1.290.805	X: -1,70; Y: 7,50	12,98
1,35	143.545	194.035	X: -2,20; Y: 7,50	9,19	1,37	143.545	196.721	X: -2,20; Y: 7,50	9,19
3,93	364.107	1.431.644	X: -2,20; Y: 7,50	13,19	3,69	364.107	1.344.451	X: -2,20; Y: 7,50	13,19
1,41	153.596	216.725	X: -2,70; Y: 7,50	9,42	1,43	153.596	219.548	X: -2,70; Y: 7,50	9,42
4,06	371.585	1.507.053	X: -2,70; Y: 7,50	13,42	3,79	371.585	1.410.092	X: -2,70; Y: 7,50	13,42
1,47	164.282	241.885	X: -3,20; Y: 7,50	9,68	1,50	164.282	245.819	X: -3,20; Y: 7,50	9,68
4,22	377.706	1.595.703	X: -3,20; Y: 7,50	13,68	3,94	377.706	1.487.499	X: -3,20; Y: 7,50	13,68
1,55	174.567	271.130	X: -3,70; Y: 7,50	9,95	1,57	174.567	274.234	X: -3,70; Y: 7,50	9,95
4,42	383.916	1.698.241	X: -3,70; Y: 7,50	13,95	4,11	383.916	1.577.377	X: -3,70; Y: 7,50	13,95
1,68	185.611	311.048	X: -4,20; Y: 7,50	10,24	1,68	185.611	311.859	X: -4,20; Y: 7,50	10,24
4,65	390.483	1.814.392	X: -4,20; Y: 7,50	14,24	4,30	390.483	1.679.471	X: -4,20; Y: 7,50	14,24
1,44	103.559	149.481	X: 0,30; Y: 8,00	8,88	1,44	103.559	148.968	X: 0,30; Y: 8,00	8,88
3,96	322.118	1.276.051	X: 0,30; Y: 8,00	12,88	3,77	322.118	1.214.515	X: 0,30; Y: 8,00	12,88
1,31	110.810	145.218	X: -0,20; Y: 8,00	8,98	1,32	110.810	145.862	X: -0,20; Y: 8,00	8,98
3,87	332.267	1.284.929	X: -0,20; Y: 8,00	12,98	3,68	332.267	1.222.240	X: -0,20; Y: 8,00	12,98
1,36	118.265	160.729	X: -0,70; Y: 8,00	9,11	1,37	118.265	161.575	X: -0,70; Y: 8,00	9,11
3,83	340.813	1.305.965	X: -0,70; Y: 8,00	13,11	3,64	340.813	1.240.306	X: -0,70; Y: 8,00	13,11
1,34	124.863	167.091	X: -1,20; Y: 8,00	9,26	1,35	124.863	168.716	X: -1,20; Y: 8,00	9,26
3,82	350.254	1.339.432	X: -1,20; Y: 8,00	13,26	3,62	350.254	1.269.419	X: -1,20; Y: 8,00	13,26
1,30	132.989	173.475	X: -1,70; Y: 8,00	9,44	1,32	132.989	176.152	X: -1,70; Y: 8,00	9,44
3,85	359.459	1.384.733	X: -1,70; Y: 8,00	13,44	3,64	359.459	1.308.882	X: -1,70; Y: 8,00	13,44
1,35	141.868	191.742	X: -2,20; Y: 8,00	9,64	1,37	141.868	194.436	X: -2,20; Y: 8,00	9,64
3,93	367.630	1.443.337	X: -2,20; Y: 8,00	13,64	3,70	367.630	1.359.992	X: -2,20; Y: 8,00	13,64
1,40	152.566	213.073	X: -2,70; Y: 8,00	9,86	1,42	152.566	216.362	X: -2,70; Y: 8,00	9,86
4,04	374.700	1.514.612	X: -2,70; Y: 8,00	13,86	3,80	374.700	1.422.302	X: -2,70; Y: 8,00	13,86
1,44	162.955	233.908	X: -3,20; Y: 8,00	10,10	1,46	162.955	237.895	X: -3,20; Y: 8,00	10,10
4,19	381.802	1.598.997	X: -3,20; Y: 8,00	14,10	3,92	381.802	1.496.319	X: -3,20; Y: 8,00	14,10
1,52	173.152	263.996	X: -3,70; Y: 8,00	10,36	1,55	173.152	268.085	X: -3,70; Y: 8,00	10,36
4,37	388.326	1.696.607	X: -3,70; Y: 8,00	14,36	4,07	388.326	1.582.218	X: -3,70; Y: 8,00	14,36
1,64	182.883	300.478	X: -4,20; Y: 8,00	10,64	1,65	182.883	302.657	X: -4,20; Y: 8,00	10,64
4,57	395.282	1.807.515	X: -4,20; Y: 8,00	14,64	4,25	395.282	1.680.092	X: -4,20; Y: 8,00	14,64
1,47	104.423	153.246	X: 0,30; Y: 8,50	9,37	1,46	104.423	152.841	X: 0,30; Y: 8,50	9,37
3,99	326.195	1.299.900	X: 0,30; Y: 8,50	13,37	3,80	326.195	1.239.868	X: 0,30; Y: 8,50	13,37
1,33	111.453	148.656	X: -0,20; Y: 8,50	9,47	1,34	111.453	149.382	X: -0,20; Y: 8,50	9,47
3,89	335.995	1.307.565	X: -0,20; Y: 8,50	13,47	3,71	335.995	1.246.535	X: -0,20; Y: 8,50	13,47
1,36	118.678	161.428	X: -0,70; Y: 8,50	9,59	1,37	118.678	162.638	X: -0,70; Y: 8,50	9,59
3,84	345.290	1.326.647	X: -0,70; Y: 8,50	13,59	3,66	345.290	1.263.128	X: -0,70; Y: 8,50	13,59
1,35	124.889	168.561	X: -1,20; Y: 8,50	9,74	1,36	124.889	170.273	X: -1,20; Y: 8,50	9,74
3,83	354.008	1.357.360	X: -1,20; Y: 8,50	13,74	3,64	354.008	1.289.847	X: -1,20; Y: 8,50	13,74

VERIFICHE DI STABILITA'

Bishop					Fellenius				
CS	FrzRblt	FrzRes	Centro	Raggio	CS	FrzRblt	FrzRes	Centro	Raggio
	[N]	[N]	[m]	[m]		[N]	[N]	[m]	[m]
1,31	132.720	174.448	X: -1,70; Y: 8,50	9,90	1,34	132.720	177.230	X: -1,70; Y: 8,50	9,90
3,86	362.756	1.400.498	X: -1,70; Y: 8,50	13,90	3,66	362.756	1.327.558	X: -1,70; Y: 8,50	13,90
1,29	141.312	181.809	X: -2,20; Y: 8,50	10,10	1,31	141.312	185.638	X: -2,20; Y: 8,50	10,10
3,93	370.460	1.455.438	X: -2,20; Y: 8,50	14,10	3,71	370.460	1.375.618	X: -2,20; Y: 8,50	14,10
1,39	151.791	210.350	X: -2,70; Y: 8,50	10,31	1,41	151.791	213.910	X: -2,70; Y: 8,50	10,31
4,03	378.253	1.523.155	X: -2,70; Y: 8,50	14,31	3,79	378.253	1.435.103	X: -2,70; Y: 8,50	14,31
1,42	161.609	229.701	X: -3,20; Y: 8,50	10,54	1,45	161.609	234.094	X: -3,20; Y: 8,50	10,54
4,16	385.443	1.603.554	X: -3,20; Y: 8,50	14,54	3,91	385.443	1.505.940	X: -3,20; Y: 8,50	14,54
1,50	171.745	257.635	X: -3,70; Y: 8,50	10,79	1,53	171.745	262.516	X: -3,70; Y: 8,50	10,79
4,33	391.762	1.696.524	X: -3,70; Y: 8,50	14,79	4,05	391.762	1.588.069	X: -3,70; Y: 8,50	14,79
1,60	181.337	290.944	X: -4,20; Y: 8,50	11,06	1,62	181.337	294.292	X: -4,20; Y: 8,50	11,06
4,52	399.124	1.802.565	X: -4,20; Y: 8,50	15,06	4,21	399.124	1.682.024	X: -4,20; Y: 8,50	15,06

Verifica 4

Approccio 1, Combinazione 2 Stato Limite di Resistenza del Terreno senza sisma

1,04	143.474	148.524	X: 0,30; Y: 4,00	4,99	1,03	143.474	147.597	X: 0,30; Y: 4,00	4,99
3,78	305.904	1.157.506	X: 0,30; Y: 4,00	8,99	3,53	305.904	1.079.317	X: 0,30; Y: 4,00	8,99
1,09	154.814	168.875	X: -0,20; Y: 4,00	5,17	1,09	154.814	168.364	X: -0,20; Y: 4,00	5,17
3,60	328.805	1.184.516	X: -0,20; Y: 4,00	9,17	3,35	328.805	1.103.139	X: -0,20; Y: 4,00	9,17
1,05	166.474	175.367	X: -0,70; Y: 4,00	5,39	1,06	166.474	176.441	X: -0,70; Y: 4,00	5,39
3,55	345.883	1.228.471	X: -0,70; Y: 4,00	9,39	3,30	345.883	1.140.221	X: -0,70; Y: 4,00	9,39
1,08	178.668	193.771	X: -1,20; Y: 4,00	5,65	1,09	178.668	194.813	X: -1,20; Y: 4,00	5,65
3,56	363.176	1.291.242	X: -1,20; Y: 4,00	9,65	3,28	363.176	1.192.469	X: -1,20; Y: 4,00	9,65
1,19	190.136	225.394	X: -1,70; Y: 4,00	5,93	1,19	190.136	225.555	X: -1,70; Y: 4,00	5,93
3,62	379.164	1.371.219	X: -1,70; Y: 4,00	9,93	3,32	379.164	1.258.755	X: -1,70; Y: 4,00	9,93
1,27	201.470	256.311	X: -2,20; Y: 4,00	6,25	1,27	201.470	255.098	X: -2,20; Y: 4,00	6,25
3,76	391.029	1.469.537	X: -2,20; Y: 4,00	10,25	3,43	391.029	1.340.140	X: -2,20; Y: 4,00	10,25
1,33	215.860	287.569	X: -2,70; Y: 4,00	6,59	1,32	215.860	285.924	X: -2,70; Y: 4,00	6,59
3,96	400.016	1.584.668	X: -2,70; Y: 4,00	10,59	3,59	400.016	1.435.868	X: -2,70; Y: 4,00	10,59
1,46	226.688	331.065	X: -3,20; Y: 4,00	6,94	1,43	226.688	325.234	X: -3,20; Y: 4,00	6,94
4,21	408.004	1.716.666	X: -3,20; Y: 4,00	10,94	3,79	408.004	1.546.038	X: -3,20; Y: 4,00	10,94
1,63	239.182	389.027	X: -3,70; Y: 4,00	7,32	1,57	239.182	375.312	X: -3,70; Y: 4,00	7,32
4,53	412.134	1.865.410	X: -3,70; Y: 4,00	11,32	4,05	412.134	1.671.075	X: -3,70; Y: 4,00	11,32
1,88	245.396	461.540	X: -4,20; Y: 4,00	7,70	1,78	245.396	436.990	X: -4,20; Y: 4,00	7,70
4,84	420.046	2.032.190	X: -4,20; Y: 4,00	11,70	4,31	420.046	1.811.760	X: -4,20; Y: 4,00	11,70
1,05	148.725	155.445	X: 0,30; Y: 4,50	5,47	1,04	148.725	154.806	X: 0,30; Y: 4,50	5,47
3,79	312.712	1.183.868	X: 0,30; Y: 4,50	9,47	3,54	312.712	1.108.529	X: 0,30; Y: 4,50	9,47
1,08	160.610	174.028	X: -0,20; Y: 4,50	5,63	1,08	160.610	173.916	X: -0,20; Y: 4,50	5,63
3,61	334.147	1.207.306	X: -0,20; Y: 4,50	9,63	3,38	334.147	1.129.274	X: -0,20; Y: 4,50	9,63
1,05	170.919	178.641	X: -0,70; Y: 4,50	5,84	1,06	170.919	180.458	X: -0,70; Y: 4,50	5,84
3,55	350.860	1.246.456	X: -0,70; Y: 4,50	9,84	3,31	350.860	1.162.383	X: -0,70; Y: 4,50	9,84
1,01	183.989	186.680	X: -1,20; Y: 4,50	6,07	1,03	183.989	190.008	X: -1,20; Y: 4,50	6,07
3,54	367.840	1.303.488	X: -1,20; Y: 4,50	10,07	3,29	367.840	1.210.126	X: -1,20; Y: 4,50	10,07
1,15	195.133	223.609	X: -1,70; Y: 4,50	6,34	1,15	195.133	225.212	X: -1,70; Y: 4,50	6,34
3,59	383.597	1.377.404	X: -1,70; Y: 4,50	10,34	3,32	383.597	1.271.719	X: -1,70; Y: 4,50	10,34
1,21	206.386	249.297	X: -2,20; Y: 4,50	6,64	1,21	206.386	250.506	X: -2,20; Y: 4,50	6,64
3,71	395.741	1.468.569	X: -2,20; Y: 4,50	10,64	3,41	395.741	1.347.624	X: -2,20; Y: 4,50	10,64
1,26	220.424	278.581	X: -2,70; Y: 4,50	6,95	1,27	220.424	279.815	X: -2,70; Y: 4,50	6,95
3,89	405.534	1.576.124	X: -2,70; Y: 4,50	10,95	3,54	405.534	1.437.514	X: -2,70; Y: 4,50	10,95
1,37	231.889	317.743	X: -3,20; Y: 4,50	7,29	1,36	231.889	315.964	X: -3,20; Y: 4,50	7,29
4,10	414.584	1.700.346	X: -3,20; Y: 4,50	11,29	3,72	414.584	1.541.737	X: -3,20; Y: 4,50	11,29
1,54	240.939	370.008	X: -3,70; Y: 4,50	7,65	1,50	240.939	361.613	X: -3,70; Y: 4,50	7,65
4,38	420.230	1.841.057	X: -3,70; Y: 4,50	11,65	3,95	420.230	1.660.506	X: -3,70; Y: 4,50	11,65
1,74	249.848	435.890	X: -4,20; Y: 4,50	8,02	1,67	249.848	417.945	X: -4,20; Y: 4,50	8,02
4,70	425.231	1.997.718	X: -4,20; Y: 4,50	12,02	4,22	425.231	1.793.246	X: -4,20; Y: 4,50	12,02
1,10	147.816	162.047	X: 0,30; Y: 5,00	5,95	1,09	147.816	161.581	X: 0,30; Y: 5,00	5,95
3,80	318.622	1.210.169	X: 0,30; Y: 5,00	9,95	3,57	318.622	1.137.449	X: 0,30; Y: 5,00	9,95
1,07	164.575	176.651	X: -0,20; Y: 5,00	6,10	1,08	164.575	177.205	X: -0,20; Y: 5,00	6,10
3,63	338.869	1.230.132	X: -0,20; Y: 5,00	10,10	3,41	338.869	1.155.121	X: -0,20; Y: 5,00	10,10
1,04	175.420	183.009	X: -0,70; Y: 5,00	6,29	1,06	175.420	185.448	X: -0,70; Y: 5,00	6,29
3,56	355.380	1.265.620	X: -0,70; Y: 5,00	10,29	3,34	355.380	1.185.331	X: -0,70; Y: 5,00	10,29
1,01	187.947	189.541	X: -1,20; Y: 5,00	6,51	1,03	187.947	193.669	X: -1,20; Y: 5,00	6,51
3,53	373.032	1.317.501	X: -1,20; Y: 5,00	10,51	3,29	373.032	1.229.093	X: -1,20; Y: 5,00	10,51
1,10	197.945	218.344	X: -1,70; Y: 5,00	6,76	1,11	197.945	220.537	X: -1,70; Y: 5,00	6,76
3,58	387.216	1.386.061	X: -1,70; Y: 5,00	10,76	3,32	387.216	1.286.420	X: -1,70; Y: 5,00	10,76
1,17	209.033	244.653	X: -2,20; Y: 5,00	7,04	1,18	209.033	247.212	X: -2,20; Y: 5,00	7,04
3,70	397.356	1.470.124	X: -2,20; Y: 5,00	11,04	3,41	397.356	1.356.761	X: -2,20; Y: 5,00	11,04
1,23	220.790	271.763	X: -2,70; Y: 5,00	7,34	1,24	220.790	274.511	X: -2,70; Y: 5,00	7,34
3,85	407.684	1.570.755	X: -2,70; Y: 5,00	11,34	3,54	407.684	1.441.329	X: -2,70; Y: 5,00	11,34
1,31	234.000	305.583	X: -3,20; Y: 5,00	7,66	1,31	234.000	306.914	X: -3,20; Y: 5,00	7,66
4,04	417.288	1.687.695	X: -3,20; Y: 5,00	11,66	3,69	417.288	1.539.949	X: -3,20; Y: 5,00	11,66
1,45	243.414	353.565	X: -3,70; Y: 5,00	8,00	1,44	243.414	349.412	X: -3,70; Y: 5,00	8,00
4,30	423.770	1.820.596	X: -3,70; Y: 5,00	12,00	3,90	423.770	1.652.620	X: -3,70; Y: 5,00	12,00
1,63	254.181	414.330	X: -4,20; Y: 5,00	8,36	1,58	254.181	402.225	X: -4,20; Y: 5,00	8,36
4,55	432.573	1.970.113	X: -4,20; Y: 5,00	12,36	4,11	432.573	1.779.886	X: -4,20; Y: 5,00	12,36
1,14	147.671	167.625	X: 0,30; Y: 5,50	6,43	1,14	147.671	167.865	X: 0,30; Y: 5,50	6,43
3,81	324.342	1.235.806	X: 0,30; Y: 5,50	10,43	3,59	324.342	1.165.585	X: 0,30; Y: 5,50	10,43
1,11	162.982	180.293	X: -0,20; Y: 5,50	6,57	1,11	162.982	181.160	X: -0,20; Y: 5,50	6,57
3,65	343.439	1.253.248	X: -0,20; Y: 5,50	10,57	3,44	343.439	1.181.054	X: -0,20; Y: 5,50	10,57
1,05	178.946	187.316	X: -0,70; Y: 5,50	6,75	1,06	178.946	190.133	X: -0,70; Y: 5,50	6,75
3,56	360.611	1.285.155	X: -0,70; Y: 5,50	10,75	3,35	360.611	1.208.433	X: -0,70; Y: 5,50	10,75
1,01	190.515	192.390	X: -1,20; Y: 5,50	6,95	1,03	190.515	197.032	X: -1,20; Y: 5,50	6,95
3,54	376.331	1.333.146	X: -1,20; Y: 5,50	10,95	3,32	376.331	1.248.935	X: -1,20; Y: 5,50	10,95
1,07	200.910	215.097	X: -1,70; Y: 5,50	7,19	1,09	200.910	219.023	X: -1,70; Y: 5,50	7,19

VERIFICHE DI STABILITA'

Bishop					Fellenius				
CS	FrzRblt	FrzRes	Centro	Raggio	CS	FrzRblt	FrzRes	Centro	Raggio
	[N]	[N]	[m]	[m]		[N]	[N]	[m]	[m]
3,59	388.874	1.396.195	X: -1,70; Y: 5,50	11,19	3,35	388.874	1.301.964	X: -1,70; Y: 5,50	11,19
1,14	211.825	242.031	X: -2,20; Y: 5,50	7,45	1,16	211.825	245.898	X: -2,20; Y: 5,50	7,45
3,68	401.128	1.475.208	X: -2,20; Y: 5,50	11,45	3,41	401.128	1.368.545	X: -2,20; Y: 5,50	11,45
1,19	222.403	265.192	X: -2,70; Y: 5,50	7,74	1,21	222.403	269.246	X: -2,70; Y: 5,50	7,74
3,81	411.900	1.569.462	X: -2,70; Y: 5,50	11,74	3,52	411.900	1.448.161	X: -2,70; Y: 5,50	11,74
1,26	235.432	295.822	X: -3,20; Y: 5,50	8,04	1,27	235.432	299.347	X: -3,20; Y: 5,50	8,04
3,98	422.067	1.679.728	X: -3,20; Y: 5,50	12,04	3,65	422.067	1.541.636	X: -3,20; Y: 5,50	12,04
1,38	246.230	339.737	X: -3,70; Y: 5,50	8,37	1,38	246.230	339.229	X: -3,70; Y: 5,50	8,37
4,20	429.473	1.805.535	X: -3,70; Y: 5,50	12,37	3,84	429.473	1.648.805	X: -3,70; Y: 5,50	12,37
1,55	254.740	395.327	X: -4,20; Y: 5,50	8,71	1,52	254.740	388.013	X: -4,20; Y: 5,50	8,71
4,46	436.606	1.946.645	X: -4,20; Y: 5,50	12,71	4,05	436.606	1.769.437	X: -4,20; Y: 5,50	12,71
1,19	145.852	173.113	X: 0,30; Y: 6,00	6,92	1,19	145.852	173.478	X: 0,30; Y: 6,00	6,92
3,82	330.384	1.261.511	X: 0,30; Y: 6,00	10,92	3,61	330.384	1.193.638	X: 0,30; Y: 6,00	10,92
1,14	160.357	183.601	X: -0,20; Y: 6,00	7,05	1,15	160.357	184.600	X: -0,20; Y: 6,00	7,05
3,66	348.448	1.276.746	X: -0,20; Y: 6,00	11,05	3,46	348.448	1.207.181	X: -0,20; Y: 6,00	11,05
1,08	176.352	189.995	X: -0,70; Y: 6,00	7,21	1,09	176.352	193.055	X: -0,70; Y: 6,00	7,21
3,59	364.086	1.305.775	X: -0,70; Y: 6,00	11,21	3,38	364.086	1.232.022	X: -0,70; Y: 6,00	11,21
1,01	193.064	195.743	X: -1,20; Y: 6,00	7,41	1,04	193.064	200.805	X: -1,20; Y: 6,00	7,41
3,57	378.056	1.349.552	X: -1,20; Y: 6,00	11,41	3,36	378.056	1.269.156	X: -1,20; Y: 6,00	11,41
1,04	202.676	210.841	X: -1,70; Y: 6,00	7,63	1,07	202.676	216.125	X: -1,70; Y: 6,00	7,63
3,59	391.933	1.408.342	X: -1,70; Y: 6,00	11,63	3,37	391.933	1.318.927	X: -1,70; Y: 6,00	11,63
1,11	213.284	235.831	X: -2,20; Y: 6,00	7,87	1,13	213.284	240.515	X: -2,20; Y: 6,00	7,87
3,67	404.218	1.482.046	X: -2,20; Y: 6,00	11,87	3,42	404.218	1.381.383	X: -2,20; Y: 6,00	11,87
1,16	224.326	261.016	X: -2,70; Y: 6,00	8,14	1,19	224.326	266.388	X: -2,70; Y: 6,00	8,14
3,77	416.230	1.570.484	X: -2,70; Y: 6,00	12,14	3,50	416.230	1.456.502	X: -2,70; Y: 6,00	12,14
1,22	235.655	288.548	X: -3,20; Y: 6,00	8,43	1,25	235.655	293.815	X: -3,20; Y: 6,00	8,43
3,93	425.776	1.674.759	X: -3,20; Y: 6,00	12,43	3,63	425.776	1.545.362	X: -3,20; Y: 6,00	12,43
1,32	247.310	327.180	X: -3,70; Y: 6,00	8,74	1,33	247.310	329.602	X: -3,70; Y: 6,00	8,74
4,14	433.846	1.793.975	X: -3,70; Y: 6,00	12,74	3,80	433.846	1.647.405	X: -3,70; Y: 6,00	12,74
1,48	256.099	378.792	X: -4,20; Y: 6,00	9,07	1,47	256.099	375.389	X: -4,20; Y: 6,00	9,07
4,36	441.857	1.928.167	X: -4,20; Y: 6,00	13,07	3,99	441.857	1.762.655	X: -4,20; Y: 6,00	13,07
1,24	143.914	177.940	X: 0,30; Y: 6,50	7,41	1,24	143.914	178.365	X: 0,30; Y: 6,50	7,41
3,84	334.877	1.287.185	X: 0,30; Y: 6,50	11,41	3,65	334.877	1.221.293	X: 0,30; Y: 6,50	11,41
1,15	159.482	183.324	X: -0,20; Y: 6,50	7,53	1,16	159.482	185.319	X: -0,20; Y: 6,50	7,53
3,70	351.105	1.299.777	X: -0,20; Y: 6,50	11,53	3,51	351.105	1.232.443	X: -0,20; Y: 6,50	11,53
1,11	173.366	193.153	X: -0,70; Y: 6,50	7,68	1,13	173.366	196.246	X: -0,70; Y: 6,50	7,68
3,61	367.259	1.326.697	X: -0,70; Y: 6,50	11,68	3,42	367.259	1.255.688	X: -0,70; Y: 6,50	11,68
1,05	188.498	198.760	X: -1,20; Y: 6,50	7,86	1,08	188.498	203.493	X: -1,20; Y: 6,50	7,86
3,59	381.012	1.366.828	X: -1,20; Y: 6,50	11,86	3,39	381.012	1.289.868	X: -1,20; Y: 6,50	11,86
1,00	204.501	204.724	X: -1,70; Y: 6,50	8,07	1,03	204.501	211.610	X: -1,70; Y: 6,50	8,07
3,60	394.580	1.421.733	X: -1,70; Y: 6,50	12,07	3,39	394.580	1.336.667	X: -1,70; Y: 6,50	12,07
1,09	214.322	233.313	X: -2,20; Y: 6,50	8,31	1,12	214.322	239.083	X: -2,20; Y: 6,50	8,31
3,66	406.834	1.490.745	X: -2,20; Y: 6,50	12,31	3,43	406.834	1.395.487	X: -2,20; Y: 6,50	12,31
1,14	225.202	257.549	X: -2,70; Y: 6,50	8,56	1,17	225.202	264.127	X: -2,70; Y: 6,50	8,56
3,77	417.930	1.573.740	X: -2,70; Y: 6,50	12,56	3,51	417.930	1.466.325	X: -2,70; Y: 6,50	12,56
1,19	236.172	281.535	X: -3,20; Y: 6,50	8,84	1,22	236.172	288.216	X: -3,20; Y: 6,50	8,84
3,91	427.903	1.672.256	X: -3,20; Y: 6,50	12,84	3,62	427.903	1.550.723	X: -3,20; Y: 6,50	12,84
1,28	247.833	316.817	X: -3,70; Y: 6,50	9,14	1,30	247.833	321.391	X: -3,70; Y: 6,50	9,14
4,09	436.483	1.785.348	X: -3,70; Y: 6,50	13,14	3,78	436.483	1.647.996	X: -3,70; Y: 6,50	13,14
1,42	257.069	363.874	X: -4,20; Y: 6,50	9,45	1,42	257.069	363.945	X: -4,20; Y: 6,50	9,45
4,30	445.100	1.912.905	X: -4,20; Y: 6,50	13,45	3,95	445.100	1.758.039	X: -4,20; Y: 6,50	13,45
1,28	142.582	182.690	X: 0,30; Y: 7,00	7,90	1,29	142.582	183.236	X: 0,30; Y: 7,00	7,90
3,87	338.880	1.312.258	X: 0,30; Y: 7,00	11,90	3,68	338.880	1.248.212	X: 0,30; Y: 7,00	11,90
1,18	157.398	185.515	X: -0,20; Y: 7,00	8,01	1,19	157.398	187.619	X: -0,20; Y: 7,00	8,01
3,73	354.518	1.323.300	X: -0,20; Y: 7,00	12,01	3,55	354.518	1.258.047	X: -0,20; Y: 7,00	12,01
1,15	170.506	195.738	X: -0,70; Y: 7,00	8,15	1,17	170.506	198.785	X: -0,70; Y: 7,00	8,15
3,64	370.008	1.347.429	X: -0,70; Y: 7,00	12,15	3,46	370.008	1.278.920	X: -0,70; Y: 7,00	12,15
1,09	185.254	201.474	X: -1,20; Y: 7,00	8,33	1,11	185.254	206.208	X: -1,20; Y: 7,00	8,33
3,61	383.639	1.384.870	X: -1,20; Y: 7,00	12,33	3,42	383.639	1.311.064	X: -1,20; Y: 7,00	12,33
1,03	201.280	206.435	X: -1,70; Y: 7,00	8,52	1,06	201.280	213.366	X: -1,70; Y: 7,00	8,52
3,62	396.931	1.435.724	X: -1,70; Y: 7,00	12,52	3,41	396.931	1.354.598	X: -1,70; Y: 7,00	12,52
1,08	215.495	232.363	X: -2,20; Y: 7,00	8,74	1,11	215.495	238.714	X: -2,20; Y: 7,00	8,74
3,67	408.460	1.500.144	X: -2,20; Y: 7,00	12,74	3,45	408.460	1.409.759	X: -2,20; Y: 7,00	12,74
1,12	226.062	252.079	X: -2,70; Y: 7,00	8,99	1,15	226.062	258.899	X: -2,70; Y: 7,00	8,99
3,75	420.650	1.579.134	X: -2,70; Y: 7,00	12,99	3,51	420.650	1.477.632	X: -2,70; Y: 7,00	12,99
1,17	236.478	276.740	X: -3,20; Y: 7,00	9,25	1,20	236.478	284.485	X: -3,20; Y: 7,00	9,25
3,88	430.874	1.672.375	X: -3,20; Y: 7,00	13,25	3,62	430.874	1.557.925	X: -3,20; Y: 7,00	13,25
1,25	246.728	308.088	X: -3,70; Y: 7,00	9,54	1,27	246.728	314.444	X: -3,70; Y: 7,00	9,54
4,05	439.863	1.779.705	X: -3,70; Y: 7,00	13,54	3,75	439.863	1.650.671	X: -3,70; Y: 7,00	13,54
1,36	257.449	351.025	X: -4,20; Y: 7,00	9,84	1,37	257.449	353.655	X: -4,20; Y: 7,00	9,84
4,23	449.058	1.901.123	X: -4,20; Y: 7,00	13,84	3,91	449.058	1.755.888	X: -4,20; Y: 7,00	13,84
1,32	141.328	187.250	X: 0,30; Y: 7,50	8,39	1,33	141.328	187.845	X: 0,30; Y: 7,50	8,39
3,90	342.787	1.336.651	X: 0,30; Y: 7,50	12,39	3,72	342.787	1.274.394	X: 0,30; Y: 7,50	12,39
1,17	155.510	181.231	X: -0,20; Y: 7,50	8,49	1,18	155.510	183.829	X: -0,20; Y: 7,50	8,49
3,76	357.792	1.346.175	X: -0,20; Y: 7,50	12,49	3,59	357.792	1.282.885	X: -0,20; Y: 7,50	12,49
1,18	168.130	198.401	X: -0,70; Y: 7,50	8,63	1,20	168.130	201.420	X: -0,70; Y: 7,50	8,63
3,67	372.627	1.368.365	X: -0,70; Y: 7,50	12,63	3,49	372.627	1.302.209	X: -0,70; Y: 7,50	12,63
1,12	182.151	203.494	X: -1,20; Y: 7,50	8,79	1,14	182.151	208.290	X: -1,20; Y: 7,50	8,79
3,63	386.081	1.402.778	X: -1,20; Y: 7,50	12,79	3,45	386.081	1.331.854	X: -1,20; Y: 7,50	12,79
1,06	196.352	208.934	X: -1,70; Y: 7,50	8,98	1,10	196.352	215.512	X: -1,70; Y: 7,50	8,98
3,64	398.507	1.450.342	X: -1,70; Y: 7,50	12,98	3,44	398.507	1.372.807	X: -1,70; Y: 7,50	12,98
1,08	212.029	228.924	X: -2,20; Y: 7,50	9,19	1,11	212.029	235.913	X: -2,20; Y: 7,50	9,19
3,67	411.703	1.511.180	X: -2,20; Y: 7,50	13,19	3,46	411.703	1.425.281	X: -2,20; Y: 7,50	13,19

VERIFICHE DI STABILITA'

Bishop					Fellenius				
CS	FrzRblt	FrzRes	Centro	Raggio	CS	FrzRblt	FrzRes	Centro	Raggio
	[N]	[N]	[m]	[m]		[N]	[N]	[m]	[m]
1,11	226.278	250.182	X: -2,70; Y: 7,50	9,42	1,14	226.278	257.555	X: -2,70; Y: 7,50	9,42
3,75	422.930	1.585.846	X: -2,70; Y: 7,50	13,42	3,52	422.930	1.489.703	X: -2,70; Y: 7,50	13,42
1,15	236.961	273.086	X: -3,20; Y: 7,50	9,68	1,19	236.961	281.813	X: -3,20; Y: 7,50	9,68
3,87	432.577	1.673.897	X: -3,20; Y: 7,50	13,68	3,62	432.577	1.565.866	X: -3,20; Y: 7,50	13,68
1,22	247.031	300.729	X: -3,70; Y: 7,50	9,95	1,25	247.031	308.400	X: -3,70; Y: 7,50	9,95
4,02	442.024	1.775.980	X: -3,70; Y: 7,50	13,95	3,74	442.024	1.654.506	X: -3,70; Y: 7,50	13,95
1,32	257.799	340.080	X: -4,20; Y: 7,50	10,24	1,34	257.799	344.902	X: -4,20; Y: 7,50	10,24
4,19	451.711	1.891.767	X: -4,20; Y: 7,50	14,24	3,89	451.711	1.755.311	X: -4,20; Y: 7,50	14,24
1,37	140.035	191.535	X: 0,30; Y: 8,00	8,88	1,37	140.035	192.150	X: 0,30; Y: 8,00	8,88
3,92	347.213	1.361.033	X: 0,30; Y: 8,00	12,88	3,75	347.213	1.300.587	X: 0,30; Y: 8,00	12,88
1,21	153.605	185.327	X: -0,20; Y: 8,00	8,98	1,22	153.605	187.848	X: -0,20; Y: 8,00	8,98
3,78	361.843	1.368.810	X: -0,20; Y: 8,00	12,98	3,61	361.843	1.307.555	X: -0,20; Y: 8,00	12,98
1,20	167.114	200.315	X: -0,70; Y: 8,00	9,11	1,22	167.114	203.628	X: -0,70; Y: 8,00	9,11
3,71	374.740	1.388.758	X: -0,70; Y: 8,00	13,11	3,54	374.740	1.324.761	X: -0,70; Y: 8,00	13,11
1,15	179.465	205.824	X: -1,20; Y: 8,00	9,26	1,17	179.465	210.545	X: -1,20; Y: 8,00	9,26
3,66	388.386	1.421.179	X: -1,20; Y: 8,00	13,26	3,48	388.386	1.352.919	X: -1,20; Y: 8,00	13,26
1,09	193.044	210.724	X: -1,70; Y: 8,00	9,44	1,13	193.044	217.222	X: -1,70; Y: 8,00	9,44
3,65	401.632	1.465.517	X: -1,70; Y: 8,00	13,44	3,46	401.632	1.391.348	X: -1,70; Y: 8,00	13,44
1,10	206.999	227.682	X: -2,20; Y: 8,00	9,64	1,13	206.999	234.541	X: -2,20; Y: 8,00	9,64
3,68	413.670	1.523.255	X: -2,20; Y: 8,00	13,64	3,48	413.670	1.441.358	X: -2,20; Y: 8,00	13,64
1,11	222.560	247.561	X: -2,70; Y: 8,00	9,86	1,15	222.560	255.337	X: -2,70; Y: 8,00	9,86
3,76	424.427	1.593.781	X: -2,70; Y: 8,00	13,86	3,54	424.427	1.502.517	X: -2,70; Y: 8,00	13,86
1,13	236.795	266.801	X: -3,20; Y: 8,00	10,10	1,16	236.795	275.718	X: -3,20; Y: 8,00	10,10
3,86	434.991	1.677.545	X: -3,20; Y: 8,00	14,10	3,62	434.991	1.575.356	X: -3,20; Y: 8,00	14,10
1,20	246.870	295.070	X: -3,70; Y: 8,00	10,36	1,23	246.870	303.991	X: -3,70; Y: 8,00	10,36
3,99	444.737	1.774.664	X: -3,70; Y: 8,00	14,36	3,73	444.737	1.660.071	X: -3,70; Y: 8,00	14,36
1,29	256.348	330.483	X: -4,20; Y: 8,00	10,64	1,31	256.348	337.083	X: -4,20; Y: 8,00	10,64
4,14	454.808	1.885.170	X: -4,20; Y: 8,00	14,64	3,86	454.808	1.756.705	X: -4,20; Y: 8,00	14,64
1,41	138.974	195.808	X: 0,30; Y: 8,50	9,37	1,41	138.974	196.443	X: 0,30; Y: 8,50	9,37
3,95	350.401	1.385.097	X: 0,30; Y: 8,50	13,37	3,78	350.401	1.326.131	X: 0,30; Y: 8,50	13,37
1,25	152.051	189.373	X: -0,20; Y: 8,50	9,47	1,26	152.051	191.833	X: -0,20; Y: 8,50	9,47
3,82	364.533	1.391.711	X: -0,20; Y: 8,50	13,47	3,65	364.533	1.332.089	X: -0,20; Y: 8,50	13,47
1,22	165.077	201.466	X: -0,70; Y: 8,50	9,59	1,24	165.077	204.940	X: -0,70; Y: 8,50	9,59
3,73	378.047	1.409.745	X: -0,70; Y: 8,50	13,59	3,57	378.047	1.347.878	X: -0,70; Y: 8,50	13,59
1,18	176.831	207.906	X: -1,20; Y: 8,50	9,74	1,20	176.831	212.516	X: -1,20; Y: 8,50	9,74
3,68	390.851	1.439.449	X: -1,20; Y: 8,50	13,74	3,51	390.851	1.373.705	X: -1,20; Y: 8,50	13,74
1,12	189.945	212.521	X: -1,70; Y: 8,50	9,90	1,15	189.945	218.897	X: -1,70; Y: 8,50	9,90
3,67	403.540	1.481.640	X: -1,70; Y: 8,50	13,90	3,50	403.540	1.410.446	X: -1,70; Y: 8,50	13,90
1,07	203.494	218.337	X: -2,20; Y: 8,50	10,10	1,11	203.494	226.455	X: -2,20; Y: 8,50	10,10
3,70	415.028	1.535.725	X: -2,20; Y: 8,50	14,10	3,51	415.028	1.457.471	X: -2,20; Y: 8,50	14,10
1,12	218.621	245.849	X: -2,70; Y: 8,50	10,31	1,16	218.621	253.760	X: -2,70; Y: 8,50	10,31
3,76	426.443	1.602.683	X: -2,70; Y: 8,50	14,31	3,55	426.443	1.515.869	X: -2,70; Y: 8,50	14,31
1,13	232.892	263.632	X: -3,20; Y: 8,50	10,54	1,17	232.892	272.859	X: -3,20; Y: 8,50	10,54
3,85	437.026	1.682.448	X: -3,20; Y: 8,50	14,54	3,63	437.026	1.585.592	X: -3,20; Y: 8,50	14,54
1,18	246.578	290.228	X: -3,70; Y: 8,50	10,79	1,22	246.578	300.158	X: -3,70; Y: 8,50	10,79
3,97	446.546	1.774.904	X: -3,70; Y: 8,50	14,79	3,73	446.546	1.666.588	X: -3,70; Y: 8,50	14,79
1,26	255.956	322.162	X: -4,20; Y: 8,50	11,06	1,29	255.956	330.118	X: -4,20; Y: 8,50	11,06
4,11	457.013	1.880.509	X: -4,20; Y: 8,50	15,06	3,85	457.013	1.759.353	X: -4,20; Y: 8,50	15,06

Verifica 5

Approccio 1, Combinazione 2 Stato Limite di Resistenza del Terreno con sisma

1,09	118.909	129.325	X: 0,30; Y: 4,00	4,99	1,06	118.909	126.559	X: 0,30; Y: 4,00	4,99
2,67	429.545	1.146.597	X: 0,30; Y: 4,00	8,99	2,49	429.545	1.067.585	X: 0,30; Y: 4,00	8,99
1,18	128.897	151.960	X: -0,20; Y: 4,00	5,17	1,16	128.897	149.205	X: -0,20; Y: 4,00	5,17
2,61	451.110	1.177.852	X: -0,20; Y: 4,00	9,17	2,43	451.110	1.095.515	X: -0,20; Y: 4,00	9,17
1,15	141.015	162.535	X: -0,70; Y: 4,00	5,39	1,14	141.015	160.704	X: -0,70; Y: 4,00	5,39
2,61	469.178	1.226.036	X: -0,70; Y: 4,00	9,39	2,42	469.178	1.137.006	X: -0,70; Y: 4,00	9,39
1,20	154.117	184.950	X: -1,20; Y: 4,00	5,65	1,19	154.117	182.994	X: -1,20; Y: 4,00	5,65
2,64	490.791	1.293.600	X: -1,20; Y: 4,00	9,65	2,43	490.791	1.194.527	X: -1,20; Y: 4,00	9,65
1,31	168.243	220.814	X: -1,70; Y: 4,00	5,93	1,30	168.243	218.097	X: -1,70; Y: 4,00	5,93
2,68	513.754	1.378.645	X: -1,70; Y: 4,00	9,93	2,47	513.754	1.266.675	X: -1,70; Y: 4,00	9,93
1,39	183.400	254.865	X: -2,20; Y: 4,00	6,25	1,37	183.400	251.012	X: -2,20; Y: 4,00	6,25
2,77	535.410	1.482.292	X: -2,20; Y: 4,00	10,25	2,53	535.410	1.354.460	X: -2,20; Y: 4,00	10,25
1,43	202.483	290.132	X: -2,70; Y: 4,00	6,59	1,41	202.483	285.683	X: -2,70; Y: 4,00	6,59
2,88	557.015	1.602.950	X: -2,70; Y: 4,00	10,59	2,62	557.015	1.456.969	X: -2,70; Y: 4,00	10,59
1,54	219.510	337.139	X: -3,20; Y: 4,00	6,94	1,50	219.510	329.058	X: -3,20; Y: 4,00	6,94
3,00	580.178	1.740.906	X: -3,20; Y: 4,00	10,94	2,71	580.178	1.574.572	X: -3,20; Y: 4,00	10,94
1,65	240.937	398.580	X: -3,70; Y: 4,00	7,32	1,59	240.937	383.693	X: -3,70; Y: 4,00	7,32
3,15	602.231	1.895.893	X: -3,70; Y: 4,00	11,32	2,84	602.231	1.707.375	X: -3,70; Y: 4,00	11,32
1,84	257.275	474.380	X: -4,20; Y: 4,00	7,70	1,75	257.275	450.053	X: -4,20; Y: 4,00	7,70
3,28	631.166	2.069.934	X: -4,20; Y: 4,00	11,70	2,94	631.166	1.856.937	X: -4,20; Y: 4,00	11,70
1,10	122.201	133.965	X: 0,30; Y: 4,50	5,47	1,08	122.201	131.478	X: 0,30; Y: 4,50	5,47
2,65	442.469	1.174.731	X: 0,30; Y: 4,50	9,47	2,48	442.469	1.098.413	X: 0,30; Y: 4,50	9,47
1,16	133.201	155.167	X: -0,20; Y: 4,50	5,63	1,15	133.201	152.786	X: -0,20; Y: 4,50	5,63
2,60	462.257	1.202.062	X: -0,20; Y: 4,50	9,63	2,43	462.257	1.122.865	X: -0,20; Y: 4,50	9,63
1,14	143.163	163.817	X: -0,70; Y: 4,50	5,84	1,14	143.163	162.566	X: -0,70; Y: 4,50	5,84
2,60	479.574	1.245.177	X: -0,70; Y: 4,50	9,84	2,42	479.574	1.160.032	X: -0,70; Y: 4,50	9,84
1,12	157.527	175.867	X: -1,20; Y: 4,50	6,07	1,11	157.527	175.627	X: -1,20; Y: 4,50	6,07
2,61	500.102	1.306.778	X: -1,20; Y: 4,50	10,07	2,42	500.102	1.212.698	X: -1,20; Y: 4,50	10,07
1,27	170.913	216.892	X: -1,70; Y: 4,50	6,34	1,26	170.913	215.408	X: -1,70; Y: 4,50	6,34
2,65	522.013	1.385.565	X: -1,70; Y: 4,50	10,34	2,45	522.013	1.279.828	X: -1,70; Y: 4,50	10,34
1,33	185.498	246.512	X: -2,20; Y: 4,50	6,64	1,32	185.498	244.562	X: -2,20; Y: 4,50	6,64
2,73	543.002	1.481.869	X: -2,20; Y: 4,50	10,64	2,51	543.002	1.361.785	X: -2,20; Y: 4,50	10,64
1,37	203.793	279.588	X: -2,70; Y: 4,50	6,95	1,36	203.793	277.454	X: -2,70; Y: 4,50	6,95

VERIFICHE DI STABILITA'

Bishop					Fellenius				
CS	FrzRblt	FrzRes	Centro	Raggio	CS	FrzRblt	FrzRes	Centro	Raggio
	[N]	[N]	[m]	[m]		[N]	[N]	[m]	[m]
2,83	564.337	1.594.822	X: -2,70; Y: 4,50	10,95	2,58	564.337	1.458.193	X: -2,70; Y: 4,50	10,95
1,46	220.879	322.308	X: -3,20; Y: 4,50	7,29	1,44	220.879	317.595	X: -3,20; Y: 4,50	7,29
2,94	587.484	1.724.879	X: -3,20; Y: 4,50	11,29	2,67	587.484	1.569.587	X: -3,20; Y: 4,50	11,29
1,59	237.414	377.825	X: -3,70; Y: 4,50	7,65	1,55	237.414	367.515	X: -3,70; Y: 4,50	7,65
3,07	609.913	1.871.741	X: -3,70; Y: 4,50	11,65	2,78	609.913	1.695.925	X: -3,70; Y: 4,50	11,65
1,75	255.647	447.075	X: -4,20; Y: 4,50	8,02	1,68	255.647	428.563	X: -4,20; Y: 4,50	8,02
3,21	634.150	2.035.038	X: -4,20; Y: 4,50	12,02	2,90	634.150	1.836.851	X: -4,20; Y: 4,50	12,02
1,10	126.563	139.232	X: 0,30; Y: 5,00	5,95	1,08	126.563	137.089	X: 0,30; Y: 5,00	5,95
2,65	454.396	1.202.699	X: 0,30; Y: 5,00	9,95	2,48	454.396	1.128.914	X: 0,30; Y: 5,00	9,95
1,15	135.617	155.850	X: -0,20; Y: 5,00	6,10	1,14	135.617	154.112	X: -0,20; Y: 5,00	6,10
2,59	472.697	1.226.241	X: -0,20; Y: 5,00	10,10	2,43	472.697	1.149.931	X: -0,20; Y: 5,00	10,10
1,14	146.439	166.225	X: -0,70; Y: 5,00	6,29	1,13	146.439	165.479	X: -0,70; Y: 5,00	6,29
2,59	489.398	1.265.518	X: -0,70; Y: 5,00	10,29	2,42	489.398	1.183.938	X: -0,70; Y: 5,00	10,29
1,11	159.863	176.821	X: -1,20; Y: 5,00	6,51	1,11	159.863	177.171	X: -1,20; Y: 5,00	6,51
2,59	509.960	1.321.752	X: -1,20; Y: 5,00	10,51	2,42	509.960	1.232.318	X: -1,20; Y: 5,00	10,51
1,22	171.377	209.372	X: -1,70; Y: 5,00	6,76	1,22	171.377	208.366	X: -1,70; Y: 5,00	6,76
2,63	529.599	1.394.955	X: -1,70; Y: 5,00	10,76	2,44	529.599	1.294.823	X: -1,70; Y: 5,00	10,76
1,29	185.351	239.912	X: -2,20; Y: 5,00	7,04	1,29	185.351	239.206	X: -2,20; Y: 5,00	7,04
2,71	547.485	1.483.725	X: -2,20; Y: 5,00	11,04	2,50	547.485	1.370.668	X: -2,20; Y: 5,00	11,04
1,35	200.920	270.773	X: -2,70; Y: 5,00	7,34	1,34	200.920	270.040	X: -2,70; Y: 5,00	7,34
2,80	568.361	1.589.618	X: -2,70; Y: 5,00	11,34	2,57	568.361	1.461.489	X: -2,70; Y: 5,00	11,34
1,41	219.170	308.491	X: -3,20; Y: 5,00	7,66	1,40	219.170	306.322	X: -3,20; Y: 5,00	7,66
2,90	591.045	1.712.229	X: -3,20; Y: 5,00	11,66	2,65	591.045	1.566.980	X: -3,20; Y: 5,00	11,66
1,53	235.404	359.644	X: -3,70; Y: 5,00	8,00	1,50	235.404	352.935	X: -3,70; Y: 5,00	8,00
3,02	613.184	1.851.127	X: -3,70; Y: 5,00	12,00	2,75	613.184	1.686.956	X: -3,70; Y: 5,00	12,00
1,66	255.199	423.860	X: -4,20; Y: 5,00	8,36	1,61	255.199	410.367	X: -4,20; Y: 5,00	8,36
3,13	640.439	2.007.433	X: -4,20; Y: 5,00	12,36	2,85	640.439	1.822.430	X: -4,20; Y: 5,00	12,36
1,09	132.217	143.778	X: 0,30; Y: 5,50	6,43	1,08	132.217	142.411	X: 0,30; Y: 5,50	6,43
2,64	465.801	1.229.987	X: 0,30; Y: 5,50	10,43	2,49	465.801	1.158.650	X: 0,30; Y: 5,50	10,43
1,14	138.930	158.778	X: -0,20; Y: 5,50	6,57	1,13	138.930	157.305	X: -0,20; Y: 5,50	6,57
2,59	482.722	1.250.747	X: -0,20; Y: 5,50	10,57	2,44	482.722	1.177.169	X: -0,20; Y: 5,50	10,57
1,13	148.976	168.585	X: -0,70; Y: 5,50	6,75	1,13	148.976	168.155	X: -0,70; Y: 5,50	6,75
2,57	499.800	1.286.235	X: -0,70; Y: 5,50	10,75	2,42	499.800	1.208.079	X: -0,70; Y: 5,50	10,75
1,10	160.910	177.678	X: -1,20; Y: 5,50	6,95	1,11	160.910	178.434	X: -1,20; Y: 5,50	6,95
2,58	517.970	1.338.335	X: -1,20; Y: 5,50	10,95	2,42	517.970	1.252.866	X: -1,20; Y: 5,50	10,95
1,18	172.860	204.325	X: -1,70; Y: 5,50	7,19	1,18	172.860	204.525	X: -1,70; Y: 5,50	7,19
2,63	535.110	1.405.673	X: -1,70; Y: 5,50	11,19	2,45	535.110	1.310.614	X: -1,70; Y: 5,50	11,19
1,26	186.188	235.337	X: -2,20; Y: 5,50	7,45	1,27	186.188	235.608	X: -2,20; Y: 5,50	7,45
2,69	554.703	1.489.443	X: -2,20; Y: 5,50	11,45	2,49	554.703	1.382.607	X: -2,20; Y: 5,50	11,45
1,31	199.848	262.491	X: -2,70; Y: 5,50	7,74	1,32	199.848	262.832	X: -2,70; Y: 5,50	7,74
2,76	575.145	1.588.817	X: -2,70; Y: 5,50	11,74	2,55	575.145	1.468.218	X: -2,70; Y: 5,50	11,74
1,36	217.380	296.694	X: -3,20; Y: 5,50	8,04	1,36	217.380	296.555	X: -3,20; Y: 5,50	8,04
2,85	597.484	1.704.608	X: -3,20; Y: 5,50	12,04	2,62	597.484	1.568.290	X: -3,20; Y: 5,50	12,04
1,47	234.686	344.196	X: -3,70; Y: 5,50	8,37	1,45	234.686	340.519	X: -3,70; Y: 5,50	8,37
2,96	619.557	1.836.289	X: -3,70; Y: 5,50	12,37	2,72	619.557	1.682.525	X: -3,70; Y: 5,50	12,37
1,60	251.158	403.093	X: -4,20; Y: 5,50	8,71	1,57	251.158	393.704	X: -4,20; Y: 5,50	8,71
3,08	643.712	1.983.751	X: -4,20; Y: 5,50	12,71	2,81	643.712	1.810.843	X: -4,20; Y: 5,50	12,71
1,10	135.265	148.567	X: 0,30; Y: 6,00	6,92	1,09	135.265	147.418	X: 0,30; Y: 6,00	6,92
2,63	477.391	1.257.284	X: 0,30; Y: 6,00	10,92	2,49	477.391	1.188.271	X: 0,30; Y: 6,00	10,92
1,14	141.694	161.428	X: -0,20; Y: 6,00	7,05	1,13	141.694	160.180	X: -0,20; Y: 6,00	7,05
2,59	493.102	1.275.602	X: -0,20; Y: 6,00	11,05	2,44	493.102	1.204.604	X: -0,20; Y: 6,00	11,05
1,13	150.558	170.164	X: -0,70; Y: 6,00	7,21	1,13	150.558	170.085	X: -0,70; Y: 6,00	7,21
2,57	508.384	1.308.021	X: -0,70; Y: 6,00	11,21	2,42	508.384	1.232.730	X: -0,70; Y: 6,00	11,21
1,10	162.532	179.105	X: -1,20; Y: 6,00	7,41	1,11	162.532	180.202	X: -1,20; Y: 6,00	7,41
2,59	524.162	1.355.561	X: -1,20; Y: 6,00	11,41	2,43	524.162	1.273.737	X: -1,20; Y: 6,00	11,41
1,14	173.162	198.161	X: -1,70; Y: 6,00	7,63	1,15	173.162	199.295	X: -1,70; Y: 6,00	7,63
2,62	542.395	1.418.605	X: -1,70; Y: 6,00	11,63	2,45	542.395	1.328.089	X: -1,70; Y: 6,00	11,63
1,22	185.861	227.200	X: -2,20; Y: 6,00	7,87	1,23	185.861	227.924	X: -2,20; Y: 6,00	7,87
2,67	561.331	1.496.895	X: -2,20; Y: 6,00	11,87	2,49	561.331	1.395.675	X: -2,20; Y: 6,00	11,87
1,28	199.888	256.571	X: -2,70; Y: 6,00	8,14	1,29	199.888	257.885	X: -2,70; Y: 6,00	8,14
2,73	582.239	1.590.311	X: -2,70; Y: 6,00	12,14	2,54	582.239	1.476.537	X: -2,70; Y: 6,00	12,14
1,34	215.223	287.855	X: -3,20; Y: 6,00	8,43	1,34	215.223	288.979	X: -3,20; Y: 6,00	8,43
2,82	603.101	1.699.963	X: -3,20; Y: 6,00	12,43	2,61	603.101	1.571.724	X: -3,20; Y: 6,00	12,43
1,42	232.459	329.893	X: -3,70; Y: 6,00	8,74	1,41	232.459	328.703	X: -3,70; Y: 6,00	8,74
2,92	624.915	1.824.915	X: -3,70; Y: 6,00	12,74	2,69	624.915	1.680.585	X: -3,70; Y: 6,00	12,74
1,55	248.561	384.799	X: -4,20; Y: 6,00	9,07	1,52	248.561	378.720	X: -4,20; Y: 6,00	9,07
3,03	648.965	1.965.332	X: -4,20; Y: 6,00	13,07	2,78	648.965	1.803.283	X: -4,20; Y: 6,00	13,07
1,11	137.543	152.845	X: 0,30; Y: 6,50	7,41	1,10	137.543	151.858	X: 0,30; Y: 6,50	7,41
2,64	487.225	1.284.511	X: 0,30; Y: 6,50	11,41	2,50	487.225	1.217.466	X: 0,30; Y: 6,50	11,41
1,11	145.238	160.902	X: -0,20; Y: 6,50	7,53	1,11	145.238	160.667	X: -0,20; Y: 6,50	7,53
2,60	500.794	1.299.855	X: -0,20; Y: 6,50	11,53	2,46	500.794	1.231.060	X: -0,20; Y: 6,50	11,53
1,13	152.539	172.430	X: -0,70; Y: 6,50	7,68	1,13	152.539	172.545	X: -0,70; Y: 6,50	7,68
2,58	516.538	1.330.101	X: -0,70; Y: 6,50	11,68	2,43	516.538	1.257.483	X: -0,70; Y: 6,50	11,68
1,12	161.787	180.934	X: -1,20; Y: 6,50	7,86	1,12	161.787	181.875	X: -1,20; Y: 6,50	7,86
2,58	531.817	1.373.806	X: -1,20; Y: 6,50	11,86	2,44	531.817	1.295.286	X: -1,20; Y: 6,50	11,86
1,09	174.065	190.035	X: -1,70; Y: 6,50	8,07	1,11	174.065	192.431	X: -1,70; Y: 6,50	8,07
2,61	549.249	1.432.791	X: -1,70; Y: 6,50	12,07	2,45	549.249	1.346.410	X: -1,70; Y: 6,50	12,07
1,20	185.449	222.714	X: -2,20; Y: 6,50	8,31	1,21	185.449	224.240	X: -2,20; Y: 6,50	8,31
2,65	567.518	1.506.235	X: -2,20; Y: 6,50	12,31	2,48	567.518	1.410.114	X: -2,20; Y: 6,50	12,31
1,26	198.915	251.148	X: -2,70; Y: 6,50	8,56	1,27	198.915	253.371	X: -2,70; Y: 6,50	8,56
2,72	586.704	1.593.945	X: -2,70; Y: 6,50	12,56	2,53	586.704	1.486.337	X: -2,70; Y: 6,50	12,56
1,31	213.492	279.181	X: -3,20; Y: 6,50	8,84	1,32	213.492	281.440	X: -3,20; Y: 6,50	8,84
2,80	607.230	1.697.698	X: -3,20; Y: 6,50	12,84	2,60	607.230	1.576.806	X: -3,20; Y: 6,50	12,84

VERIFICHE DI STABILITA'

Bishop					Fellenius				
CS	FrzRblt	FrzRes	Centro	Raggio	CS	FrzRblt	FrzRes	Centro	Raggio
	[N]	[N]	[m]	[m]		[N]	[N]	[m]	[m]
1,38	230.160	317.697	X: -3,70; Y: 6,50	9,14	1,38	230.160	318.312	X: -3,70; Y: 6,50	9,14
2,89	628.709	1.816.387	X: -3,70; Y: 6,50	13,14	2,67	628.709	1.680.655	X: -3,70; Y: 6,50	13,14
1,50	246.040	368.358	X: -4,20; Y: 6,50	9,45	1,48	246.040	365.031	X: -4,20; Y: 6,50	9,45
2,99	652.437	1.950.016	X: -4,20; Y: 6,50	13,45	2,76	652.437	1.797.888	X: -4,20; Y: 6,50	13,45
1,12	140.107	157.208	X: 0,30; Y: 7,00	7,90	1,12	140.107	156.441	X: 0,30; Y: 7,00	7,90
2,64	496.441	1.311.060	X: 0,30; Y: 7,00	11,90	2,51	496.441	1.245.875	X: 0,30; Y: 7,00	11,90
1,10	147.417	162.880	X: -0,20; Y: 7,00	8,01	1,10	147.417	162.838	X: -0,20; Y: 7,00	8,01
2,60	509.343	1.324.694	X: -0,20; Y: 7,00	12,01	2,47	509.343	1.257.978	X: -0,20; Y: 7,00	12,01
1,13	153.864	174.390	X: -0,70; Y: 7,00	8,15	1,14	153.864	174.639	X: -0,70; Y: 7,00	8,15
2,58	524.188	1.351.938	X: -0,70; Y: 7,00	12,15	2,45	524.188	1.281.784	X: -0,70; Y: 7,00	12,15
1,12	163.089	182.506	X: -1,20; Y: 7,00	8,33	1,13	163.089	183.751	X: -1,20; Y: 7,00	8,33
2,58	539.056	1.392.825	X: -1,20; Y: 7,00	12,33	2,44	539.056	1.317.366	X: -1,20; Y: 7,00	12,33
1,09	174.317	190.492	X: -1,70; Y: 7,00	8,52	1,11	174.317	193.145	X: -1,70; Y: 7,00	8,52
2,60	555.762	1.447.573	X: -1,70; Y: 7,00	12,52	2,46	555.762	1.364.965	X: -1,70; Y: 7,00	12,52
1,18	185.668	219.809	X: -2,20; Y: 7,00	8,74	1,19	185.668	221.778	X: -2,20; Y: 7,00	8,74
2,65	572.626	1.516.200	X: -2,20; Y: 7,00	12,74	2,49	572.626	1.424.715	X: -2,20; Y: 7,00	12,74
1,23	198.443	243.593	X: -2,70; Y: 7,00	8,99	1,24	198.443	245.967	X: -2,70; Y: 7,00	8,99
2,70	592.505	1.599.888	X: -2,70; Y: 7,00	12,99	2,53	592.505	1.497.852	X: -2,70; Y: 7,00	12,99
1,29	211.881	272.392	X: -3,20; Y: 7,00	9,25	1,30	211.881	275.555	X: -3,20; Y: 7,00	9,25
2,77	612.572	1.698.222	X: -3,20; Y: 7,00	13,25	2,59	612.572	1.583.967	X: -3,20; Y: 7,00	13,25
1,36	226.619	307.357	X: -3,70; Y: 7,00	9,54	1,36	226.619	309.325	X: -3,70; Y: 7,00	9,54
2,86	633.684	1.811.005	X: -3,70; Y: 7,00	13,54	2,66	633.684	1.683.043	X: -3,70; Y: 7,00	13,54
1,45	243.412	353.545	X: -4,20; Y: 7,00	9,84	1,45	243.412	352.563	X: -4,20; Y: 7,00	9,84
2,95	657.139	1.938.355	X: -4,20; Y: 7,00	13,84	2,73	657.139	1.795.214	X: -4,20; Y: 7,00	13,84
1,13	142.375	161.442	X: 0,30; Y: 7,50	8,39	1,13	142.375	160.817	X: 0,30; Y: 7,50	8,39
2,65	505.300	1.336.909	X: 0,30; Y: 7,50	12,39	2,52	505.300	1.273.535	X: 0,30; Y: 7,50	12,39
1,06	149.305	157.882	X: -0,20; Y: 7,50	8,49	1,06	149.305	158.447	X: -0,20; Y: 7,50	8,49
2,61	517.548	1.348.856	X: -0,20; Y: 7,50	12,49	2,48	517.548	1.284.111	X: -0,20; Y: 7,50	12,49
1,14	155.484	176.585	X: -0,70; Y: 7,50	8,63	1,14	155.484	176.972	X: -0,70; Y: 7,50	8,63
2,58	531.556	1.373.991	X: -0,70; Y: 7,50	12,63	2,46	531.556	1.306.169	X: -0,70; Y: 7,50	12,63
1,12	163.899	183.722	X: -1,20; Y: 7,50	8,79	1,13	163.899	185.217	X: -1,20; Y: 7,50	8,79
2,59	545.983	1.411.696	X: -1,20; Y: 7,50	12,79	2,45	545.983	1.339.055	X: -1,20; Y: 7,50	12,79
1,11	173.532	191.888	X: -1,70; Y: 7,50	8,98	1,12	173.532	194.413	X: -1,70; Y: 7,50	8,98
2,61	561.297	1.462.947	X: -1,70; Y: 7,50	12,98	2,47	561.297	1.383.818	X: -1,70; Y: 7,50	12,98
1,16	185.336	215.046	X: -2,20; Y: 7,50	9,19	1,17	185.336	217.733	X: -2,20; Y: 7,50	9,19
2,64	579.563	1.527.941	X: -2,20; Y: 7,50	13,19	2,49	579.563	1.440.748	X: -2,20; Y: 7,50	13,19
1,21	197.473	239.659	X: -2,70; Y: 7,50	9,42	1,23	197.473	242.483	X: -2,70; Y: 7,50	9,42
2,69	597.913	1.607.147	X: -2,70; Y: 7,50	13,42	2,53	597.913	1.510.186	X: -2,70; Y: 7,50	13,42
1,26	210.910	266.796	X: -3,20; Y: 7,50	9,68	1,28	210.910	270.730	X: -3,20; Y: 7,50	9,68
2,76	616.664	1.700.054	X: -3,20; Y: 7,50	13,68	2,58	616.664	1.591.850	X: -3,20; Y: 7,50	13,68
1,33	225.033	298.281	X: -3,70; Y: 7,50	9,95	1,34	225.033	301.385	X: -3,70; Y: 7,50	9,95
2,84	637.522	1.807.469	X: -3,70; Y: 7,50	13,95	2,65	637.522	1.686.605	X: -3,70; Y: 7,50	13,95
1,41	241.303	340.875	X: -4,20; Y: 7,50	10,24	1,42	241.303	341.685	X: -4,20; Y: 7,50	10,24
2,92	660.690	1.929.059	X: -4,20; Y: 7,50	14,24	2,72	660.690	1.794.138	X: -4,20; Y: 7,50	14,24
1,15	144.257	165.431	X: 0,30; Y: 8,00	8,88	1,14	144.257	164.918	X: 0,30; Y: 8,00	8,88
2,65	514.563	1.362.728	X: 0,30; Y: 8,00	12,88	2,53	514.563	1.301.193	X: 0,30; Y: 8,00	12,88
1,07	150.804	161.507	X: -0,20; Y: 8,00	8,98	1,08	150.804	162.151	X: -0,20; Y: 8,00	8,98
2,61	526.337	1.372.785	X: -0,20; Y: 8,00	12,98	2,49	526.337	1.310.096	X: -0,20; Y: 8,00	12,98
1,13	158.015	178.127	X: -0,70; Y: 8,00	9,11	1,13	158.015	178.973	X: -0,70; Y: 8,00	9,11
2,59	538.144	1.395.453	X: -0,70; Y: 8,00	13,11	2,47	538.144	1.329.794	X: -0,70; Y: 8,00	13,11
1,12	164.938	185.415	X: -1,20; Y: 8,00	9,26	1,13	164.938	187.040	X: -1,20; Y: 8,00	9,26
2,59	552.632	1.431.089	X: -1,20; Y: 8,00	13,26	2,46	552.632	1.361.076	X: -1,20; Y: 8,00	13,26
1,11	173.849	192.771	X: -1,70; Y: 8,00	9,44	1,12	173.849	195.447	X: -1,70; Y: 8,00	9,44
2,60	568.513	1.478.973	X: -1,70; Y: 8,00	13,44	2,47	568.513	1.403.122	X: -1,70; Y: 8,00	13,44
1,16	184.065	212.617	X: -2,20; Y: 8,00	9,64	1,17	184.065	215.312	X: -2,20; Y: 8,00	9,64
2,63	585.205	1.540.722	X: -2,20; Y: 8,00	13,64	2,49	585.205	1.457.376	X: -2,20; Y: 8,00	13,64
1,20	196.565	235.776	X: -2,70; Y: 8,00	9,86	1,22	196.565	239.065	X: -2,70; Y: 8,00	9,86
2,68	602.491	1.615.595	X: -2,70; Y: 8,00	13,86	2,53	602.491	1.523.285	X: -2,70; Y: 8,00	13,86
1,23	209.430	258.512	X: -3,20; Y: 8,00	10,10	1,25	209.430	262.499	X: -3,20; Y: 8,00	10,10
2,74	621.727	1.704.157	X: -3,20; Y: 8,00	14,10	2,58	621.727	1.601.479	X: -3,20; Y: 8,00	14,10
1,30	223.106	290.735	X: -3,70; Y: 8,00	10,36	1,32	223.106	294.824	X: -3,70; Y: 8,00	10,36
2,81	642.215	1.806.476	X: -3,70; Y: 8,00	14,36	2,63	642.215	1.692.087	X: -3,70; Y: 8,00	14,36
1,39	237.596	329.714	X: -4,20; Y: 8,00	10,64	1,40	237.596	331.893	X: -4,20; Y: 8,00	10,64
2,89	665.038	1.922.654	X: -4,20; Y: 8,00	14,64	2,70	665.038	1.795.230	X: -4,20; Y: 8,00	14,64
1,16	146.186	169.465	X: 0,30; Y: 8,50	9,37	1,16	146.186	169.059	X: 0,30; Y: 8,50	9,37
2,66	522.422	1.388.186	X: 0,30; Y: 8,50	13,37	2,54	522.422	1.328.155	X: 0,30; Y: 8,50	13,37
1,08	152.437	165.183	X: -0,20; Y: 8,50	9,47	1,09	152.437	165.908	X: -0,20; Y: 8,50	9,47
2,62	533.671	1.396.951	X: -0,20; Y: 8,50	13,47	2,50	533.671	1.335.920	X: -0,20; Y: 8,50	13,47
1,12	159.315	178.927	X: -0,70; Y: 8,50	9,59	1,13	159.315	180.137	X: -0,70; Y: 8,50	9,59
2,60	545.983	1.417.576	X: -0,70; Y: 8,50	13,59	2,48	545.983	1.354.057	X: -0,70; Y: 8,50	13,59
1,13	165.670	186.972	X: -1,20; Y: 8,50	9,74	1,14	165.670	188.684	X: -1,20; Y: 8,50	9,74
2,59	559.324	1.450.282	X: -1,20; Y: 8,50	13,74	2,47	559.324	1.382.769	X: -1,20; Y: 8,50	13,74
1,11	174.128	193.783	X: -1,70; Y: 8,50	9,90	1,13	174.128	196.565	X: -1,70; Y: 8,50	9,90
2,60	574.453	1.495.957	X: -1,70; Y: 8,50	13,90	2,48	574.453	1.423.017	X: -1,70; Y: 8,50	13,90
1,10	183.893	202.218	X: -2,20; Y: 8,50	10,10	1,12	183.893	206.047	X: -2,20; Y: 8,50	10,10
2,63	590.133	1.553.852	X: -2,20; Y: 8,50	14,10	2,50	590.133	1.474.032	X: -2,20; Y: 8,50	14,10
1,19	196.022	232.881	X: -2,70; Y: 8,50	10,31	1,21	196.022	236.441	X: -2,70; Y: 8,50	10,31
2,67	607.727	1.625.093	X: -2,70; Y: 8,50	14,31	2,53	607.727	1.537.040	X: -2,70; Y: 8,50	14,31
1,22	208.002	254.015	X: -3,20; Y: 8,50	10,54	1,24	208.002	258.407	X: -3,20; Y: 8,50	10,54
2,73	626.461	1.709.520	X: -3,20; Y: 8,50	14,54	2,57	626.461	1.611.906	X: -3,20; Y: 8,50	14,54
1,28	221.288	283.990	X: -3,70; Y: 8,50	10,79	1,31	221.288	288.871	X: -3,70; Y: 8,50	10,79
2,80	646.029	1.806.997	X: -3,70; Y: 8,50	14,79	2,63	646.029	1.698.543	X: -3,70; Y: 8,50	14,79
1,36	235.251	319.645	X: -4,20; Y: 8,50	11,06	1,37	235.251	322.994	X: -4,20; Y: 8,50	11,06

VERIFICHE DI STABILITA'

Bishop					Fellenius				
CS	FrzRblt	FrzRes	Centro	Raggio	CS	FrzRblt	FrzRes	Centro	Raggio
	[N]	[N]	[m]	[m]		[N]	[N]	[m]	[m]
2,87	668.590	1.918.154	X: -4,20; Y: 8,50	15,06	2,69	668.590	1.797.612	X: -4,20; Y: 8,50	15,06

LEGENDA Verifiche di stabilita'

Approccio	Tipo di Approccio seguito.
Stato limite	Tipo di Stato Limite.
Sisma	Sisma agente nella Combinazione.
CS	Coefficiente di sicurezza.
FrzRblt	Forza Ribaltante [N].
FrzRes	Forza Resistente [N].
Centro	Coordinate del centro della circonferenza che delinea la superficie di scorrimento [m].
Raggio	Raggio della circonferenza che delinea la superficie di scorrimento [m].

VERIFICHE A SCORRIMENTO
VERIFICHE A SCORRIMENTO

Approcc	Stato limite	Sisma	CS	FrzP	FrzR
				[N]	[N]
Sezione 1					
Verifica 1					
Approccio 1, Combinazione 1	Stato Limite di Resistenza della Struttura	NO	2,04	56.214	114.842
Verifica 2					
Approccio 1, Combinazione 1	Stato Limite di Resistenza della Struttura	NO	1,95	75.481	146.859
Verifica 3					
Approccio 1, Combinazione 1	Stato Limite di Resistenza della Struttura	NO	2,04	73.078	149.296
Verifica 4					
Approccio 1, Combinazione 1	Stato Limite di Resistenza della Struttura	NO	1,96	92.345	181.313
Verifica 5					
Approccio 1, Combinazione 1	Stato Limite di Resistenza della Struttura	SI	1,36	88.475	120.136
Verifica 6					
Approccio 1, Combinazione 2	Stato Limite di Resistenza del Terreno	NO	1,45	64.853	94.270
Verifica 7					
Approccio 1, Combinazione 2	Stato Limite di Resistenza del Terreno	NO	1,38	84.536	116.721
Verifica 8					
Approccio 1, Combinazione 2	Stato Limite di Resistenza del Terreno	NO	1,45	64.853	94.270
Verifica 9					
Approccio 1, Combinazione 2	Stato Limite di Resistenza del Terreno	NO	1,38	84.536	116.721
Verifica 10					
Approccio 1, Combinazione 2	Stato Limite di Resistenza del Terreno	SI	1,00	98.155	98.629

LEGENDA Verifiche a scorrimento

Approcc	Tipo di Approccio seguito.
Stato limite	Tipo di Stato Limite.
Sisma	Sisma agente nella Combinazione.
CS	Coefficiente di sicurezza.
FrzP	Forza di scorrimento di Progetto [N].
FrzR	Forza Resistente a scorrimento [N].

VERIFICHE A RIBALTAMENTO
VERIFICHE A RIBALTAMENTO

Approcc	Stato limite	Sisma	CS	Mrblt	Mstbl
				[Nm]	[Nm]
Sezione 1					
Verifica 1					
Approccio 1, Combinazione 1	Stato Limite di Equilibrio	NO	3,42	43.657	149.378
Verifica 2					
Approccio 1, Combinazione 1	Stato Limite di Equilibrio	NO	3,33	61.355	204.038
Verifica 3					
Approccio 1, Combinazione 1	Stato Limite di Equilibrio	NO	3,42	53.358	182.575
Verifica 4					
Approccio 1,	Stato Limite di	NO	3,34	71.056	237.235

VERIFICHE A RIBALTAMENTO

Approcc	Stato limite	Sisma	CS	Mrblt [Nm]	Mstbl [Nm]
Combinazione 1	Equilibrio				
Verifica 5					
Approccio 1, Combinazione 1	Stato Limite di Equilibrio	SI	1,52	114.143	173.528

LEGENDA Verifiche a ribaltamento

Approcc	Tipo di Approccio seguito.
Stato limite	Tipo di Stato Limite.
Sisma	Sisma agente nella Combinazione.
CS	Coefficiente di sicurezza.
Mrblt	Momento ribaltante di Progetto [Nm].
Mstbl	Momento Stabilizzante [Nm].

VERIFICHE A CARICO LIMITE
VERIFICHE A CARICO LIMITE

Approcc	Stato limite	Sisma	CS	QMedP [N/mm ²]	QLim [N/mm ²]
Sezione 1					
Verifica 1					
Approccio 1, Combinazione 1	Stato Limite di Resistenza della Struttura		NO	9,48	0,66
Verifica 2					
Approccio 1, Combinazione 1	Stato Limite di Resistenza della Struttura		NO	6,93	0,63
Verifica 3					
Approccio 1, Combinazione 1	Stato Limite di Resistenza della Struttura		NO	7,29	0,66
Verifica 4					
Approccio 1, Combinazione 1	Stato Limite di Resistenza della Struttura		NO	5,69	0,63
Verifica 5					
Approccio 1, Combinazione 1	Stato Limite di Resistenza della Struttura	SI	4,02	0,07	0,30
Verifica 6					
Approccio 1, Combinazione 2	Stato Limite di Resistenza del Terreno		NO	2,78	0,19
Verifica 7					
Approccio 1, Combinazione 2	Stato Limite di Resistenza del Terreno		NO	2,06	0,18
Verifica 8					
Approccio 1, Combinazione 2	Stato Limite di Resistenza del Terreno		NO	2,78	0,19
Verifica 9					
Approccio 1, Combinazione 2	Stato Limite di Resistenza del Terreno		NO	2,06	0,18
Verifica 10					
Approccio 1, Combinazione 2	Stato Limite di Resistenza del Terreno	SI	1,12	0,07	0,08

LEGENDA Verifiche a Carico Limite

Approcc	Tipo di Approccio seguito.
Stato limite	Tipo di Stato Limite.
Sisma	Sisma agente nella Combinazione.
CS	Coefficiente di sicurezza.
QMedP	Tensione media di Progetto [N/mm ²].
QLim	Carico Limite [N/mm ²].

VERIFICHE A PRESSOFLESSIONE RETTA ALLO SLU
VERIFICHE A PRESSOFLESSIONE RETTA ALLO SLU

CS _{Sup}	CS _{Inf}	Sollecitazioni				Af _{Sup}	Af _{Inf}
		N _{Sup} [N]	My _{Sup} [Nm]	N _{Inf} [N]	My _{Inf} [Nm]		
						[cm ³]	[cm ³]
Sezione 1							
Paramento							
Sez. calcolo n.1 - Dis: 0.00							
-	1,81	0	0,00	41.935	-68.956,00	8,98	12,21
Sez. calcolo n.2 - Dis: 0.41							
-	2,52	0	0,00	35.405	-49.226,00	8,98	12,21
Sez. calcolo n.3 - Dis: 0.81							
-	3,74	0	0,00	22.396	-32.714,00	8,98	12,21
Sez. calcolo n.4 - Dis: 1.22							
-	4,44	0	0,00	17.998	-20.560,00	8,98	8,98
Sez. calcolo n.5 - Dis: 1.62							
-	7,86	0	0,00	13.888	-11.562,00	8,98	8,98
Sez. calcolo n.6 - Dis: 2.03							
-	16,83	0	0,00	10.062	-5.373,00	8,98	8,98
Sez. calcolo n.7 - Dis: 2.43							
-	54,25	0	0,00	6.525	-1.659,00	8,98	8,98
Sez. calcolo n.8 - Dis: 2.84							
-	NS	0	0,00	3.271	-93,00	8,98	8,98
Sez. calcolo n.9 - Dis: 3.24							
-	-	225	0,00	225	0,00	8,98	8,98
Fondazione muro							

VERIFICHE A PRESSOFLESSIONE RETTA ALLO SLU

CS _{Sup}	CS _{Inf}	Sollecitazioni				Af _{Sup}	Af _{Inf}
		N _{Sup} [N]	My _{Sup} [Nm]	N _{Inf} [N]	My _{Inf} [Nm]		
Sez. calcolo n.10 - Dis: 0.00(Valle)							
-	NS	0	0,00	0	-103,00	12,21	12,21
Sez. calcolo n.11 - Dis: 0.02(Valle)							
-	NS	0	0,00	0	-254,00	12,21	12,21
Sez. calcolo n.12 - Dis: 0.03(Valle)							
-	NS	0	0,00	0	-453,00	12,21	12,21
Sez. calcolo n.13 - Dis: 0.05(Valle)							
-	NS	0	0,00	0	-713,00	12,21	12,21
Sez. calcolo n.14 - Dis: 0.07(Valle)							
-	NS	0	0,00	0	-1.038,00	12,21	12,21
Sez. calcolo n.15 - Dis: 0.09(Valle)							
-	NS	0	0,00	0	-1.427,00	12,21	12,21
Sez. calcolo n.16 - Dis: 0.10(Valle)							
-	90,55	0	0,00	0	-1.881,00	12,21	12,21
Sez. calcolo n.17 - Dis: 0.12(Valle)							
-	71,17	0	0,00	0	-2.393,00	12,21	12,21
Sez. calcolo n.18 - Dis: 0.14(Valle)							
-	57,81	0	0,00	0	-2.946,00	12,21	12,21
Sez. calcolo n.19 - Dis: 0.00(Monte)							
1,89	-	0	89.965,00	0	0,00	12,21	12,21
Sez. calcolo n.20 - Dis: 0.19(Monte)							
2,20	-	0	77.251,00	0	0,00	12,21	12,21
Sez. calcolo n.21 - Dis: 0.38(Monte)							
2,75	-	0	62.013,00	0	0,00	12,21	12,21
Sez. calcolo n.22 - Dis: 0.58(Monte)							
3,77	-	0	45.137,00	0	0,00	12,21	12,21
Sez. calcolo n.23 - Dis: 0.77(Monte)							
6,18	-	0	27.546,00	0	0,00	12,21	12,21
Sez. calcolo n.24 - Dis: 0.96(Monte)							
9,37	-	0	18.186,00	0	0,00	12,21	12,21
Sez. calcolo n.25 - Dis: 1.15(Monte)							
17,18	-	0	9.912,00	0	0,00	12,21	12,21
Sez. calcolo n.26 - Dis: 1.35(Monte)							
46,93	-	0	3.629,00	0	0,00	12,21	12,21
Sez. calcolo n.27 - Dis: 1.54(Monte)							
NS	-	0	157,00	0	0,00	12,21	12,21

LEGENDA Verifiche a pressoflessione retta allo SLU

CS Coefficiente di sicurezza per l'armatura superiore ed inferiore.
N Sforzo normale per l'armatura superiore ed inferiore [N].
My Vettore Momento intorno a Y per l'armatura superiore ed inferiore [Nm].
Af_{Sup} Armatura Superiore Esecutiva [cm²].
Af_{Inf} Armatura Inferiore Esecutiva [cm²].
NOTE Per il paramento: sup=armatura a valle; inf=armatura a monte
 Per la fondazione: sup=armatura superiore; inf=armatura inferiore

VERIFICHE A PRESSOFLESSIONE RETTA ALLO SLE
VERIFICHE A PRESSOFLESSIONE RETTA ALLO SLE

Trazione calcestruzzo			Compressione calcestruzzo			Trazione acciaio		
σ ct [N/mm²]	N [N]	My [N-m]	σ cc [N/mm²]	N [N]	My [N-m]	σ at [N/mm²]	N [N]	My [N-m]
Sezione 1								
Paramento								
Sez. calcolo n.1 - Dis: 0.00								
AA= PCA	CA=FQR ε sm=0,00012 Ae=1280,0 cm² sm=173 mm wk=0,03 mm	CA=QPR ε sm=0,00000 Ae=0,0 cm² sm=0 mm wk=0,00 mm						
2,735	32.258	-52.018	-4,305	32.258	-52.018	154,841	32.258	-52.018
Sez. calcolo n.2 - Dis: 0.41								
AA= PCA	CA=FQR ε sm=0,00000 Ae=0,0 cm² sm=0 mm wk=0,00 mm	CA=QPR ε sm=0,00000 Ae=0,0 cm² sm=0 mm wk=0,00 mm						
1,937	27.234	-37.074	-3,080	27.234	-37.074	108,818	27.234	-37.074
Sez. calcolo n.3 - Dis: 0.81								
AA= PCA	CA=FQR ε sm=0,00000 Ae=0,0 cm² sm=0 mm wk=0,00 mm	CA=QPR ε sm=0,00000 Ae=0,0 cm² sm=0 mm wk=0,00 mm						
1,287	22.505	-24.885	-1,389	22.505	-24.885	16,632	22.505	-24.885
Sez. calcolo n.4 - Dis: 1.22								
AA= PCA	CA=FQR ε sm=0,00000 Ae=0,0 cm² sm=0 mm wk=0,00 mm	CA=QPR ε sm=0,00000 Ae=0,0 cm² sm=0 mm wk=0,00 mm						
0,805	18.069	-15.512	-0,915	18.069	-15.512	10,353	18.069	-15.512
Sez. calcolo n.5 - Dis: 1.62								
AA= PCA	CA=FQR ε sm=0,00000 Ae=0,0 cm² sm=0 mm wk=0,00 mm	CA=QPR ε sm=0,00000 Ae=0,0 cm² sm=0 mm wk=0,00 mm						
0,437	13.929	-8.644	-0,522	13.929	-8.644	5,592	13.929	-8.644
Sez. calcolo n.6 - Dis: 2.03								
AA= PCA	CA=FQR ε sm=0,00000 Ae=0,0 cm² sm=0 mm wk=0,00 mm	CA=QPR ε sm=0,00000 Ae=0,0 cm² sm=0 mm wk=0,00 mm						
0,190	10.082	-3.976	-0,251	10.082	-3.976	2,404	10.082	-3.976
Sez. calcolo n.7 - Dis: 2.43								
AA= PCA	CA=FQR ε sm=0,00000 Ae=0,0 cm² sm=0 mm wk=0,00 mm	CA=QPR ε sm=0,00000 Ae=0,0 cm² sm=0 mm wk=0,00 mm						
0,047	6.530	-1.213	-0,087	6.530	-1.213	0,575	6.530	-1.213
Sez. calcolo n.8 - Dis: 2.84								
AA= PCA	CA=FQR ε sm=0,00000 Ae=0,0 cm² sm=0 mm wk=0,00 mm	CA=QPR ε sm=0,00000 Ae=0,0 cm² sm=0 mm wk=0,00 mm						
0,000	0	0	-0,014	3.271	-67	0,000	0	0
Sez. calcolo n.9 - Dis: 3.24								
AA= PCA	CA=FQR ε sm=0,00000 Ae=0,0 cm² sm=0 mm wk=0,00 mm	CA=QPR ε sm=0,00000 Ae=0,0 cm² sm=0 mm wk=0,00 mm						
0,000	0	0	0,000	0	0	0,000	0	0
Fondazione muro								

VERIFICHE A PRESSOFLESSIONE RETTA ALLO SLE

Trazione calcestruzzo			Compressione calcestruzzo			Trazione acciaio		
σ_{ct}	N	My	σ_{cc}	N	My	σ_{at}	N	My
[N/mm ²]	[N]	[N-m]	[N/mm ²]	[N]	[N-m]	[N/mm ²]	[N]	[N-m]
Sez. calcolo n.10 - Dis: 0.00(Valle)								
AA= PCA	CA=FQR ϵ sm=0,00000	Ae=0,0 cm ² sm=0 mm wk=0,00 mm	CA=QPR ϵ sm=0,00000	Ae=0,0 cm ² sm=0 mm wk=0,00 mm				
0,002	0	-78	-0,002	0	-78	0,031	0	-78
Sez. calcolo n.11 - Dis: 0.02(Valle)								
AA= PCA	CA=FQR ϵ sm=0,00000	Ae=0,0 cm ² sm=0 mm wk=0,00 mm	CA=QPR ϵ sm=0,00000	Ae=0,0 cm ² sm=0 mm wk=0,00 mm				
0,006	0	-193	-0,006	0	-193	0,078	0	-193
Sez. calcolo n.12 - Dis: 0.03(Valle)								
AA= PCA	CA=FQR ϵ sm=0,00000	Ae=0,0 cm ² sm=0 mm wk=0,00 mm	CA=QPR ϵ sm=0,00000	Ae=0,0 cm ² sm=0 mm wk=0,00 mm				
0,010	0	-344	-0,010	0	-344	0,139	0	-344
Sez. calcolo n.13 - Dis: 0.05(Valle)								
AA= PCA	CA=FQR ϵ sm=0,00000	Ae=0,0 cm ² sm=0 mm wk=0,00 mm	CA=QPR ϵ sm=0,00000	Ae=0,0 cm ² sm=0 mm wk=0,00 mm				
0,016	0	-541	-0,016	0	-541	0,218	0	-541
Sez. calcolo n.14 - Dis: 0.07(Valle)								
AA= PCA	CA=FQR ϵ sm=0,00000	Ae=0,0 cm ² sm=0 mm wk=0,00 mm	CA=QPR ϵ sm=0,00000	Ae=0,0 cm ² sm=0 mm wk=0,00 mm				
0,023	0	-788	-0,023	0	-788	0,318	0	-788
Sez. calcolo n.15 - Dis: 0.09(Valle)								
AA= PCA	CA=FQR ϵ sm=0,00000	Ae=0,0 cm ² sm=0 mm wk=0,00 mm	CA=QPR ϵ sm=0,00000	Ae=0,0 cm ² sm=0 mm wk=0,00 mm				
0,032	0	-1.083	-0,032	0	-1.083	0,437	0	-1.083
Sez. calcolo n.16 - Dis: 0.10(Valle)								
AA= PCA	CA=FQR ϵ sm=0,00000	Ae=0,0 cm ² sm=0 mm wk=0,00 mm	CA=QPR ϵ sm=0,00000	Ae=0,0 cm ² sm=0 mm wk=0,00 mm				
0,043	0	-1.427	-0,043	0	-1.427	0,575	0	-1.427
Sez. calcolo n.17 - Dis: 0.12(Valle)								
AA= PCA	CA=FQR ϵ sm=0,00000	Ae=0,0 cm ² sm=0 mm wk=0,00 mm	CA=QPR ϵ sm=0,00000	Ae=0,0 cm ² sm=0 mm wk=0,00 mm				
0,054	0	-1.816	-0,054	0	-1.816	0,732	0	-1.816
Sez. calcolo n.18 - Dis: 0.14(Valle)								
AA= PCA	CA=FQR ϵ sm=0,00000	Ae=0,0 cm ² sm=0 mm wk=0,00 mm	CA=QPR ϵ sm=0,00000	Ae=0,0 cm ² sm=0 mm wk=0,00 mm				
0,067	0	-2.236	-0,067	0	-2.236	0,902	0	-2.236
Sez. calcolo n.19 - Dis: 0.00(Monte)								
AA= PCA	CA=FQR ϵ sm=0,00000	Ae=0,0 cm ² sm=0 mm wk=0,00 mm	CA=QPR ϵ sm=0,00000	Ae=0,0 cm ² sm=0 mm wk=0,00 mm				
2,030	0	68.088	-3,186	0	68.088	155,634	0	68.088
Sez. calcolo n.20 - Dis: 0.19(Monte)								
AA= PCA	CA=FQR ϵ sm=0,00000	Ae=0,0 cm ² sm=0 mm wk=0,00 mm	CA=QPR ϵ sm=0,00000	Ae=0,0 cm ² sm=0 mm wk=0,00 mm				
1,745	0	58.513	-1,745	0	58.513	23,591	0	58.513
Sez. calcolo n.21 - Dis: 0.38(Monte)								
AA= PCA	CA=FQR ϵ sm=0,00000	Ae=0,0 cm ² sm=0 mm wk=0,00 mm	CA=QPR ϵ sm=0,00000	Ae=0,0 cm ² sm=0 mm wk=0,00 mm				
1,402	0	47.032	-1,402	0	47.032	18,962	0	47.032
Sez. calcolo n.22 - Dis: 0.58(Monte)								
AA= PCA	CA=FQR ϵ sm=0,00000	Ae=0,0 cm ² sm=0 mm wk=0,00 mm	CA=QPR ϵ sm=0,00000	Ae=0,0 cm ² sm=0 mm wk=0,00 mm				
1,023	0	34.318	-1,023	0	34.318	13,836	0	34.318
Sez. calcolo n.23 - Dis: 0.77(Monte)								
AA= PCA	CA=FQR ϵ sm=0,00000	Ae=0,0 cm ² sm=0 mm wk=0,00 mm	CA=QPR ϵ sm=0,00000	Ae=0,0 cm ² sm=0 mm wk=0,00 mm				
0,628	0	21.067	-0,628	0	21.067	8,494	0	21.067
Sez. calcolo n.24 - Dis: 0.96(Monte)								
AA= PCA	CA=FQR ϵ sm=0,00000	Ae=0,0 cm ² sm=0 mm wk=0,00 mm	CA=QPR ϵ sm=0,00000	Ae=0,0 cm ² sm=0 mm wk=0,00 mm				
0,415	0	13.921	-0,415	0	13.921	5,613	0	13.921
Sez. calcolo n.25 - Dis: 1.15(Monte)								
AA= PCA	CA=FQR ϵ sm=0,00000	Ae=0,0 cm ² sm=0 mm wk=0,00 mm	CA=QPR ϵ sm=0,00000	Ae=0,0 cm ² sm=0 mm wk=0,00 mm				
0,227	0	7.600	-0,227	0	7.600	3,064	0	7.600
Sez. calcolo n.26 - Dis: 1.35(Monte)								
AA= PCA	CA=FQR ϵ sm=0,00000	Ae=0,0 cm ² sm=0 mm wk=0,00 mm	CA=QPR ϵ sm=0,00000	Ae=0,0 cm ² sm=0 mm wk=0,00 mm				
0,083	0	2.790	-0,083	0	2.790	1,125	0	2.790
Sez. calcolo n.27 - Dis: 1.54(Monte)								
AA= PCA	CA=FQR ϵ sm=0,00000	Ae=0,0 cm ² sm=0 mm wk=0,00 mm	CA=QPR ϵ sm=0,00000	Ae=0,0 cm ² sm=0 mm wk=0,00 mm				
0,004	0	122	-0,004	0	122	0,049	0	122

LEGENDA Verifiche a pressoflessione retta allo SLE

AA	Identificativo dell'aggressivita' dell'ambiente: [PCA] = Poco aggressivo - [MDA] = Moderatamente aggressivo - [MLA] = Molto aggressivo.
CA	Identificativo della Combinazione di Azione: [QPR] = Quasi Permanente - [FQR] = Frequente - [RAR] = Rara.
ϵ sm	Deformazione media nel calcestruzzo.
Ae	Area efficace del calcestruzzo teso.
sm	Distanza media tra le fessure.
wk	Apertura massima delle fessure.
σ_{ct} , N, My	Valori, rispettivamente della tensione massima di trazione nel calcestruzzo e delle componenti della sollecitazione agenti che l'hanno generata, riferite all'asse baricentrico della sezione trasversale(N) ed al sistema baricentrico x, y della sezione trasversale.
σ_{cc} , N, My	Valori, rispettivamente della tensione massima di compressione nel calcestruzzo e delle componenti della sollecitazione agenti che l'hanno generata, riferite all'asse baricentrico della sezione trasversale(N) ed al sistema baricentrico x, y della sezione trasversale.
σ_{at} , N, My	Valori, rispettivamente della tensione massima di trazione nell'acciaio e delle componenti della sollecitazione agenti che l'hanno generata, riferite all'asse baricentrico della sezione trasversale(N) ed al sistema baricentrico x, y della sezione trasversale.

VERIFICHE A TAGLIO PER PRESSOFLESSIONE RETTA ALLO SLU

VERIFICHE A TAGLIO PER PRESSOFLESSIONE RETTA ALLO SLU													
CS+	CS-	Tx+	Tx-	Vcc+	Vcc-	Vwd+	Vwd-	Nd+	Nd-	Vwp+	Vwp-	ctg θ +	ctg θ
		[N]	[N]	[N]	[N]	[N]	[N]	[N]	[N]	[N]	[N]		
Sezione 1													
Paramento													
Sez. calcolo n.1 - Dis: 0.00													
-	3,44	0	-45.270	150.927	155.765	0	0	0	32.258	0	0	0,00	0,00
Sez. calcolo n.2 - Dis: 0.41													
-	3,97	0	-39.075	150.927	155.012	0	0	0	27.234	0	0	0,00	0,00
Sez. calcolo n.3 - Dis: 0.81													
-	4,97	0	-31.069	150.927	154.302	0	0	0	22.505	0	0	0,00	0,00

VERIFICHE A TAGLIO PER PRESSOFLESSIONE RETTA ALLO SLU															
CS+	CS-	Tx+	Tx-	Vcc+	Vcc-	Vwd+	Vwd-	Nd+	Nd-	Vwp+	Vwp-	ctgθ+	ctgθ	AfTe+	AfTe-
		[N]	[N]	[N]	[N]	[N]	[N]	[N]	[N]	[N]	[N]			[cm²/cm]	[cm²/cm]
Sez. calcolo n.4 - Dis: 1.22															
-	6,12	0	-23.772	142.825	145.536	0	0	0	18.069	0	0	0,00	0,00	0,0000	0,0000
Sez. calcolo n.5 - Dis: 1.62															
-	8,45	0	-17.153	142.825	144.915	0	0	0	13.929	0	0	0,00	0,00	0,0000	0,0000
Sez. calcolo n.6 - Dis: 2.03															
-	12,91	0	-11.182	142.825	144.338	0	0	0	10.082	0	0	0,00	0,00	0,0000	0,0000
Sez. calcolo n.7 - Dis: 2.43															
-	24,65	0	-5.834	142.825	143.805	0	0	0	6.530	0	0	0,00	0,00	0,0000	0,0000
Sez. calcolo n.8 - Dis: 2.84															
-	NS	0	-1.092	142.825	143.316	0	0	0	3.271	0	0	0,00	0,00	0,0000	0,0000
Sez. calcolo n.9 - Dis: 3.24															
-	-	0	0	142.825	142.825	0	0	0	0	0	0	0,00	0,00	0,0000	0,0000
Fondazione muro															
Sez. calcolo n.10 - Dis: 0.00(Valle)															
-	31,48	0	-5.827	183.442	183.442	0	0	0	0	0	0	0,00	0,00	0,0000	0,0000
Sez. calcolo n.11 - Dis: 0.02(Valle)															
-	20,10	0	-9.126	183.442	183.442	0	0	0	0	0	0	0,00	0,00	0,0000	0,0000
Sez. calcolo n.12 - Dis: 0.03(Valle)															
-	16,05	0	-11.429	183.442	183.442	0	0	0	0	0	0	0,00	0,00	0,0000	0,0000
Sez. calcolo n.13 - Dis: 0.05(Valle)															
-	12,53	0	-14.643	183.442	183.442	0	0	0	0	0	0	0,00	0,00	0,0000	0,0000
Sez. calcolo n.14 - Dis: 0.07(Valle)															
-	10,29	0	-17.822	183.442	183.442	0	0	0	0	0	0	0,00	0,00	0,0000	0,0000
Sez. calcolo n.15 - Dis: 0.09(Valle)															
-	8,75	0	-20.969	183.442	183.442	0	0	0	0	0	0	0,00	0,00	0,0000	0,0000
Sez. calcolo n.16 - Dis: 0.10(Valle)															
-	7,61	0	-24.100	183.442	183.442	0	0	0	0	0	0	0,00	0,00	0,0000	0,0000
Sez. calcolo n.17 - Dis: 0.12(Valle)															
-	7,02	0	-26.146	183.442	183.442	0	0	0	0	0	0	0,00	0,00	0,0000	0,0000
Sez. calcolo n.18 - Dis: 0.14(Valle)															
-	6,28	0	-29.193	183.442	183.442	0	0	0	0	0	0	0,00	0,00	0,0000	0,0000
Sez. calcolo n.19 - Dis: 0.00(Monte)															
3,44	-	53.339	0	183.442	183.442	0	0	0	0	0	0	0,00	0,00	0,0000	0,0000
Sez. calcolo n.20 - Dis: 0.19(Monte)															
2,74	-	66.917	0	183.442	183.442	0	0	0	0	0	0	0,00	0,00	0,0000	0,0000
Sez. calcolo n.21 - Dis: 0.38(Monte)															
2,40	-	76.281	0	183.442	183.442	0	0	0	0	0	0	0,00	0,00	0,0000	0,0000
Sez. calcolo n.22 - Dis: 0.58(Monte)															
2,25	-	81.451	0	183.442	183.442	0	0	0	0	0	0	0,00	0,00	0,0000	0,0000
Sez. calcolo n.23 - Dis: 0.77(Monte)															
2,23	-	82.412	0	183.442	183.442	0	0	0	0	0	0	0,00	0,00	0,0000	0,0000
Sez. calcolo n.24 - Dis: 0.96(Monte)															
5,01	-	36.630	0	183.442	183.442	0	0	0	0	0	0	0,00	0,00	0,0000	0,0000
Sez. calcolo n.25 - Dis: 1.15(Monte)															
6,28	-	29.189	0	183.442	183.442	0	0	0	0	0	0	0,00	0,00	0,0000	0,0000
Sez. calcolo n.26 - Dis: 1.35(Monte)															
10,40	-	17.641	0	183.442	183.442	0	0	0	0	0	0	0,00	0,00	0,0000	0,0000
Sez. calcolo n.27 - Dis: 1.54(Monte)															
38,81	-	4.727	0	183.442	183.442	0	0	0	0	0	0	0,00	0,00	0,0000	0,0000

LEGENDA Verifiche a taglio per pressoflessione retta allo SLU

CS+, CS-

Coefficienti di sicurezza relativi alle sollecitazioni "Tx+" e "Tx-" : [NS] = Non Significativo - Per valori di CS maggiori o uguali a 100.

Tx+, Tx-

Valori massimo e minimo della sollecitazione di taglio.

Vcc+, Vcc-

Valori massimo e minimo del taglio ultimo, per conglomerato compresso.

Vwd+, Vwd-

Contributi dell'acciaio al taglio ultimo dovuto alle staffe, relativi alle sollecitazioni "Tx+" e "Tx-".

Nd+, Nd-

Sforzo normale.

Vwp+, Vwp-

Contributo acciaio al Taglio ultimo dovuto ai ferri piegati, relativi alle sollecitazioni "Tx+" e "Tx-".

ctgθ+, ctgθ

ctg(θ) utilizzato nel calcolo di Vcc, Vwd e Vwp.

AfTe+, AfTe-

Aree di ferro per il taglio in un centimetro, relativi alle sollecitazioni "Tx+" e "Tx-".

INDICE

INFORMAZIONI GENERALI	pag.	39
MATERIALI	pag.	39
TERRENI	pag.	39
CONDIZIONI DI CARICO	pag.	39
SLE: COMBINAZIONE DI AZIONI QUASI PERMANENTE - COEFFICIENTI	pag.	39
SLE: COMBINAZIONE DI AZIONI FREQUENTE - COEFFICIENTI	pag.	39
SLE: COMBINAZIONE DI AZIONI RARA - COEFFICIENTI	pag.	39
SLU: COMBINAZIONI DI CARICO IN ASSENZA DI SISMA - COEFFICIENTI	pag.	39
SLU: COMBINAZIONI DI CARICO IN PRESENZA DI SISMA - COEFFICIENTI	pag.	39
DATI GENERALI ANALISI SISMICA	pag.	39
GEOMETRIA	pag.	39
CARATTERISTICHE MECCANICHE DEGLI STRATI	pag.	39
CARICHI DISTRIBUITI SUL TERRAPIENO	pag.	39
SPINTE SUL PARAMENTO ALLO SLU	pag.	39
SPINTE SUL CUNEO ALLO SLU	pag.	39
SPINTE SUL PARAMENTO ALLO SLE	pag.	39
SPINTE SUL CUNEO ALLO SLE	pag.	39
SOLLECITAZIONI SUL PARAMENTO	pag.	39
SOLLECITAZIONI SULLA FONDAZIONE	pag.	39
TENSIONI SUL TERRENO	pag.	39
VERIFICHE DI STABILITA'	pag.	39
VERIFICHE A SCORRIMENTO	pag.	39

VERIFICHE A RIBALTAMENTO	pag.	39
VERIFICHE A CARICO LIMITE	pag.	39
VERIFICHE A PRESSOFLESSIONE RETTA ALLO SLU	pag.	39
VERIFICHE A PRESSOFLESSIONE RETTA ALLO SLE	pag.	39
VERIFICHE A TAGLIO PER PRESSOFLESSIONE RETTA ALLO SLU	pag.	39